

PROPOSAL PENELITIAN MANDIRI



JUDUL :

**PENGEMBANGAN SISTEM DETEKSI HELM PADA PENGENDARA SEPEDA MOTOR
MENGUNAKAN METODA *HOUGH CIRCLE TRANSFORM* (HCT)**

PENGUSUL :

ASEP NANA HERMANA 004221166003

**PROGRAM STUDI INFORMATIKA
FAKULTAS TEKNOLOGI INDUSTRI
INSTITUT TEKNOLOGI NASIONAL
2022**

Halaman Pengesahan

Judul Penelitian : PENGEMBANGAN SISTEM DETEKSI HELM PADA
PENGENDARA SEPEDA MOTOR MENGGUNAKAN
METODA *HOUGH CIRCLE TRANSFORM* (HCT)

Kode/ Nama Rumpun Ilmu : 140312 / Teknologi Informasi dan Komunikasi -
Pengolahan Sinyal Multimedia -- Visi Komputer

Ketua Peneliti

a. Nama Lengkap : Asep Nana Hermana
b. NIDN : 0422116603
c. Jabatan Fungsional : Lektor / IIC
d. Program Studi : Informatika
e. Nomor HP : 08122125874
f. Alamat surel (e-mail) : asepnana@gmail.com

Anggota-1

a. Nama lengkap : Uung Ungkawa
b. NIDN : 0411105902
c. Program Studi : Informatika

Anggota-2

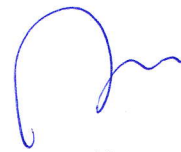
a. Nama lengkap :
b. NIDN :
c. Program Studi :

Mengetahui,
Ketua Prodi Informatika



(Lisa Kristiana, Dr.sc., MT)
NIDN : 0425107503

Bandung, 14 September 2022
Ketua tim penyusun



(Asep Nana Hermana., MT)
NIDN : 0422116603

Disahkan oleh :

Dekan Fakultas Teknologi Industri Itenas



(Jono Suhartono, S.T., M.T., Ph.D.)
NIDN : 0406017801

Ketua LP2M Itenas



Iwan Juwana, S.T., M.EM., Ph.D.
NIDN : 0403017701

DAFTAR ISI

Halaman Pengesahan.....	(i)
Daftar Isi	(i)
Daftar Tabel	(ii)
Bab I PENDAHULUAN	(1)
1.1. Latar Belakang	(1)
1.2. Rumusan Masalah dan Ruang Lingkup	(2)
1.3. Tujuan	(2)
1.4. Sistematika Penulisan	(3)
Bab II LANDASAN TEORI.....	(4)
2.1. Pengolahan Citra Digital	(4)
2.2. Frame Rate	(4)
2.3. Ruang Warna RGB.....	(5)
2.4. Gray Scalling	(5)
2.5. Haar Cascade	(6)
2.5.1. Kaar-like Feature	(6)
2.5.2. Integral Image	(7)
2.5.3. Adaptive Boosting (AdaBoost).....	(8)
2.5.4. Cascade Classifier.....	(9)
2.6. Cropping	(9)
2.7. Canny Edge Detection	(10)
2.8. Region of Interest (ROI).....	(12)
2.9. Hough Circle Transform (HCT)	(13)
Bab III PERANCANGAN	(15)
3.1. Perancangan umum (<i>Quick Design</i>)	(15)
3.1.1 Deskripsi Kebutuhan Pembangunan <i>Hardware</i>	(15)
3.1.2 Deskripsi Kebutuhan Pembangunan <i>Software</i>	(15)
3.2 Perancangan umum (<i>Quick Design</i>)	(15)
3.3 Membangun <i>Prototype (Building Prototype)</i>	(16)
3.3.1. Pemodelan Sistem	(16)
3.3.2. Blok Diagram	(17)
3.3.3. Flowchart	(18)
3.3.3.1. Frame Divider	(20)
3.3.3.2. Grayscale	(22)
3.3.3.3 Haar Cascade	(24)
3.3.3.4 Canny Edge Detection.....	(43)
3.3.3.3. Region of Interest.	(50)
3.3.3.4. Hough Circle Transform	(51)
3.3.4. Desain Layout	(55)

BAB IV IMPLEMENTASI DAN PENGUJIAN	(56)
4.1. Implementasi	(56)
4.2. Penyempurnaan Prototype (Refining Prototype)	(56)
4.2.1. Perangkat yang digunakan	(57)
4.2.2. Pembuatan Data Latih Haar Cascade	(57)
4.2.3. Pengumpulan Dataset	(57)
4.2.4. Proses Pelatihan	(61)
4.3. Pengujian Sistem	(66)
4.3.1. Implementasi	(67)
4.3.2. Pengujian <i>Alpha Frame Divider</i>	(73)
4.3.3. Pengujian <i>Alpha Haar Cascade</i>	(75)
4.3.4. Pengujian Alpha Cropping	(77)
4.3.5. Pengujian <i>Alpha Canny Edge Detection</i>	(78)
4.3.6. Pengujian <i>Alpha Hough Circle Transform</i>	(80)
4.4. Pengujian Akurasi Sistem	(82)
4.4.1. Skenario Pengujian 1	(82)
4.4.2. Skenario Pengujian 2	(84)
4.4.3. Skenario Pengujian 3	(85)
BAB V PENUTUP	(87)
5.1. Kesimpulan	(87)
DAFTAR PUSTAKA	(88)

DAFTAR TABEL

Tabel 1. Informasi Nilai Objek Data Latih	(26)
Tabel 2. Perhitungan Pixel Integral	(30)
Tabel 3. Informasi Nilai Objek Dataset Pengendara Sepeda Motor.....	(63)
Tabel 4. Daftar Pengujian Sistem	(66)
Tabel 5. Pengujian Alpha Frame Divider	(73)
Tabel 6. Pengujian Alpha Haar Cascade	(75)
Tabel 7. Pengujian Alpha Cropping	(77)
Tabel 8. Pengujian Alpha Canny Edge Detection	(78)
Tabel 9. Pengujian Alpha Hough Circle Transform	(80)
Tabel 10. Pengujian Akurasi Pengaruh Waktu	(82)
Tabel 11. Pengujian Akurasi Pengaruh Sudut	(84)
Tabel 12. Pengujian Akurasi Bukan Helm SNI dan Kepala	(86)

— — —

BAB I

PENDAHULUAN

1.1 Latar Belakang

HCT (Hough Circle Transform) adalah teknik yang paling umum digunakan untuk mendeteksi objek yang berbentuk kurva seperti garis, lingkaran, elips dan parabola. (Auliannisa, Suratman S.T., & Rizal ST., 2017). HCT merupakan metode yang digunakan dalam pengolahan citra digital dalam tahap ekstraksi fitur dan dapat digunakan untuk pendeteksian bentuk lingkaran pada objek citra.

Identifikasi adalah penentuan dan pemastian identitas orang yang hidup maupun orang mati berdasarkan ciri khas yang terdapat pada orang tersebut. (Septadina, 2015). Helm sebagai salah satu *safety gear* bagi pengendara sepeda motor memang masih sering diabaikan. Akibat banyak pengendara yang abai, angka kecelakaan pengendara motor tak gunakan helm juga cukup tinggi. (Mufrod, 2018). Setiap orang yang mengemudikan Sepeda Motor dan Penumpang Sepeda Motor wajib mengenakan helm yang memenuhi standar nasional Indonesia. (Undang-Undang Lalu Lintas Angkutan Jalan Tahun 2009). Kewajiban pengguna jalan dalam berlalu lintas yaitu menaati peraturan yang berlaku, salah satunya yaitu pengendara sepeda motor diwajibkan menggunakan helm. Pengguna sepeda motor yang melanggar peraturan tersebut akan mendapatkan peringatan atau sanksi, tetapi masih banyak pengguna sepeda motor yang didapati tidak menggunakan helm di jalan dikarenakan tidak terpantau oleh petugas atau hal lainnya.

Sebuah penelitian identifikasi penggunaan helm pada pengendara sepeda motor dilakukan dengan memanfaatkan teknologi pengolahan citra digital. Bagian utama pada penelitian ini terletak pada seberapa akurat sistem dapat melakukan pendeteksian objek pengendara sepeda motor yang menggunakan helm dengan

menggunakan algoritma HCT (*Hough Circle Transform*) untuk melakukan deteksi helm sehingga dapat membedakan pengendara sepeda motor yang menggunakan helm dan tidak menggunakan helm. Keluaran yang dihasilkan yaitu objek citra bukan helm dan peringatan. Penelitian ini dapat membantu mengidentifikasi pelanggaran yang dilakukan pengguna sepeda motor di jalan.

1.2 Rumusan masalah dan ruang lingkup

Dari berbagai pelanggaran, salah satu yang banyak ditemukan dalam razia lalu lintas, banyak pengendara tidak memakai helm. (Christina, 2017). Salah satu solusi alternatif dalam meminimalisir pelanggaran jalan adalah dengan menerapkan deteksi pelanggaran secara visual. (Setiawan, Setyawan, Alam, & Sulistiyanti, 2018). Di jalan-jalan kota Bandung, masih terdapat banyak pengendara sepeda motor yang tidak menggunakan helm. Oleh karena itu, diperlukan suatu sistem untuk memberikan peringatan terhadap pengendara yang melanggar aturan tersebut. Dari uraian diatas maka penelitian ini memiliki rumusan masalah sebagai berikut :

- a. Bagaimana sistem dapat mendeteksi pengendara sepeda motor menggunakan algoritma *Haar Cascade Classifier*.
- b. Bagaimana sistem dapat mengidentifikasi penggunaan helm pada pengendara sepeda motor menggunakan algoritma HCT (*Hough Circle Transform*) yang kemudian akan menyeleksi pengendara sepeda motor yang tidak menggunakan helm.

1.3 Tujuan

Dalam penelitian yang dilakukan, dibatasi ruang lingkup yang akan dibahas yaitu sebagai berikut :

- a. Data set video yang digunakan hanya diambil beberapa contoh dari jalan-jalan di kota Bandung.
- b. Proses pengambilan data set video dilakukan secara manual dengan pencahayaan yang stabil.
- d. Proses pengambilan data set video dilakukan dengan jarak, arah dan sudut yang telah ditentukan.
- e. Proses pengambilan data set video ada kondisi tidak hujan serta pada pagi, siang atau sore hari dan tidak malam hari.
- f. Proses pengambilan data set video objek kendaraan dan pengendara sepeda motor tidak berhimpit dengan kendaraan lain.
- g. Background diasumsikan dalam keadaan statis.
- h. Penelitian ini tidak melihat warna objek hanya melihat bentuk objek.
- i. Metode yang digunakan untuk mendeteksi pengendara sepeda motor dengan menggunakan algoritma *Haar Cascade Classifier*.

- j. Metode yang digunakan untuk mendeteksi penggunaan helm padapengendara sepeda motor menggunakan algoritma *Hough Circle Transform*.

1.4 Sistematika Penulisan

Sistem penulisan yang digunakan dalam pembuatan laporan ini adalah sebagai berikut :

BAB I PENDAHULUAN

Bab ini menjelaskan latar belakang, rumusan masalah, ruang lingkup, tujuan, metode penelitian, tinjauan pustaka, kontribusi penelitian dan sistematikapenulisan.

BAB II LANDASAN TEORI

Bab ini menjelaskan mengenai teori – teori yang digunakan dalam pembuatan rancang bangun sistem identifikasi terhadap kendaraan yang berhenti melewati garis marka di persimpangan jalan.

BAB III PERANCANGAN

Pada bagian ini dipaparkan metode penelitian, dalam hal ini merupakan perancangan uraian dari penelitian yang diusulkan. Pada bagian ini terdapat penjelasan mengenai proses perancangan terhadap pembangunan sistem yang dibuat.

BAB IV IMPLEMENTASI DAN PENGUJIAN

Pada bagian sub-bab ini disajikan hasil rancangan yang diajukan. Pada bagian ini disajikan seperti potongan program yang di dekatkan dengan *flowchart*, model sistem dan sebagainya. Pada sub-bab pengujian disajikan proses pencapaian hasil penelitian berupa pengujian dari hasil implementasi yang telah dilakukan.

BAB V PENUTUP

Pada sub-bab ini disajikan kesimpulan dan saran dari penelitian yang telah dilakukan dan diuji.

BAB II LANDASAN TEORI

2.1. Pengolahan Citra Digital

Pengolahan citra adalah pemrosesan citra, khususnya dengan menggunakan komputer, menjadi citra yang kualitasnya lebih baik. Pengolahan Citra bertujuan memperbaiki kualitas citra agar mudah diinterpretasi oleh manusia atau mesin. (Herlambang, Nurhayati, & Martono, 2016). Pengolahan citra digital merupakan suatu proses untuk representasi dan manipulasi citra yang diproses dengan menggunakan perangkat digital atau komputer, baik citra diam maupun citra bergerak. Masukan dari pengolahan citra digital yaitu citra dan keluaran dari dapat berupa citra atau sekumpulan karakteristik atau parameter yang berhubungan dengan citra.

Definisi yang lebih luas, pengolahan citra digital juga mencakup semua data dua dimensi. Citra digital merupakan barisan bilangan nyata maupun kompleks yang diwakilkan oleh bit-bit tertentu. Pengolahan citra memiliki beberapa fungsi, diantaranya :

1. Sebagai proses memperbaiki kualitas citra agar mudah diinterpretasi oleh manusia atau komputer.
2. Sebagai proses mentransformasikan citra menjadi citra lain. Salah satu contohnya yaitu pemampatan citra (*image compression*) Sebagai proses awal (*preprocessing*) dari *computer vision*.

2.2. Frame Rate

Frame Rate adalah frekuensi dimana gambar (*frame*) berturut-turut ditampilkan. Istilah ini berlaku sama untuk film, video kamera, komputer grafis, dan sistem motion capture (Andrew, Buliali, & Wijaya, 2017). *Frame rate* merupakan ukuran kecepatan *frame* atau gambar yang ditunjukkan per detik, satuan dari *frame rate* yaitu *frame per second (fps)*.

2.3. Ruang Warna RGB

Ruang warna RGB adalah warna utama yang dimiliki citra dengan tiga warna primer yaitu red, green, dan blue. Rentang nilai yang dimiliki citra RGB dalam setiap piksel citra adalah 0 sampai dengan 255. (Jandrisno, 2017). Jika masing-masing warna dari RGB (*Red Green Blue*) memiliki range 0 - 255, maka totalnya adalah $255^3 = 16.581.375$ (16 K) variasi warna berbeda pada gambar. Gambar yang memiliki jumlah bit yang diperlukan untuk setiap pixel disebut juga gambar-bit warna. Merah (*Red*), Hijau (*Green*) dan Biru (*Blue*) merupakan warna dasar yang dapat diterima

oleh mata manusia. Setiap piksel pada citra warna mewakili warna yang merupakan kombinasi dari ketiga warna dasar RGB. Setiap titik pada citra warna membutuhkan data sebesar 3 byte. RGB didasarkan pada teoribahwa mata manusia peka terhadap panjang gelombang 630nm (merah), 530 nm (hijau), dan 450 nm (biru).

2.4. Grayscale

Grayscale merupakan salah satu proses *pre-processing* dalam pengolahan citra digital. Proses *grayscale* merubah citra yang semula memiliki tiga ruang warna menjadi satu ruang warna keabuan. Proses ini dilakukan untuk menyederhanakan model citra sehingga setiap proses perhitungan yang dilakukan dalam pengolahan citra hanya perlu dilakukan satu kali pada tiap *pixel*-nya (terhadap nilai keabuan), tidak perlu melakukan tiga kali perhitungan terhadap tiga ruang warna dalam satu *pixel*.

Proses perhitungan citra warna RGB menjadi *grayscale* dilakukan dengan mengalikan tiap nilai warna dengan konstanta *grayscale* dan menjumlahkan hasil kali tersebut.

$$Y = 0.299 \cdot R + 0.587 \cdot G + 0.114 \cdot B \dots\dots\dots(1)$$

Keterangan:

- Y = nilai hasil *grayscale*
- R = nilai warna merah (*red*) *pixel* G =
- nilai warna hijau (*green*) *pixel* B = nilai
- warna biru (*blue*) *pixel*

2.5. Haar Cascade

Rangkaian pengklasifikasi adalah pohon keputusan yang terdegenerasi di mana pada setiap tahap, pengklasifikasi dilatih untuk mendeteksi hampir semua objek yang diminati sambil menolak sebagian kecil dari pola non-objek. (Pathasu & Klubsuwan, 2016). Ide dari Haar-like feature adalah sebuah classifier yang di- training dengan sejumlah sampel citra dari suatu obyek. Classifier di- training menggunakan algoritma Adaboost (Lazaro, Buliali, & Amaliah, 2016). *Haar Cascade Classifier* merupakan metode yang lazim digunakan dalam pendeteksian obyek. *Haar Cascade*

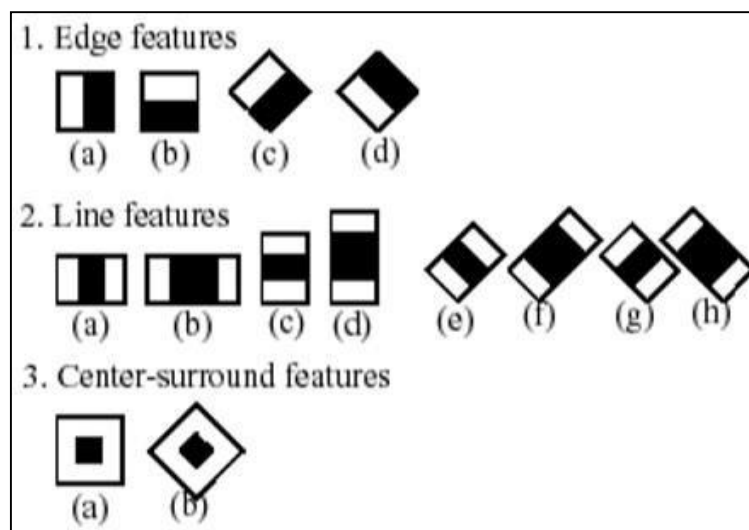
Classifier merupakan *rectangular features* (fungsi persegi), yang memberikan indikasi secara spesifik pada sebuah gambar. Pada prinsipnya yaitu mengenali objek berdasarkan nilai sederhana dari fitur tetapi bukan merupakan nilai piksel dari image obyek tersebut.

Haar Cascade Classifier merupakan gabungan dari empat algoritma sehingga memiliki tingkat akurasi yang baik. Adapun empat algoritma tersebut yaitu:

1. Pemindaian citra uji menggunakan fitur segi empat hitam dan putih bernama *Haar-Like feature*
2. *Integral image* (citra integral) untuk pendeteksian cepat
3. Metode *machine learning Adaptive Boosting (AdaBoost)*
4. *Cascade classifier* untuk deteksi objek secara bertingkat

2.5.1. Haar-Like feature

Fitur yang digunakan dalam *Haar Cascade Classifier* yaitu gelombang tunggal segi empat yang terdiri dari *pixel* hitam dan putih. Adapun jenis-jenis fitur *Haar* ditunjukkan pada Gambar 3.



Gambar 3. Jenis-Jenis Fitur *Haar*

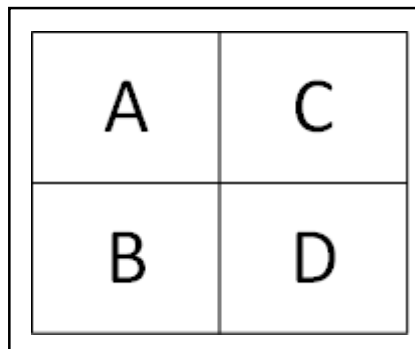
Sumber: (Lazaro, Buliali, & Amaliah, 2016)

Pemindaian dilakukan dengan cara meletakkan fitur *Haar* dimulai dari *pixel* koordinat $(x,y) = (0,0)$ atau *pixel* ujung kiri atas. Setelah dilakukan perhitungan pada proses-proses berikutnya, maka fitur *Haar* berpindah ke kanan yaitu koordinat $(1,0)$ dan kembali dilakukan proses perhitungan. Jika telah mencapai koordinat x maksimal, maka x kembali ke 0 dan fitur *Haar* berpindah ke nilai y berikutnya, yaitu koordinat $(0,1)$. Proses terus dilakukan hingga mencapai koordinat terakhir yaitu

pixel bagian ujung kanan bawah.

2.5.2. Integral Image

Integral image digunakan untuk menghilangkan perhitungan yang besar sehingga memungkinkan semua daerah dihitung dengan kecepatan konstan. Perhitungan integral image diperoleh melalui proses seperti pada Gambar 4 dan Rumus 2.



Gambar 4. Contoh Posisi Pixel

Rumus untuk menghitung integral image pada contoh posisi pixel Gambar 3 yaitu:

$$D = (D + A) - (B + C) \dots\dots\dots(2)$$

Perhitungan integral image ini hanya mengganti pixel pada posisi D, sedangkan pixel pada posisi A, B, dan C nilainya tetap.

2.5.3. Adaptive Boosting (AdaBoost)

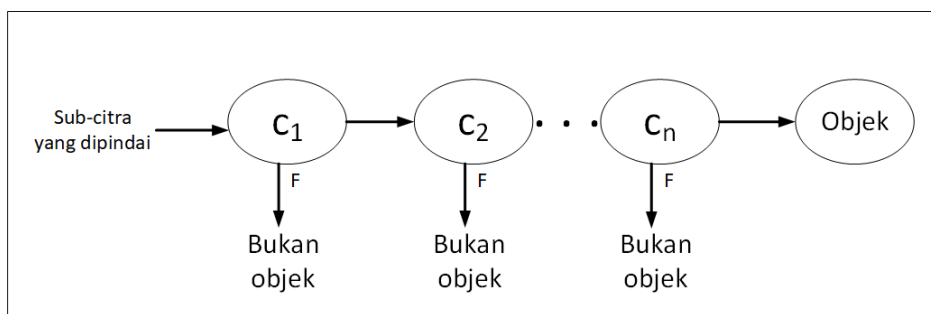
Dalam bahasa Inggris, *boosting* memiliki arti “menaikkan”. Sesuai namanya, algoritma *boosting* menaikkan nilai-nilai *classifier* lemah (berpotensi sebagai objek) menjadi satu *classifier* kuat. Perhitungan untuk melakukan *boosting* ditunjukkan pada persamaan (2.2).

$$h(x, f, p, \theta) = \begin{cases} 1 & \text{if } pf(x) > p(\theta) \\ 0 & \text{if } pf(x) \leq p(\theta) \end{cases} \dots\dots\dots(3)$$

Dimana x adalah nilai *pixel* yang telah dirubah menjadi pixel integral, f adalah fitur terpilih, dan θ adalah ambang batas yang akan memutuskan apakah x harus diklasifikasikan sebagai positif (objek) atau negatif (bukan objek).

2.5.4. Cascade Classifier

Cascade Classifier, klasifikasi bertingkat, atau juga biasa disebut penyaringan bertingkat merupakan algoritma terakhir dalam deteksi objek menggunakan metode *Haar Cascade*. Algoritma ini berfungsi untuk mendapatkan akurasi terbaik dalam deteksi objek. Klasifikasi pada algoritma ini terdiri dari tingkatan-tingkatan berjumlah sesuai *stage* yang ditentukan pada saat pembuatan *dataset*. Semakin banyak jumlah *stage*, maka akan semakin sedikit sub-citra yang tersaring sebagai objek dengan nilai *classifier* yang paling kuat.



Gambar 5. *Cascade Classifier*

Pada tahap ini, dilakukan perhitungan pada setiap sub-citra yang dipindai menggunakan *Haar-Like feature* sebanyak *n stage*. Perhitungan yang dilakukan pada setiap *classifier* yaitu menghitung selisih antara rata-rata jumlah *pixel* area gelap dengan rata-rata jumlah *pixel* area terang pada pemindaian menggunakan fitur *Haar* yang telah melalui *Adaptive Boosting*. Jika nilai selisih tersebut lebih besar dari nilai ambang, maka sub-citra yang dipindai tersebut dikatakan sebagai objek.

2.6. Cropping

Cropping citra atau pemotongan citra merupakan cara pengambilan area tertentu yang akan diamati (*area of interest*) dalam citra, yang bertujuan untuk mempermudah penganalisaan citra dan memperkecil ukuran penyimpanan citra. Dalam proses pengolahan citra, biasanya tidak secara keseluruhan *Scene* dari citra yang kita gunakan. Untuk mendapatkan daerah yang kita inginkan kita dapat memotong citra tersebut. Cropping citra dapat digunakan untuk data spasial

maupun data spektral. Pemotongan citra dapat dilakukan berdasarkan titikkoordinat, jumlah pixel atau hasil zooming daerah tertentu.

2.7. Canny Edge Detection

Deteksi tepi *Canny*, dikembangkan oleh John F. Canny pada tahun 1986, biasa digunakan untuk mendeteksi tepi pada suatu citra digital. (Mustafid & 'Uyun, 2017). Deteksi tepi *Canny* diimplementasikan sebagai tahap segmentasi citra yang dapat memisahkan piksel objek dengan latar (bukan objek) sehingga dapat meningkatkan tingkat akurasi dalam beberapa deteksi objek. Langkah-langkah pada *Canny Edge Detection* adalah sebagai berikut :

1. Penghaluan Citra (*Noise Reduction*)

Pada tahap penghaluan citra digunakan filter gaussian blur untuk menghilangkan noise. Dalam hal pendeteksian tepi akan sangat sensitif terhadap adanya noise pada citra. Salah satu cara untuk menghilangkan noise dengan menerapkan *Gaussian Blur* untuk menghaluskan citra tersebut. Hal tersebut dilakukan dengan teknik konvolusi citra yang dilakukan dengan Kernel Gaussian bisa berukuran 3x3, 5x5, 7x7 an seterusnya. Ukuran kernel tergantung pada efek pengaburan yang dibutuhkan. Berikut ini merupakan salah satu contoh dari kernel *Gaussian* ditunjukkan pada Gambar 6 dengan ukuran 5x5 piksel.

$$\frac{1}{256} \begin{bmatrix} 1 & 4 & 6 & 4 & 1 \\ 4 & 16 & 24 & 16 & 4 \\ 6 & 24 & 36 & 24 & 6 \\ 4 & 16 & 24 & 16 & 4 \\ 1 & 4 & 6 & 4 & 1 \end{bmatrix}$$

Gambar 6. Kernel Gaussian 5x5 Sumber:
(Mustafid & 'Uyun, 2017)

2. Perhitungan *Gradient* (Magnitude & Orientation)

Pada langkah ini dapat menghasilkan dua buah informasi dari gambar, yaitu kekuatan garis tepi (magnitude/edge strength) dan arah garis tepi (orientation/edge direction). Langkah perhitungan *Gradient* dilakukan untuk mendeteksi intensitas tepi menggunakan operator deteksi tepi. Cara paling mudah untuk dapat mendeteksi tepi pada citra adalah menerapkan filter yang menyoroti perubahan intensitas tepi arah horizontal (x) dan vertikal (y). Pada saat gambar dilakukan penghalusan, piksel turunannya menjadi S_x dan S_y . Perhitungan ini dapat diimplementasikan dengan menggabungkan nilai piksel dengan kernel *Sobel* untuk K_x horizontal dan K_y vertikal seperti pada Gambar 7.

$$K_x = \begin{pmatrix} -1 & 0 & 1 \\ -2 & 0 & 2 \\ -1 & 0 & 1 \end{pmatrix}, K_y = \begin{pmatrix} 1 & 2 & 1 \\ 0 & 0 & 0 \\ -1 & -2 & -1 \end{pmatrix}$$

Gambar 7. Kernel Sobel Sumber:

(Sahir, 2019)

Proses selanjutnya, dilakukan perhitungan nilai pixel S baru untuk mengganti nilai pixel tengah pada area yang dilakukan konvolusi yang terlihat pada Rumus 3.

Keterangan:

$$|S| = \sqrt{S_x^2 + S_y^2} \dots \dots \dots (4)$$

S = Nilai pixel baru

S_x = Hasil konvolusi $K_x S_y$ =

Hasil konvolusi K_y

3. *Non-Maximum Suppression*

Pada proses ini akan menghasilkan garis tipis yang lebih ramping. Disinilah kita akan menggunakan nilai dari orientation yang akan kita gunakan untuk mengetahui arah piksel.

4. *Double Threshold*

Langkah Double Threshold mengidentifikasi 3 jenis piksel yaitu kuat, lemah, dan tidak relevan. *Strong pixel* (piksel yang kuat) merupakan piksel yang memiliki intensitas tinggi dan sangat berkontribusi ke proses tepi akhir. *Weak pixel* (piksel yang lemah) merupakan piksel yang memiliki nilai intensitas yang tidak cukup untuk dianggap sebagai tidak relevan untuk deteksi tepi. Piksel yang tidak masuk ke dalam keduanya maka tidak termasuk dianggap tidak relevan untuk tepi. *Double Threshold* digunakan untuk mengidentifikasi *strong pixel* (intensitas lebih besar dari nilai *high threshold*). *Low Threshold* digunakan untuk mengidentifikasi piksel yang tidak relevan (intensitas lebih kecil dari nilai *low threshold*)

5. *Edge Tracking by Hysteresis.*

Langkah terakhir dari algoritma *Canny* yaitu melakukan *Hysteresis Thresholds*. Jika nilai piksel dari hasil proses sebelumnya memiliki nilai lebih dari *High Threshold* (Batas atas), maka piksel akan diterima sebagai tepi dari gambar. Jika nilai piksel dari hasil proses sebelumnya memiliki nilai yang lebih rendah dari *Lower Threshold* (Batas bawah), maka piksel tadi ditolak atau tidak dianggap sebagai tepi gambar. Jika nilai piksel dari proses sebelumnya memiliki nilai antara *High Threshold* (Batas atas) dan *Low Threshold* (Batas bawah), maka piksel ini akan diterima hanya jika terhubung dengan piksel yang nilainya lebih besar dari nilai *High Threshold* (Batas atas).

2.8. **Region of Interest (ROI)**

Dalam melakukan proses pengolahan citra digital, terkadang kita hanya menginginkan pengolahan hanya pada area tertentu dari citra dan area tersebut disebut dengan *Region of Interest (ROI)*.

Region of Interest (ROI) adalah sampel yang diambil dari satu set data untuk tujuan tertentu. Tahap pengambilan ROI ini bertujuan untuk lebih fokus menganalisis area, dan menghindari error pada sistem. (Andrew, dkk., 2017).

2.9. Hough Circle Transform (HCT)

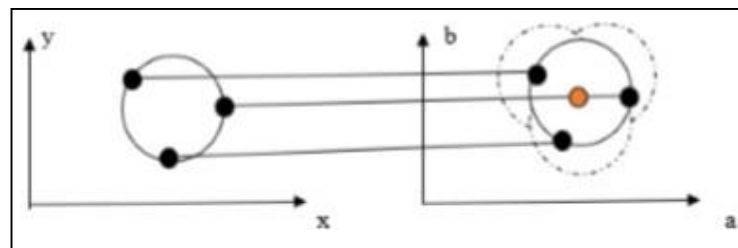
Hough Transform adalah teknik transformasi citra yang dapat digunakan untuk mengisolasi atau dengan kata lain memperoleh fitur dari sebuah citra. Karenatujuan dari sebuah transformasi adalah mendapatkan suatu fitur yang lebih spesifik, Classical Hough Transform merupakan teknik yang paling umum digunakan untuk mendeteksi objek yang berbentuk kurva seperti garis, lingkaran, elips dan parabola. (Auliannisa, Suratman S.T., & Rizal ST., 2017). *Hough Circle Transform (HCT)* merupakan transformasi citra yang memungkinkan objek melingkar diekstraksi dari citra, bahkan jika lingkaran tidak lengkap. HCT juga selektif untuk lingkaran, dan umumnya akan mengabaikan elips memanjang. HCT dapat mengukur pusat massadan jari-jari setiap objek lingkaran dalam citra. *Hough Circle Transform* dapat diterapkan untuk mendeteksi keberadaan bentuk lingkaran pada gambar yang diberikan. Ini digunakan untuk mendeteksi beberapa bentuk atau menemukan helm. (Pathasu & Klubsuwan, 2016). Tujuan dari HCT ini adalah untuk menemukan lingkaran dalam input gambar. Fitur-fitur dari lingkaran dihasilkan dengan "pemilihan" di ruang parameter Hough dan kemudian memilih maxima lokal atau matriks akumulator. Sebuah lingkaran lebih mudah direpresentasikan dalam parameter ruang dibandingkan dengan sebuah garis. Karena parameter lingkaran dapat langsung dirubah ke dalam parameter ruang. Persamaan lingkaran dituliskan sebagai berikut :

$$\begin{aligned} (x - a)^2 + (y - b)^2 &= r^2 \\ r &= \sqrt{(x_i - a)^2 + (y_i - b)^2} \end{aligned} \dots\dots\dots(5)$$

Dari persamaan diatas, lingkaran mempunyai tiga parameter yaitu r, a, dan b. Dimana a dan b adalah pusat lingkaran dalam koordinat kartesius (x, y) dan r adalah radius lingkaran. Dalam bentuk trigonometri persamaan dapat ditulismenjadi :

$$\begin{aligned} x &= a + r \cos \theta \\ y &= b + r \sin \theta \end{aligned} \dots\dots\dots(6)$$

Proses pendeteksian lingkaran dengan Hough Circle Transform yang dilakukan pertama kali adalah dengan mendeteksi tepi lingkaran terlebih dahulu, dapat menggunakan metode deteksi tepi seperti *Canny* atau *Sobel*. Pada setiap tepicitra digambarkan sebuah lingkaran dengan pusat pada titik radius yang diinginkan, setiap koordinat yang dilalui garis keliling lingkaran akan masuk kedalam matriks akumulator. Matriks akumulator ini berisi jumlah garis keliling lingkaran yang melewati suatu koordinat. Matriks akumulator berisi jumlah garis keliling lingkaran yang melewati suatu koordinat. Nilai terbesar dari matriks akumulator merupakan titik tengah dari lingkaran yang terdeteksi.



Gambar 8. Ruang Geometri dan Ruang Parameter Lingkaran

BAB III PERANCANGAN

4.5. Perancangan umum (*Quick Design*)

Kebutuhan secara keseluruhan dalam melaksanakan pembangunan sistem yaitu deskripsi kebutuhan perangkat keras (*hardware*) dan deskripsi kebutuhan perangkat lunak (*software*).

4.5.1. Deskripsi Kebutuhan Pembangunan *Hardware*

Berdasarkan standar dari *website NetBeans*, spesifikasi minimum *hardware*

komputer yang disarankan untuk menginstal *NetBeans* adalah sebagai berikut :

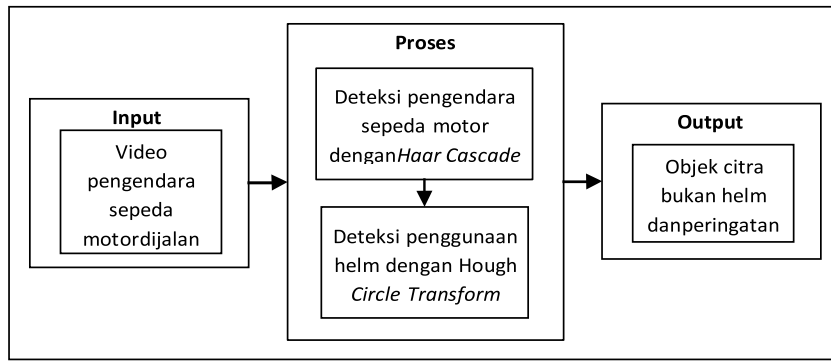
- *Processor: 500 MHz Intel Pentium III workstation* atau setaranya
- *Memory: 384 megabytes*
- *Disk space: 125 megabytes of free disk space*

4.5.2. Deskripsi Kebutuhan Pembangunan *Software*

Kebutuhan perangkat lunak yang diperlukan dalam pembangunan aplikasi ini mencakup sistem operasi dan aplikasi. Aplikasi yang digunakan pada pembangunan sistem ini adalah *NetBeans IDE 8.0.2* dengan *packages* sesuaikan dengan fitur yang dibutuhkan. Serta minimum Sistem Operasi yang digunakan pada pembangunan sistem ini adalah *Windows XP Professional SP3*.

4.6. Perancangan umum (*Quick Design*)

Pembuatan perancangan umum untuk membentuk sistem berdasarkan tinjauan pustaka yang digunakan. Berikut ini merupakan blok diagram dari dari carakerja sistem yang dibangun untuk melakukan identifikasi penggunaan helm pada pengendara sepeda motor. Masukan diperoleh dari *file* berupa video pengendara sepeda motor di jalan yang kemudian akan diproses oleh sistem sehingga mendapatkan hasil deteksi objek helm pada pengendara sepeda motor. Blok diagram perancangan umum sistem adalah sebagai berikut :



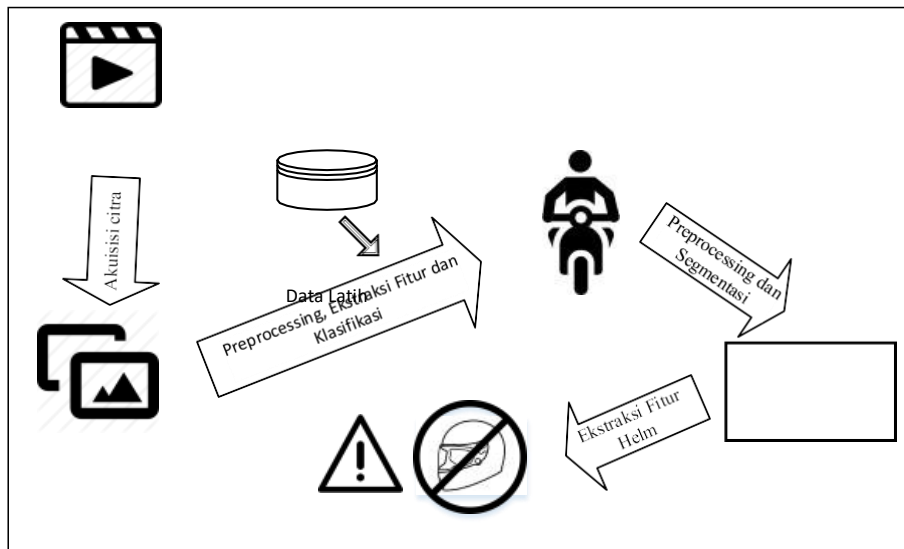
Gambar 10. Blok Diagram Quick Design

3.3. Membangun Prototype (Building Prototype)

Pada tahap ini dibuat perancangan sementara yang dilakukan dengan mewakili semua aspek perangkat keras dan lunak yang dibutuhkan dan menjadi dasar pembuatan sistem identifikasi penggunaan helm pada pengendara sepeda motor. Pada tahap ini dilakukan hingga tahap implementasi dan pengujian sistem.

3.3.1 Pemodelan Sistem

Pada subbab ini menjelaskan prinsip kerja dari keseluruhan sistem, dimulaidari bagaimana proses input data sampai identifikasi penggunaan helm pada pengendara sepeda motor.

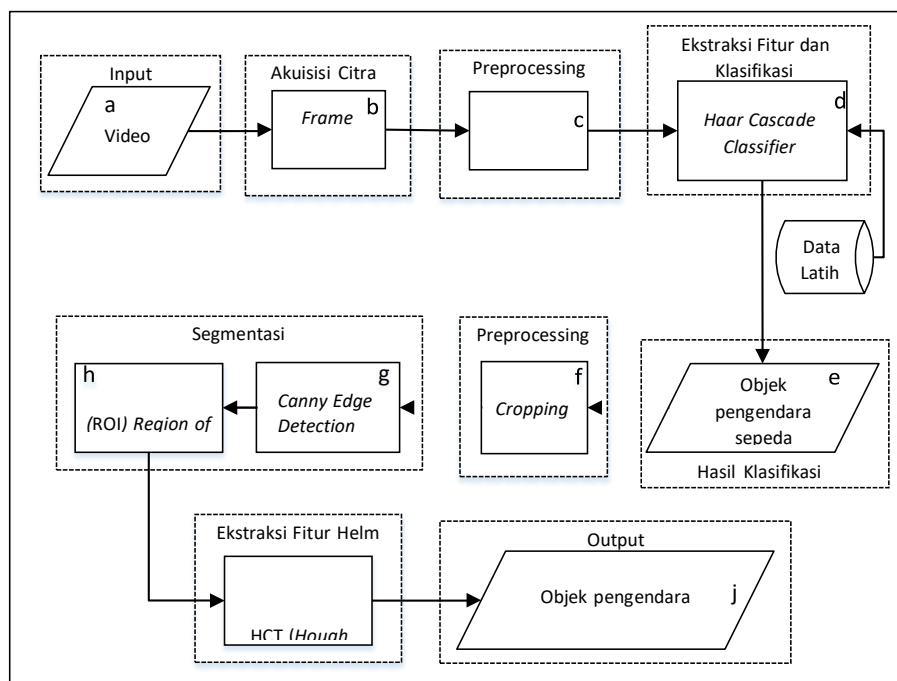


Gambar 11. Prinsip Kerja Keseluruhan Sistem

Gambar 11. merupakan gambaran prinsip kerja dari sistem identifikasi penggunaan helm pada pengendara sepeda motor. Sistem akan diberikan input berupa file rekaman video. Video tersebut akan dilakukan tahap akuisi citra untuk melakukan ekstrak dari video menjadi *frame-frame* citra. Selanjutnya dilakukan proses ekstraksi fitur dan klasifikasi untuk mendeteksi pengendara sepeda motor dari setiap frame. Setelah itu, dilakukan preprocessing dan segmentasi yang akan menghasilkan citra tepi objek pengendara sepeda motor. Selanjutnya dilakukan tahap ekstraksi fitur helm untuk mendeteksi penggunaan helm pada pengendara sepeda motor dengan begitu dapat pula diketahui pengendara sepeda sepeda yang tidak menggunakan helm. Keluaran dari sistem yaitu objek pengendara sepeda motor tanpa helm dan peringatan.

3.3.2 Blok Diagram

Pada tahap ini diberikan blok diagram yang mempresentasikan proses dari sistem dengan menampilkan garis besar gambaran sistem yang dibuat, dimulai darimasukan hingga keluaran dari sistem yang dibuat. Blok diagram sistem yang dibuat adalah sebagai berikut :



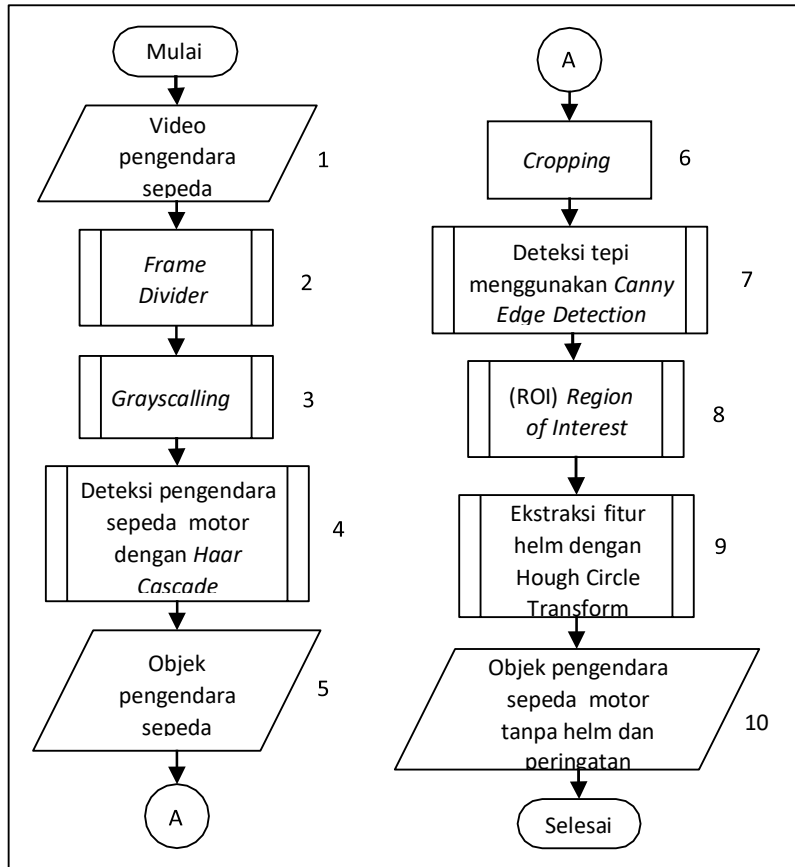
Gambar 12. Blok Diagram Sistem

Gambar 12 merupakan blok diagram dari sistem identifikasi pengendara sepeda motor tanpa helm.

1. Proses pertama merupakan akuisisi citra yaitu pengambilan data yang berupa *file* rekaman video yang juga merupakan input.
2. *Frame Divider* merupakan tahapan proses persiapan awal sistem dimana dilakukan ekstrak atau mengubah video menjadi *frame-frame* citra.
3. *Grayscale* dilakukan untuk melakukan konversi dari citra RGB menjadi citra *grayscale* (keabuan).
4. Tahap selanjutnya ekstraksi fitur dan klasifikasi pengendara sepeda motor menggunakan algoritma Haar Cascade dimana pada tahap ini dilakukan proses pelatihan data.
5. Hasil keluaran dari tahapan sebelumnya yaitu identifikasi objek pengendara sepeda motor yang akan dijadikan masukan untuk tahapan proses selanjutnya.
6. Dilakukan *cropping* dari *frame* yang telah diketahui terdapat objek pengendara sepeda motor untuk memperjelas objek citra dan mempermudah proses selanjutnya.
7. Tahap selanjutnya merupakan tahap segmentasi citra dengan menggunakan operator *Canny Edge Detection* untuk memperjelas atau mempertajam garis tepi pada objek citra.
8. Dilakukan proses ROI (*Region of Interest*) untuk menandai suatu tempat area identifikasi sehingga didapatkan area bagian atas pengendara sepeda motor.
9. Objek citra yang telah dilakukan pendeteksian tepi, selanjutnya dilakukan tahap ekstraksi fitur dengan HCT (*Hough Circle Transform*) untuk mendeteksi helm pada pengendara sepeda motor sehingga dapat diketahui juga pengendara sepeda motor yang tidak menggunakan helm.
10. Keluaran yang dihasilkan yaitu berupa objek pengendara sepeda motor tanpa helm dan peringatan.

3.3.3 Flowchart

Flowchart berikut akan mempresentasikan gambaran cara kerja keseluruhan sistem yang dibuat yaitu sebagai berikut :



Gambar 13. Flowchart Sistem

Berdasarkan Gambar 13. yang merupakan diagram alir sistem akan dijelaskan setiap prosesnya sebagai berikut :

1. Pengambilan data berupa rekaman video pengendara sepeda motor di jalanyang menjadi masukan untuk sistem identifikasi penggunaan helm pada pengendara sepeda motor.
2. Dari input tersebut akan dilakukan akuisisi citra dengan proses *frame divider* untuk melakukan ekstrak video menjadi *frame-frame* citra yang akan dijelaskan pada subbab 3.3.3.1.
3. Proses *Grayscale* dilakukan untuk melakukan konversi citra pengendara sepeda motor dalam bentuk citra RGB menjadi citra *grayscale* yang akan dijelaskan pada subbab 3.3.3.2.
4. Dilakukan proses ekstraksi fitur dan klasifikasi dengan menggunakan algoritma *Haar Cascade Classifier* sehingga akan mendapatkan hasil

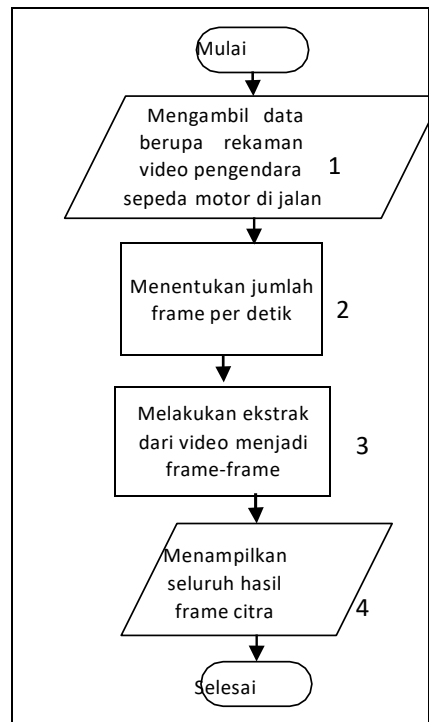
deteksi berupa citra objek pengendara sepeda motor yang akan dijelaskan pada subbab 3.3.3.3.

5. Sistem mendapatkan hasil deteksi objek pengendara sepeda motor.
6. Setelah didapatkan hasil deteksi yaitu citra objek pengendara sepeda motor maka selanjutnya dilakukan proses *cropping* untuk memisahkan objek pengendara sepeda motor yang satu dengan yang lainnya dan untuk lebih memfokuskan area yang akan dilakukan tahapan selanjutnya.
7. Dilakukan tahap segmentasi citra yaitu deteksi tepi dengan *Canny Edge Detection* untuk mendapatkan garis tepi dari objek pengendara sepeda motor yang akan dijelaskan pada subbab 3.3.3.4.
8. Kemudian dilakukan proses ROI (*Region Of Interest*) pada area objek bagian atas pengendara sepeda motor agar dapat memfokuskan pada area tersebut yang akan dilakukan tahapan selanjutnya yang akan dijelaskan pada subbab 3.3.3.5.
9. Tahap selanjutnya yaitu ekstraksi fitur helm dengan menggunakan HCT (*Hough Circle Transform*) untuk mendeteksi penggunaan helm pada pengendara sepeda motor dengan begitu dapat diketahui juga pengendara sepeda motor yang tidak menggunakan helm yang akan dijelaskan pada subbab 3.3.3.6.
10. Hasil keluaran dari sistem yaitu pengendara sepeda motor tanpa helm dan peringatan.

Berdasarkan *flowchart* sistem dan uraian yang telah dijelaskan diatas terdapat beberapa subproses. Subbab berikut ini akan menjelaskan lebih rinci dari setiap subproses.

3.3.3.1 Frame Divider

Pada Gambar 14, akan ditunjukkan alur kerja subproses frame divider dari hasil pengambilan video secara offline time.



Gambar 14. Flowchart Sitem

Berdasarkan Gambar 14, ditunjukkan alur proses *frame divider* yang berfungsi untuk mendapatkan hasil *frame-frame* citra dari video yang berisi objek pengendara sepeda motor yang akan digunakan pada proses selanjutnya. Alur dari proses frame video sebagai berikut :

1. Data set video pengendara sepeda motor di jalan yang telah diambil sebelumnya secara *offline time* yang akan digunakan sebagai masukan. Rekaman video yang diambil berdurasi selama sekitar 3-5 menit.
2. Menentukan berapa detik untuk pengambilan tiap frame dalam video. Dalam sistem yang digunakan 0.5 detik untuk konversi tiap frame.

Jadi dapat diketahui jumlah frame, jika diambil salah satu contoh rekaman video berdurasi 3 menit yaitu :

$$1 \text{ frame} = 0.5 \text{ detik}$$

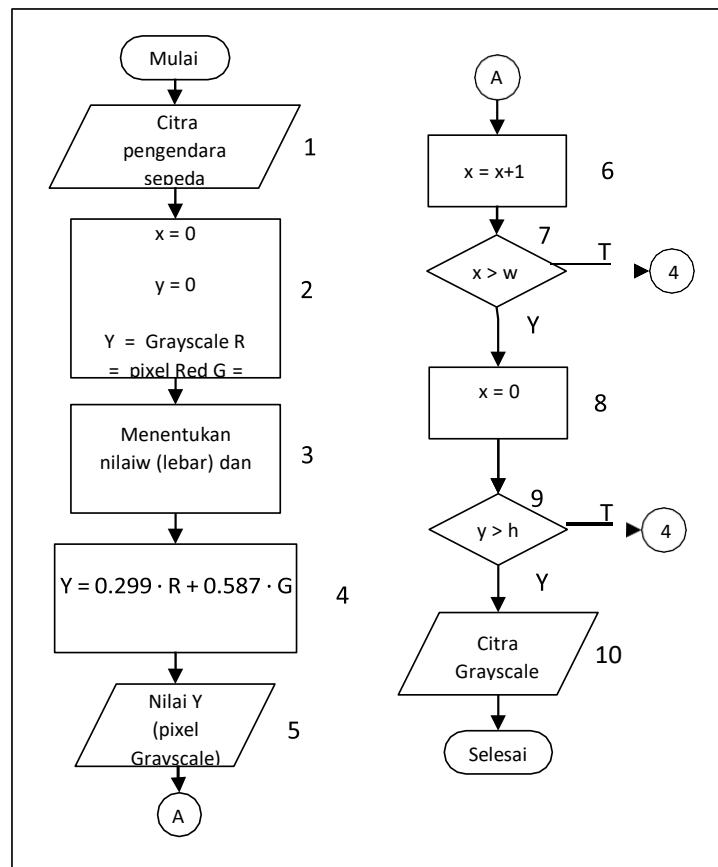
$$3 \text{ menit} = 180 \text{ detik}$$

$$\text{Jumlah frame} = 180 : 0.5 = 360 \text{ frame/detik}$$

3. Melakukan ekstrak dari video menjadi frame-frame.
4. Menampilkan seluruh frame yang telah dilakukan proses ekstrak dari video.

3.3.3.2. Grayscale

Proses *grayscale* dilakukan sebagai tahap *preprocessing* pada proses *training* dan *testing*. Alur proses *grayscale* ditunjukkan pada Gambar 15.



Gambar 15. Flowchart Grayscale

Terdapat beberapa tahap dalam melakukan proses *grayscale*, yaitu:

1. Masukan berupa citra uji yaitu citra pengendara sepeda motor
2. Inisialisasi x dan y sebagai koordinat citra dengan koordinat awal (0,0), Y sebagai dan R, G, B sebagai nilai piksel merah, hijau, dan biru pada pikselkoordinat (x,y). Dapat dilihat pada Gambar 16 berikut merupakan sampel 3x3 pixel RGB pada citra pengendara sepeda motor.

	0	1	2
0	R 206	R 200	R 195
	G 207	G 203	G 196
	B 205	B 201	B 193
1	R 105	R 120	R 140
	G 101	G 110	G 133
	B 100	B 110	B 131
2	R 58	R 73	R 84
	G 58	G 71	G 82
	B 58	B 72	B 82

Gambar 16. Sampel 3x3 *pixel* RGB citra uji

3. Proses pertama dari *Grayscale* yaitu menentukan nilai panjang (*height*) dan lebar (*width*) dari citra agar proses *Grayscale* dilakukan ke setiap *pixel* citra. Panjang dan lebar warna citra pengendara sepeda motor ditunjukkan pada Gambar 17.

Image ID	
Dimensions	1920 x 1080
Width	1920 pixels
Height	1080 pixels

Gambar 17. Dimensi Citra Uji *acne.jpg*

Berdasarkan Gambar 17 di atas citra tersebut memiliki lebar 1920 piksel dan panjang 1080 piksel. Setiap piksel memiliki jumlah 3 *channel* citra yaitu RGB yang akan dikonversi menjadi *grayscale*.

4. Setiap *pixel* RGB kemudian diubah menjadi *grayscale*. Nilai R dikalikan dengan 0.299, nilai G dikalikan dengan 0.587, dan nilai B dikalikan 0.114. Seluruh nilai hasil kali kemudian dijumlahkan menjadi satu ruang warna keabuan seperti pada perhitungan berikut untuk koordinat (1,1) *pixel* citra uji.

$$\begin{aligned}
 \text{Grayscale (Y)} &= (R \times 0.299) + (G \times 0.587) + (B \times 0.114) \\
 &= (206 \times 0.299) + (207 \times 0.587) + (205 \times 0.114) \\
 &= 61,594 + 121,509 + 23,37 \\
 &= 206,473
 \end{aligned}$$

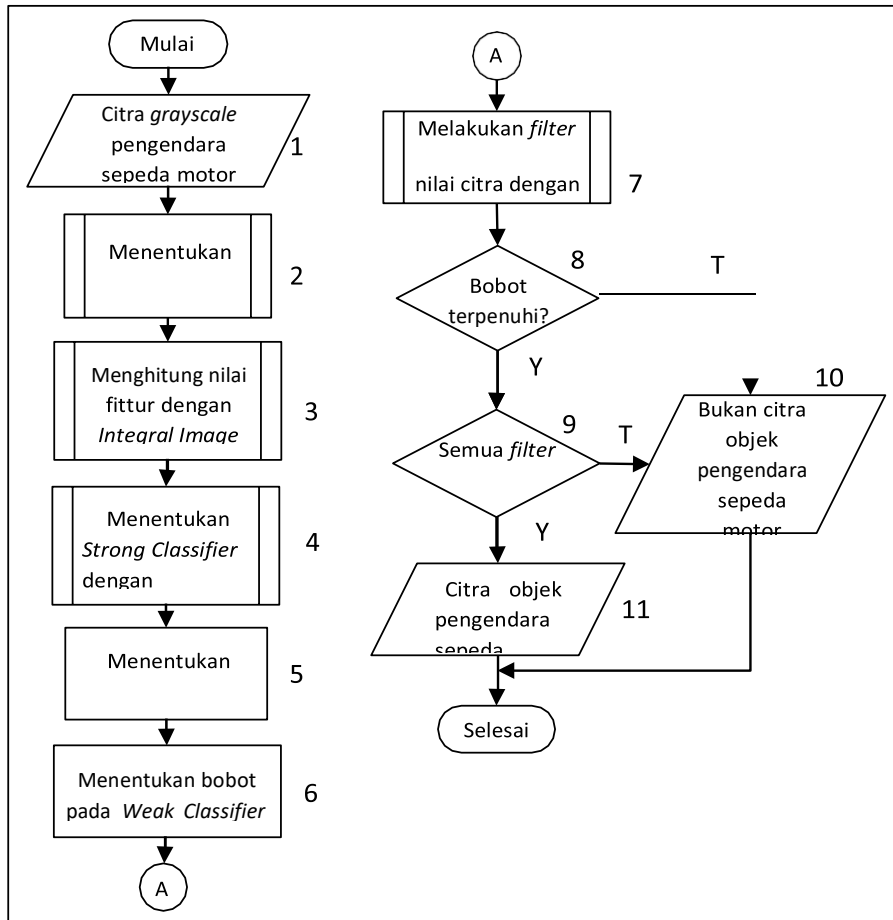
5. Diperoleh nilai piksel yang hanya memiliki satu kanal warna berdasarkan persamaan diatas. Hasil nilai perhitungan grayscale pada koordinat (1,1) dibulatkan menjadi 206.
6. Perhitungan *grayscale* kemudian dilakukan pada koordinat berikutnya yaitu (x+1, y) atau koordinat (1,2).
7. Dilakukan proses pengulangan perhitungan pada koordinat $x + 1$ sampai koordinat x pada $y = 0$ akhir, atau nilai x sudah melebihi panjang citra.
8. Jika x sudah melebihi panjang citra, maka nilai x kembali ke 0 dan nilai y yang terus bertambah untuk dilakukan perhitungan.
9. Proses perhitungan dinyatakan selesai jika seluruh piksel citra uji telah dikonversikan menjadi piksel *grayscale*. Pada gambar 30 ditunjukkan nilai citra pengendara sepeda motor dalam bentuk citra grayscale untuk sampel 3x3.

Gambar 18. Pixel keabuan citra uji

	0	1	2
0	R 206 G 206 B 206	R 202 G 202 B 202	R 196 G 196 B 196
1	R 101 G 101 B 101	R 112 G 112 B 112	R 134 G 134 B 134
2	R 58 G 58 B 58	R 70 G 70 B 70	R 81 G 81 B 81

3.3.3.3. Haar Cascade

Berdasarkan subbab sebelumnya, didapatkan hasil berupa frame-frame gambar yang akan diproses pada tahap selanjutnya yaitu proses *Haar Cascade* yang akan ditunjukkan dengan alur kerja pada Gambar 19.



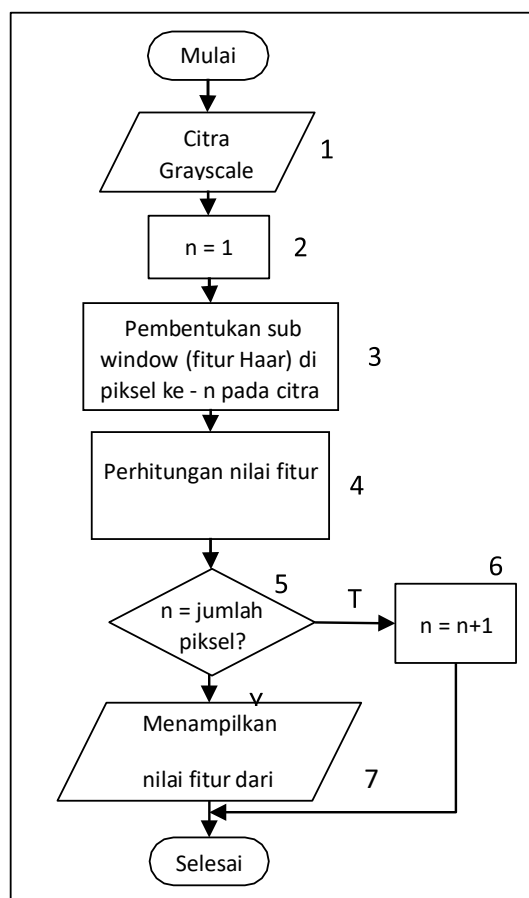
Gambar 19. Flowchart Haar Cascade

Berdasarkan Gambar 19, ditunjukkan alur proses *Haar Cascade* untuk mendapatkan hasil deteksi pengendara sepeda motor yang akan digunakan pada proses selanjutnya. Berdasarkan alur sistem diatas dapat juga dilihat bahwa terdapat empat proses utama dalam pendeteksian objek pengendara sepeda motor dengan menggunakan metode *Haar Cascade Classifier* antara lain: menentukan *Haar Feature*, menghitung nilai fitur dengan *Integral Image*, melakukan analisa algoritma *AdaBoost* untuk menentukan apakah fitur berisi objek pengendara sepedamotor dengan serangkaian *filter classifier* dan melakukan analisa *Cascade Classifier* untuk melakukan filter nilai citra dengan memberikan nilai bobot untuk melewati setiap filter sehingga dapat diketahui objek pengendara sepeda motor yang terdeteksi pada citra. Berikut ini merupakan penjelasan dari tahapan-tahapan

yang ada dalam proses pendeteksian objek pengendara sepeda motor dengan metode *Haar Cascade Classifier* tersebut:

1. Haar Like Feature

Proses pengklasifikasian citra dilakukan berdasarkan nilai dari sebuah fitur. Untuk dapat memahami bagaimana penentuan nilai fitur ini dapat dilihat pada gambar *flowchart* dari *Haar Like Feature* berikut ini :



Gambar 20. Flowchart Haar Like Feature

Berdasarkan alur sistem diatas dapat diketahui masukan berupa citra dari hasil proses *grayscale* sebelumnya. Pada penelitian ini untuk menghitung nilai fitur Haar pada sebuah citra dan pada skala yang berbedasecara cepat menggunakan satu teknik yang disebut *Integral Image*. Secara umum *integrating* memiliki arti menggabungkan unit-unit kecil menjadi satu. Dalam hal ini unit-unit kecil adalah nilai piksel. Nilai integral suatu

piksel adalah jumlah dari semua piksel diatas dan di kiri piksel tersebut. Seluruh citra dapat digabungkan dengan operasi nilai yang lebih sedikit tiappikselnya. *Integral Image* sangat membantu dalam perhitungan fitur *Haar Like Feature*. Dengan menggunakan *Integral Image*, perhitungan *Haar LikeFeature* dapat dilakukan dengan sangat cepat.

Dilakukan pemindaian setiap pixel citra wajah dengan menggunakan Haar-Like feature yang terdiri dari nilai-nilai ambang dataset citra positif dan negatif seperti contoh dataset ekspresi stage 0 pada Gambar 21.

```

<size> 24 24</size>
- <stages>
  - <_>
    - <_>
      - <trees>
        - <_>
          - <_>
            - <feature>
              - <rects>
                <_> 8 0 8 4 -1.</_>
                <_> 8 2 8 2 2.</_>
              </rects>
            <tilted>0</tilted>
          -
        -
      -
    -
  -
-

```

Gambar 21. Nilai Fitur Haar Stage Data Latih

Berdasarkan Gambar 21 didapatkan informasi dari nilai-nilai objek data latih untuk deteksi objek pengendara sepeda motor yang ditunjukkan padaTabel 1.

Tabel 1. Informasi Nilai Objek Data Latih

Tag	Angka	Informasi
<size>	24, 24	Besar area untuk hasil penandaan objek yang ditentukan. Pada dataset ekspresi, besar area yaitu 24 x 24 pixel
<!--stage -->	-	Menunjukkan informasi untuk stage ke-n, dimana stage yang ditentukan untuk dataset ekspresi sebanyak 10, sehingga stage dilakukan hingga stage ke-9
<rects>	8	Koordinat x fitur pertama classifier stage 0 yaitu x = 8
<rects>	0	Koordinat y fitur pertama classifier stage 0 yaitu y = 0, maka koordinat (x,y) fitur pertama stage 0dimulai dari koordinat (8,0)

<rects>	8	Menunjukkan panjang fitur pertama dalam pixel, maka fitur pertama stage 0 memiliki panjang 1 pixel
<rects>	4	Menunjukkan lebar fitur pertama dalam pixel, maka fitur pertama stage 0 memiliki lebar 4 pixel
<rects>	-1	Nilai intensitas pixel, jika bernilai ≤ 0 maka fitur merupakan fitur gelap/hitam. Jadi, fitur pertama stage 0 merupakan fitur gelap/hitam
<rects>	8, 2, 8, 2, 2	Nilai fitur kedua pada stage 0 dengan informasi: Koordinat (x,y) fitur kedua = (9,8) Panjang fitur = 1 pixel Lebar fitur = 8 pixel Intensitas pixel = fitur terang/putih
<tilted>	0	Nilai kemiringan classifier stage 0, dimana classifier tidak memiliki nilai kemiringan

Berdasarkan informasi tersebut, maka fitur haar stage 0 data latih yang terbentuk ditunjukkan pada Gambar 22.

	0	...	7	8	9	10	11	12	13	14	15	16
0				█	█	█	█	█	█	█	█	█
1				█	█	█	█	█	█	█	█	█
2				█	█	█	█	█	█	█	█	█
3				█	█	█	█	█	█	█	█	█
4												
5												
6												
7												
8												
9												

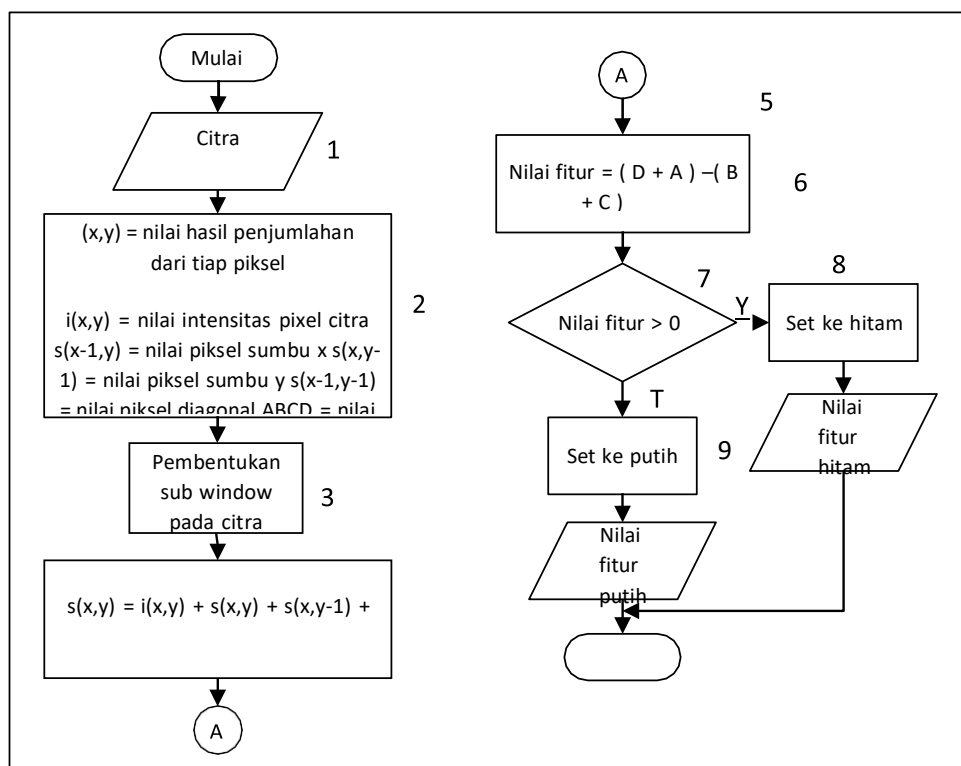
Gambar 22. Fitur Haar untuk Classifier

R 17	R 16	R 17	R 16	R 16	R 15	R 14	R 13	R 18	R 18
G 17	G 16	G 17	G 16	G 16	G 15	G 14	G 13	G 18	G 18
B 17	B 16	B 17	B 16	B 16	B 15	B 14	B 13	B 18	B 18
R 15	R 13	R 13	R 16	R 16	R 16	R 16	R 17	R 15	R 15
G 15	G 13	G 13	G 16	G 16	G 16	G 16	G 17	G 15	G 15
B 15	B 13	B 13	B 16	B 16	B 16	B 16	B 17	B 15	B 15
R 15	R 15	R 15	R 16	R 15	R 14	R 14	R 13	R 13	R 13
G 15	G 15	G 15	G 16	G 15	G 14	G 14	G 13	G 13	G 13
B 15	B 15	B 15	B 16	B 15	B 14	B 14	B 13	B 13	B 13
R 18	R 15	R 15	R 14	R 14	R 12	R 14	R 13	R 14	R 13
G 18	G 15	G 15	G 14	G 14	G 12	G 14	G 13	G 14	G 13
B 18	B 15	B 15	B 14	B 14	B 12	B 14	B 13	B 14	B 13
R 22	R 14	R 12	R 10	R 11	R 11	R 13	R 14	R 14	R 14
G 22	G 14	G 12	G 10	G 11	G 11	G 13	G 14	G 14	G 14
B 22	B 14	B 12	B 10	B 11	B 11	B 13	B 14	B 14	B 14
R 19	R 12	R 12	R 11	R 11	R 13	R 15	R 17	R 21	R 27
G 19	G 12	G 12	G 11	G 11	G 13	G 15	G 17	G 21	G 27
B 19	B 12	B 12	B 11	B 11	B 13	B 15	B 17	B 21	B 27

Gambar 23. Contoh Penerapan Fitur Haar pada Pixel Citra

2. Integral Image

Secara umum integral mempunyai makna menambahkan bobot, bobot merupakan nilai-nilai piksel yang akan ditambahkan ke dalam gambar asli. Nilai integral dari setiap piksel merupakan jumlah dari semua piksel sebelah atasnya dan di sebelah kirinya. Keseluruhan gambar dapat diintegrasikan dengan operasi bilangan bulat tiap piksel. Alur proses dari *integral image* akan dijelaskan sesuai dengan tahapan yang terdapat dalam flowchart pada Gambar 24 berikut.



Gambar 24. Flowchart *Integral Image*

Berdasarkan gambar 3 terlihat tiap proses dari integral image dan akan dijelaskan lebih rinci antara lain :

1. Masukan berupa citra dari hasil proses sebelumnya yaitu citra grayscale pengendara sepeda motor. Dari masukan citra tersebut diambil sampel citra berukuran 4x4 piksel dapat dilihat pada Gambar 25 berikut ini.

	0	1	2	3
0	R 17	R 16	R 17	R 16
G 17	G 16	G 17	G 16	G 16
B 17	B 16	B 17	B 16	B 16
1	R 15	R 13	R 13	R 16
G 15	G 13	G 13	G 16	G 16
B 15	B 13	B 13	B 16	B 16
2	R 15	R 15	R 15	R 16
G 15	G 15	G 15	G 16	G 16
B 15	B 15	B 15	B 16	B 16
3	R 18	R 15	R 15	R 14
G 18	G 15	G 15	G 14	G 14
B 18	B 15	B 15	B 14	B 14

Gambar 25. Sampel Pixel Citra Grayscale

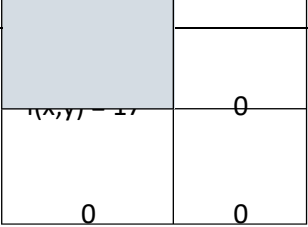
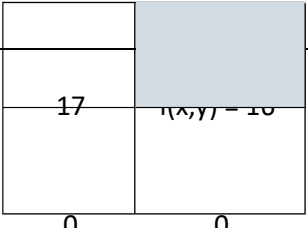
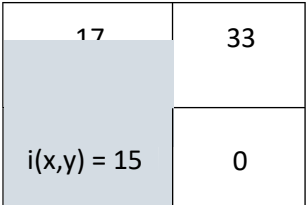
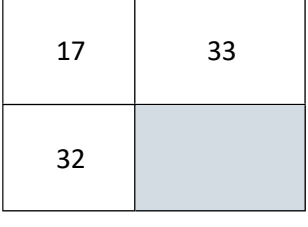
- Mengambil nilai pixel pada koordinat (x,y) . Pixel ini yang akan diproses menjadi pixel integral dan dilakukan secara menyeluruh terhadap seluruh pixel citra. Agar lebih jelas untuk nilai citra *Grayscale* yang terpindai fitur haar dapat dilihat pada Gambar 26 berikut.

	0	1	2	3
0	17	16	17	16
15	13	13	16	16
1	15	15	15	16
18	15	15	14	14

Gambar 26. Sampel Pixel Citra 4x4

- Menghitung nilai $S(x,y)$ sebagai nilai citra integral dari citra asli $i(x,y)$. Sedangkan $S(x,y)$ merupakan hasil penjumlahan nilai pixel yang sedang dihitung dengan nilai pixel pada koordinat x dan y sebelumnya. Hasil penjumlahan ini kemudian dikurangi dengan nilai pixel diagonal sebelumnya. Contoh perhitungan dilakukan pada pixel area 2×2 dari jumlah area pixel 4×4 dan ditunjukkan pada Tabel 2 dengan menggunakan *sum area table*, atau matriks untuk menaruh pixel yang sedang dihitung, dimanapixel yang belum dihitung sementara bernilai 0.

Tabel 2. Perhitungan Pixel Integral

	$i(x,y) = 17$ $s(x,y-1)$ di luar batas matriks $s(x-1,y)$ di luar batas matriks $s(x-1,y-1)$ di luar batas matriks $s(x,y) = 17$
	$i(x,y) = 16$ $s(x,y-1)$ di luar batas matriks $s(x-1,y) = 17$ $s(x-1,y-1)$ di luar batas matriks $s(x,y) = 16 + 17 = 33$
	$i(x,y) = 15$ $s(x,y-1) = 17$ $s(x-1,y)$ di luar batas matriks $s(x-1,y-1)$ di luar batas matriks $s(x,y) = 15 + 17 = 32$
	$i(x,y) = 13$ $s(x,y-1) = 33$ $s(x-1,y) = 32$ $s(x-1,y-1) = 17$ $s(x,y) = 13 + 33 + 32 - 17 = 61$

Dilakukan proses perhitungan yang sama untuk semua piksel pada citra. Hasil dari *Integral Image* yang didapatkan ditunjukkan pada Gambar 36.

	0	1	2	3
0	112	246	171	366
1	182	397	301	593
3	36	78	50	84
3	107	225	98	163

Gambar 27. Hasil Perhitungan Integral Image

4. Setelah seluruh pixel yang telah dilakukan konversi menjadi pixel integral, maka dilakukan perhitungan fitur. Pada Gambar 28 ditunjukkan piksel integral pada area yang terpindai fitur Haar.

A								C		
	17	33	17	33	16	31	14	31	18	36
B	32	61	30	62	32	63	30	64	33	66
	15	30	15	31	15	29	14	27	13	26
	33	63	30	60	29	55	28	54	27	53
	22	36	12	22	11	22	13	27	14	28
	41	67	24	45	22	46	28	59	35	76

Gambar 28. Pencarian Nilai Fitur Hitam

$$\begin{aligned} \text{Nilai fitur hitam} &= D + A - (B + C) \\ &= 64 \end{aligned}$$

5. Melakukan perhitungan fitur area putih dengan cara yang sama seperti pada perhitungan sebelumnya.

A								C		
	17	33	17	33	16	31	14	31	18	36
	32	61	30	62	32	63	30	64	33	66
B	15	30	15	31	15	29	14	27	13	26
	33	63	30	60	29	55	28	54	27	53
	22	36	12	22	11	22	13	27	14	28
	41	67	24	45	22	46	28	59	35	76

Gambar 29. Pencarian Nilai Fitur Putih

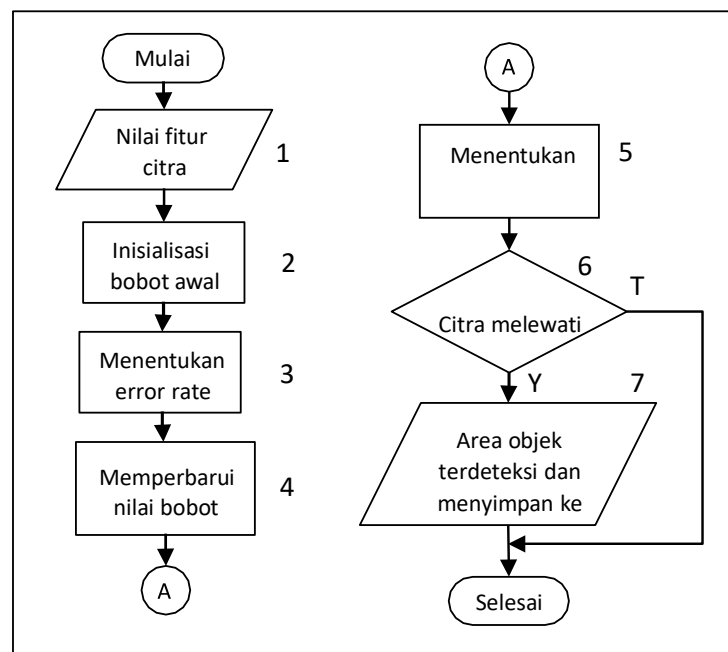
$$\begin{aligned} \text{Nilai fitur putih} &= D + A - (B + C) \\ &= 54 - 31 = 23 \end{aligned}$$

6. Dilakukan pengurangan antara nilai fitur area hitam dengan nilai fitur areaputih yang menghasilkan nilai *luminance* atau *haar like feature*.

$$\begin{aligned} \text{Nilai } \textit{haar like feature} &= \text{nilai fitur hitam} - \text{nilai fitur putih} \\ &= 64 - 23 = 41 \end{aligned}$$

3. Adaptive Boosting (Adaboost)

Pada penelitian ini diterapkan algoritma AdaBoost yang bertujuan mengkombinasikan banyak citra-citra yang kurang tajam (*weak classifiers*) untuk menjadi citra-citra yang lebih tajam (*strong classifiers*) dengan memberi bobot kepada citra weak classifiers. Proses tahapan algoritma *boosting* ini akan dijelaskan secara lebih terperinci berdasarkan gambar *flowchart* berikut ini:



Gambar 30. Flowchart Adaptive Boosting

Langkah-langkah dalam melakukan *Adaptive Boosting* yaitu:

1. Melakukan perhitungan bobot *weak classifier* dari dataset citra positif dan negatif. Contoh perhitungan dilakukan terhadap dataset ekspresi, dimana dataset memiliki 88 citra positif dan 250 citra negatif. Maka, $L = 62$ dan m

=

2. Menghitung bobot awal dengan contoh dataset ekspresi yang memiliki 88citra positif dan 250 citra negatif. Maka, L = 350 dan m = 88.

$$w_{1,0} = \frac{1}{2 \times 250} = 0,002$$

$$w_{1,1} = \frac{1}{2 \times 88} = 0,005$$

3. Mencari nilai *error rate* terkecil pada citra negatif. Pencarian dilakukan dengan cara menghitung nilai fitur pada semua citra negatif untuk melakukan perhitungan *error rate*. Setelah itu dilakukan pengambilan nilai *error rate* yang terkecil di antara semua citra negatif. Berikut ini merupakan contoh perhitungan dilakukan pada tiga sampel citra negatif dari dataset. Perhitungan nilai fitur dilakukan dengan cara yang sama seperti pada *Integral Image*.

Contoh perhitungan sampel citra negatif ke-1 ditunjukkan pada Gambar 31 sebagai berikut :

R 88	R 74	R 90	R 98	R 161	R 155	R 114	R 102	R 94
G 88	G 74	G 90	G 98	G 161	G 155	G 114	G 102	G 94
B 88	B 74	B 90	B 98	B 161	B 155	B 114	B 102	B 94
R 123	R 99	R 104	R 118	R 120	R 140	R 141	R 126	R 129
G 123	G 99	G 104	G 118	G 120	G 140	G 141	G 126	G 129
B 123	B 99	B 104	B 118	B 120	B 140	B 141	B 126	B 129
R 142	R 173	R 112	R 75	R 100	R 134	R 126	R 115	R 138
G 142	G 173	G 112	G 75	G 100	G 134	G 126	G 115	G 138
B 142	B 173	B 112	B 75	B 100	B 134	B 126	B 115	B 138
R 84	R 107	R 114	R 124	R 95	R 149	R 133	R 106	R 133
G 84	G 107	G 114	G 124	G 95	G 149	G 133	G 106	G 133
B 84	B 107	B 114	B 124	B 95	B 149	B 133	B 106	B 133
R 113	R 113	R 128	R 148	R 91	R 103	R 168	R 142	R 125
G 113	G 113	G 128	G 148	G 91	G 103	G 168	G 142	G 125
B 113	B 113	B 128	B 148	B 91	B 103	B 168	B 142	B 125

88	74	90	98	161	155	114	102	94
123	99	104	118	120	140	141	126	129
142	173	112	75	100	134	126	115	138
84	107	114	124	95	149	133	106	133
113	113	128	148	91	103	168	142	125

Gambar 31. Sampel Pixel Citra Negatif Ke-1

$$\begin{aligned} \text{Nilai fitur} &= | (\text{total fitur putih}) - (\text{total fitur hitam}) | h_j(x) \\ &= | (106 - 102) - 102 | \\ &= 98 \end{aligned}$$

Maka nilai error rate yang didapatkan yaitu:

$$\begin{aligned} \epsilon_j &= (0,002) | 98 - 0 | \\ &= 0,196 \end{aligned}$$

Contoh perhitungan sampel citra negatif ke-2 ditunjukkan pada Gambar 32 sebagai berikut :

R 90	R 47	R 39	R 47	R 74	R 37	R 38	R 38	R 66
G 90	G 47	G 39	G 47	G 74	G 37	G 38	G 38	G 66
B 90	B 47	B 39	B 47	B 74	B 37	B 38	B 38	B 66
R 86	R 75	R 58	R 37	R 54	R 53	R 45	R 44	R 84
G 86	G 75	G 58	G 37	G 54	G 53	G 45	G 44	G 84
B 86	B 75	B 58	B 37	B 54	B 53	B 45	B 44	B 84
R 66	R 85	R 72	R 33	R 53	R 52	R 54	R 44	R 102
G 66	G 85	G 72	G 33	G 53	G 52	G 54	G 44	G 102
B 66	B 85	B 72	B 33	B 53	B 52	B 54	B 44	B 102
R 77	R 74	R 79	R 30	R 56	R 55	R 49	R 55	R 101
G 77	G 74	G 79	G 30	G 56	G 55	G 49	G 55	G 101
B 77	B 74	B 79	B 30	B 56	B 55	B 49	B 55	B 101
R 88	R 98	R 40	R 19	R 20	R 51	R 57	R 58	R 93
G 88	G 98	G 40	G 19	G 20	G 51	G 57	G 58	G 93
B 88	B 98	B 40	B 19	B 20	B 51	B 57	B 58	B 93

90	47	39	47	74	37	38	38	66
86	75	58	37	54	53	45	44	84
66	85	72	33	53	52	54	44	102
77	74	79	30	56	55	49	55	101
88	98	40	19	20	51	57	58	93

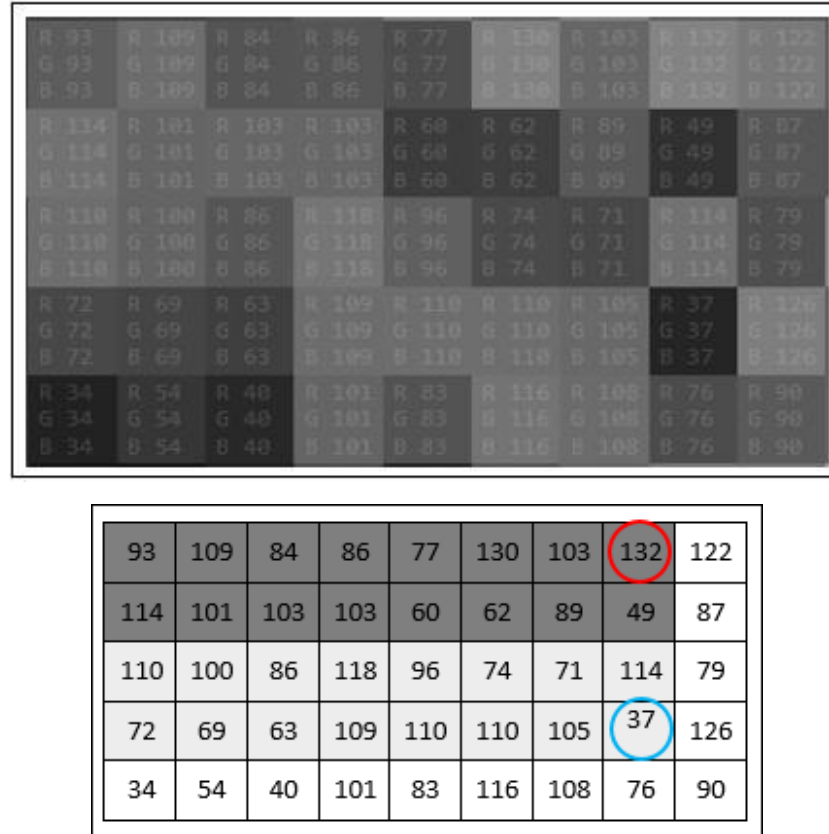
Gambar 32. Sampel Pikel Pitra Negatif Ke-2

$$\begin{aligned} \text{Nilai fitur} &= | (\text{total fitur putih}) - (\text{total fitur hitam}) | h_j(x) \\ &= | (55 - 38) - 38 | \\ &= 21 \end{aligned}$$

Maka nilai error rate yang didapatkan yaitu:

$$\begin{aligned} \epsilon_j &= (0,002) | 21 - 0 | \\ &= 0,042 \end{aligned}$$

Contoh perhitungan sampel citra negatif ke-3 ditunjukan pada Gambar 33 sebagai berikut :



Gambar 33. Sample Piksel Citra Negatif Ke-3

$$\begin{aligned} \text{Nilai fitur} &= | (\text{total fitur putih}) - (\text{total fitur hitam}) | \text{hj} (x) = \\ &= | (37 - 132) - 132 | \\ &= 227 \end{aligned}$$

Maka nilai error rate yang didapatkan yaitu:

$$\begin{aligned} \epsilon_j &= (0,002) | 227 - 0 | \\ &= 0,454 \end{aligned}$$

Setelah dilakukan perhitungan masing-masing *error rate* sampel citra negatif didapatkan nilai antara lain 0,196; 0,042 dan 0,454. Dalam pemilihan fitur terbaik digunakan klasifikasi data *training* menggunakan *error rate* terkecil yaitu 0,042.

- Melakukan perhitungan bobot citra negatif. Perhitungan bobot citra negatif dilakukan dengan menggunakan nilai error rate terkecil yang telah

diperoleh. Perhitungan bobot ini dilakukan sampai mendapatkan bobot awalkurang dari 0.

$$\beta_j = \frac{\epsilon_j}{1 - \epsilon_j}$$

$$= \frac{0,042}{1 - (0,042)}$$

$$= 0,439$$

Maka bobot classifier lemah setelah iterasi 1:

$$w_{t+1,i} = w_{t,i} \cdot \beta_j$$

$$w_{2,0} = 0,002 \times (0,439)$$

$$= 0.000878$$

jika bobot awal setelah iterasi ke n jumlahnya < 0 maka iterasi berhenti. Maka, classifier negatif terbaik untuk fitur pertama classifier ekspresi memiliki bobot 0,439.

- Melakukan pencarian nilai *error rate* terkecil pada citra positif. Sama halnya dengan proses pencarian nilai *error rate* pada citra negatif, proses yang pertama dilakukan yaitu mencari nilai fitur pada semua citra positif untuk melakukan perhitungan *error rate*. Setelah itu, proses pengambilan nilai *error rate* yang terkecil diantara keseluruhan citra positif. Berikut ini merupakan contoh perhitungan dilakukan pada tiga sampel citra positif dataset pengendara sepeda motor.

Contoh perhitungan sampel citra positif ke-1 ditunjukkan pada Gambar 34 sebagai berikut :

R 107	R 116	R 112	R 95	R 104	R 85	R 89	R 90	R 56
G 107	G 116	G 112	G 95	G 104	G 85	G 89	G 90	G 56
B 107	B 116	B 112	B 95	B 104	B 85	B 89	B 90	B 56
R 93	R 76	R 79	R 98	R 91	R 80	R 103	R 100	R 91
G 93	G 76	G 79	G 98	G 91	G 80	G 103	G 100	G 91
B 93	B 76	B 79	B 98	B 91	B 80	B 103	B 100	B 91
R 84	R 74	R 73	R 63	R 92	R 82	R 106	R 115	R 107
G 84	G 74	G 73	G 63	G 92	G 82	G 106	G 115	G 107
B 84	B 74	B 73	B 63	B 92	B 82	B 106	B 115	B 107
R 65	R 62	R 65	R 56	R 79	R 87	R 77	R 123	R 116
G 65	G 62	G 65	G 56	G 79	G 87	G 77	G 123	G 116
B 65	B 62	B 65	B 56	B 79	B 87	B 77	B 123	B 116
R 66	R 61	R 59	R 67	R 51	R 87	R 83	R 116	R 112
G 66	G 61	G 59	G 67	G 51	G 87	G 83	G 116	G 112
B 66	B 61	B 59	B 67	B 51	B 87	B 83	B 116	B 112

107	116	112	95	104	85	89	90	56
93	76	79	98	91	80	103	100	91
84	74	73	63	92	82	106	115	107
65	62	65	56	79	87	77	123	116
66	61	59	67	51	87	83	116	112

Gambar 34. Sampel Piksel Citra Positif Ke-1

$$\begin{aligned} \text{Nilai fitur} &= | (\text{total fitur putih}) - (\text{total fitur hitam}) | \text{ht} (x) \\ &= | (123 - 90) - 90 | = 57 \end{aligned}$$

Maka nilai error rate yang didapatkan yaitu:

$$\epsilon_t = (0,0005) | 57 - 1 | = 0,028$$

Contoh perhitungan sampel citra positif ke-2 ditunjukkan pada Gambar 35 sebagai berikut :

R 27	R 36	R 56	R 123	R 133	R 130	R 131	R 163	R 167
G 27	G 36	G 56	G 123	G 133	G 130	G 131	G 163	G 167
B 27	B 36	B 56	B 123	B 133	B 130	B 131	B 163	B 167
R 120	R 153	R 155	R 135	R 133	R 133	R 132	R 169	R 175
G 120	G 153	G 155	G 135	G 133	G 133	G 132	G 169	G 175
B 120	B 153	B 155	B 135	B 133	B 133	B 132	B 169	B 175
R 148	R 143	R 139	R 151	R 157	R 144	R 142	R 181	R 195
G 148	G 143	G 139	G 151	G 157	G 144	G 142	G 181	G 195
B 148	B 143	B 139	B 151	B 157	B 144	B 142	B 181	B 195
R 147	R 159	R 155	R 160	R 139	R 109	R 155	R 182	R 200
G 147	G 159	G 155	G 160	G 139	G 109	G 155	G 182	G 200
B 147	B 159	B 155	B 160	B 139	B 109	B 155	B 182	B 200
R 211	R 166	R 148	R 122	R 106	R 93	R 137	R 175	R 159
G 211	G 166	G 148	G 122	G 106	G 93	G 137	G 175	G 159
B 211	B 166	B 148	B 122	B 106	B 93	B 137	B 175	B 159

27	36	56	123	133	130	131	163	167
120	153	155	135	133	133	132	169	175
148	143	139	151	157	144	142	181	195
147	159	155	160	139	109	155	182	200
211	166	148	122	106	93	137	175	159

Gambar 35. Sampel Piksel Citra Positif Ke-2

$$\begin{aligned} \text{Nilai fitur} &= | (\text{total fitur putih}) - (\text{total fitur hitam}) | \text{ht} (x) \\ &= | (182 - 163) - 163 | \\ &= 144 \end{aligned}$$

Maka nilai error rate yang didapatkan yaitu:

$$\begin{aligned} \epsilon_t &= (0,0005) | 144 - 1 | \\ &= 0,0715 \end{aligned}$$

Contoh perhitungan sampel citra positif ke-3 ditunjukkan pada Gambar 36 sebagai berikut :

R 67	R 53	R 185	R 215	R 202	R 122	R 98	R 92	R 88
G 67	G 53	G 185	G 215	G 202	G 122	G 98	G 92	G 88
B 67	B 53	B 185	B 215	B 202	B 122	B 98	B 92	B 88
R 52	R 80	R 120	R 148	R 186	R 108	R 131	R 134	R 118
G 52	G 80	G 120	G 148	G 186	G 108	G 131	G 134	G 118
B 52	B 80	B 120	B 148	B 186	B 108	B 131	B 134	B 118
R 33	R 31	R 80	R 147	R 132	R 115	R 145	R 174	R 167
G 33	G 31	G 80	G 147	G 132	G 115	G 145	G 174	G 167
B 33	B 31	B 80	B 147	B 132	B 115	B 145	B 174	B 167
R 153	R 134	R 12	R 83	R 142	R 133	R 163	R 133	R 107
G 153	G 134	G 12	G 83	G 142	G 133	G 163	G 133	G 107
B 153	B 134	B 12	B 83	B 142	B 133	B 163	B 133	B 107
R 173	R 131	R 6	R 8	R 35	R 65	R 104	R 152	R 103
G 173	G 131	G 6	G 8	G 35	G 65	G 104	G 152	G 103
B 173	B 131	B 6	B 8	B 35	B 65	B 104	B 152	B 103

67	53	185	215	202	122	98	92	88
52	80	120	148	186	108	131	134	118
33	31	80	147	132	115	145	174	167
153	134	12	83	142	133	163	133	107
173	131	6	8	35	65	104	152	103

Gambar 36.Sampel Pikel Citra Positif Ke-3

$$\begin{aligned} \text{Nilai fitur} &= | (\text{total fitur putih}) - (\text{total fitur hitam}) | \text{ht} (x) \\ &= | (133 - 92) - 92 | \\ &= 51 \end{aligned}$$

Maka nilai error rate yang didapatkan yaitu:

$$\epsilon_t = (0,0005) | 51 - 1 | = 0,025$$

Setelah dilakukan proses perhitungan untuk masing-masing error rate sampel citra positif sehingga mendapatkan nilai antara lain 0,028; 0,0715 dan 0,025. Dalam pemilihan fitur terbaik digunakan klasifikasi data *training* menggunakan *error rate* terkecil yaitu 0,025.

- Melakukan perhitungan bobot citra positif. Perhitungan bobot citra positif dilakukan dengan menggunakan nilai *error rate* terkecil yang telah diperoleh. Perhitungan bobot ini dilakukan sampai mendapatkan bobot awalkurang dari 0.

$$\begin{aligned}\beta_t &= \frac{\epsilon_t}{1-\epsilon_t} \\ &= \frac{0,025}{1-0,025} \\ &= -0,256\end{aligned}$$

Maka bobot classifier lemah setelah iterasi 1:

$$w_{t+1,i} = w_{t,i} \cdot \beta_t$$

$$\begin{aligned}w_{2,1} &= 0,0005 \times (-0,256) \\ &= -0,002\end{aligned}$$

jika bobot classifier lemah setelah iterasi ke n jumlahnya < 0 maka iterasi berhenti.

Maka, classifier positif terbaik untuk fitur pertama classifier ekspresi memiliki bobot -0,256.

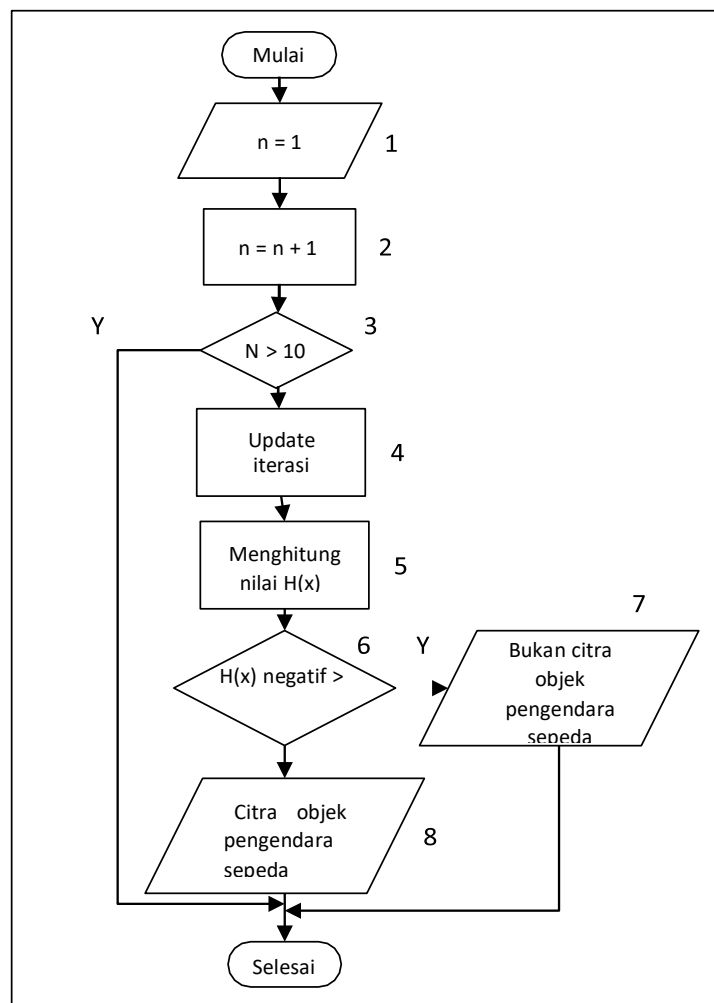
- Melakukan pengecekan apakah fitur menghasilkan *strong classifier*. Pengecekan dilakukan dengan cara menghitung nilai $H(x)$ seperti berikut ini.

$$\begin{aligned}H(x) &= \log \frac{1}{\beta_j} \times h(x) \geq \frac{1}{2} \log \frac{1}{\beta_t} \\ &= \log \frac{1}{0,439} \times 41 \geq \frac{1}{2} \log \frac{1}{0,256} \\ &= \mathbf{1,970 \geq 0,296}\end{aligned}$$

Setelah dilakukan perhitungan didapatkan nilai $H(x)$ yaitu $1,970 \geq 0,296$. Karena nilai 1,970 lebih besar dari 0,296 maka dapat dinyatakan fitur tersebut merupakan *strong classifier* yang selanjutnya akan diproses pada tahap *Cascade Classifier*.

8. Cascade Classifier

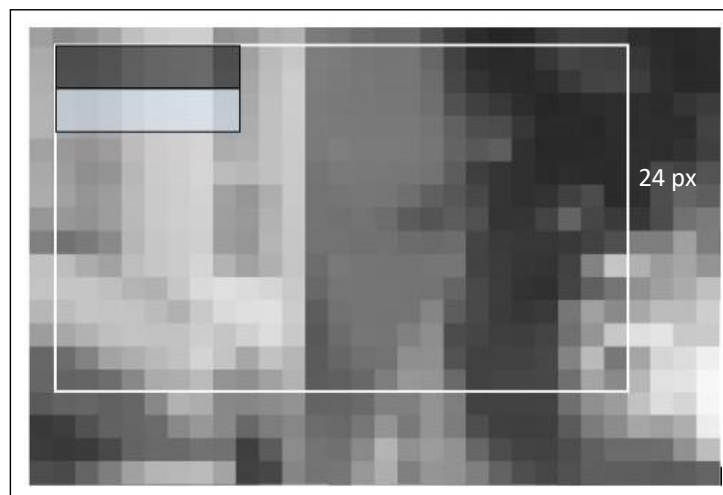
Cascade classifier merupakan suatu proses penyaringan bertingkat untuk memastikan jika objek yang terdeteksi adalah objek pengendara sepeda motor menggunakan beberapa stage sejumlah 9 kali sesuai yang ditentukan pada saat proses training. Proses alur dari *Cascade Classifier* ditunjukkan pada Gambar .



Gambar 37. Flowchart Cascade Classifier

1. Melakukan inialisasi variabel n sebagai *counter stage* dimulai dari *stage* ke-2. *Counter stage* dimulai dari *stage* ke-2 karena proses kalkulasi *stage* pertama telah dilakukan pada tahap *adaptive boosting* sebelumnya.

2. Masukan untuk tahap *cascade classifier* yaitu *strong classifier* berdasarkan perhitungan sebelumnya dari tahap *Adaboost*.
3. Melakukan pemindaian basis area. Proses ini dilakukan dengan membuat basis area atau area deteksi dengan ukuran yang telah ditentukan pada proses pelatihan untuk data *Haar Cascade*. Pada proses pelatihan dataset pengendara sepeda motor, basis area yang digunakan yaitu 24 x 24 pixel. Untuk setiap penambahan stage, panjang dan lebar basis area dikalikan dengan skala yang ditentukan pada proses testing. Skala yang digunakan yaitu 1.25 karena merupakan skala terbaik untuk *classifier* ekspresi yang diperoleh dengan cara *trial & error*. Maka pada stage ke-2, basis area yang digunakan yaitu 25x25 pixel. Basis area ini selanjutnya dilakukan pemindaian dengan menggunakan fitur *haar* seperti pada Gambar 38.

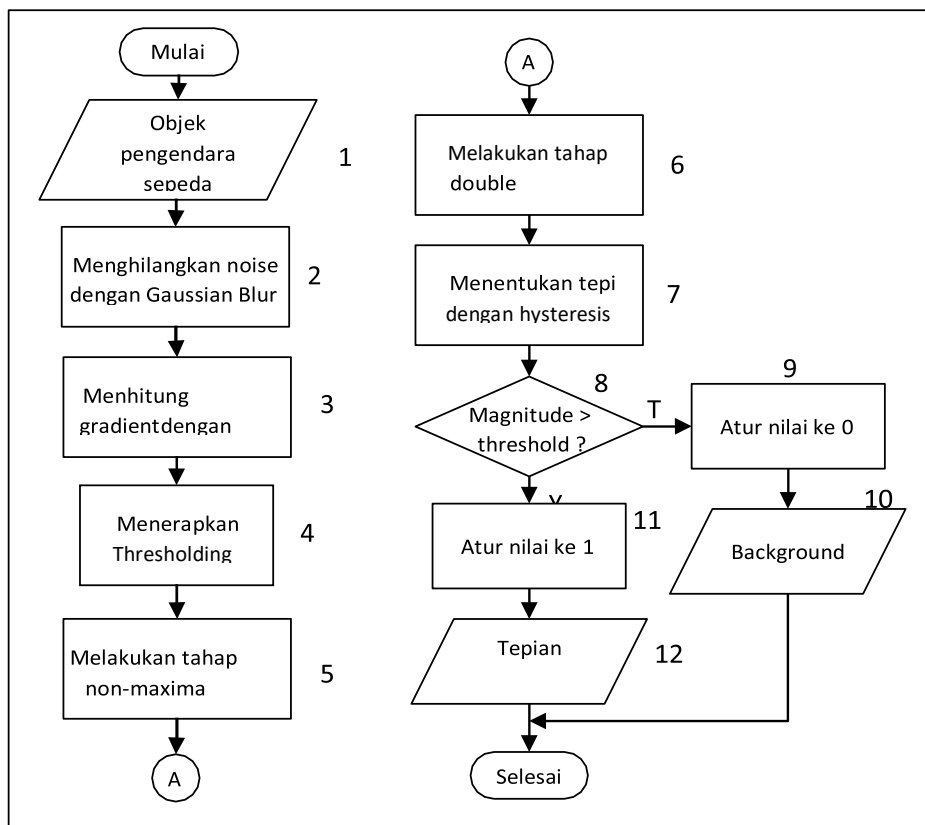


Gambar 38. Basis Area

4. Melakukan proses *adaptive boosting* kembali untuk *stage* ke-2 dengan basis area baru. Proses *adaboost* menyaring kembali *strong classifier* pada *stage* 1 sehingga menghasilkan *classifier* yang terbaik.
5. Melakukan proses penambahan *counter stage* untuk melakukan *filter* pada *stage* berikutnya. *Stage* yang ditentukan pada proses pelatihan yaitu 10 *stage*, sehingga proses *filter* akan terus dilakukan hingga *counter stage* sudah melebihi 10.

4. Canny Edge Detection

Dari proses *Haar Cascade* yang dilakukan sebelumnya didapatkan hasil keluaran yaitu objek pengendara sepeda motor yang ditemukan dengan algoritma *Haar Cascade* dan proses *Cropping* dilakukan pada objek tersebut untuk lebih memfokuskan area yang akan dideteksi pada tahap pendeteksian tepi. Tahapan selanjutnya yaitu dilakukan segmentasi citra yaitu deteksi tepi pada objek pengendara sepeda motor dengan menggunakan operasi *Canny Edge Detection* seperti pada Gambar 39. Alur dari deteksi tepi yaitu sebagai berikut :



Gambar 39. Flowchart Deteksi Tepi dengan Canny

Berdasarkan gambar 6 diatas dapat dilihat bahwa *Canny Edge Detection* terdiri dari beberapa proses antara lain:

1. Masukan dari *Canny Edge Detection* yaitu citra *grayscale* dari proses hasil deteksi objek *Haar Cascade Classifier* dan proses *Cropping* pada citra yang terdapat objek pengendara sepeda motor yang akan memproses citra yang

memiliki satu kanal warna yaitu keabuan. Berikut ini merupakan sampel piksel citra objek pengendara sepeda motor berukuran 5x5.

	0	1	2	3	4
0	R 58 G 58 B 58	R 70 G 70 B 70	R 81 G 81 B 81	R 130 G 130 B 130	R 97 G 97 B 97
1	R 34 G 34 B 34	R 36 G 36 B 36	R 42 G 42 B 42	R 50 G 50 B 50	R 34 G 34 B 34
2	R 51 G 51 B 51	R 71 G 71 B 71	R 76 G 76 B 76	R 48 G 48 B 48	R 31 G 31 B 31
3	R 64 G 64 B 64	R 74 G 74 B 74	R 67 G 67 B 67	R 50 G 50 B 50	R 38 G 38 B 38
4	R 44 G 44 B 44	R 49 G 49 B 49	R 61 G 61 B 61	R 47 G 47 B 47	R 32 G 32 B 32

Gambar 40. Sampel Piksel Citra Grayscale

2. Dilakukan penghilangan noise menggunakan *Gaussian Blur*. Perhitungan ini merubah nilai piksel pada bagian tengah pada kernel dengan melakukan konvolusi menggunakan kernel *gaussian* yang selanjutnya dilakukan perhitungan nilai rata-rata dari hasil konvolusi. Nilai rata-rata tersebut yang selanjutnya akan mengganti nilai tengah matriks piksel citra asli. Sebagai contoh digunakan citra sampel citra seperti pada Gambar 40 diatas yang akan dilakukan konvolusi dengan kernel Gaussian 5x5.

$\frac{1}{256}$	$\begin{bmatrix} 1 & 4 & 6 & 4 & 1 \\ 4 & 16 & 24 & 16 & 4 \\ 6 & 24 & 36 & 24 & 6 \\ 4 & 16 & 24 & 16 & 4 \\ 1 & 4 & 6 & 4 & 1 \end{bmatrix}$	58	70	81	130	97
		34	36	42	50	34
		51	71	76	48	31
		64	74	67	50	38
		44	49	61	47	32

Gambar 41. Sampel Piksel Citra dan kernel *Gaussian*

Berikut ini merupakan piksel citra hasil konvolusi yang dapat dilihat pada Gambar 42 sebagai berikut :

0	1	2	2	0
1	2	4	3	1
1	7	11	5	1
1	5	6	3	1
0	1	1	1	1

Gambar 42. Piksel Citra Hasil Konvolusi

Dari keseluruhan piksel citra hasil konvolusi selanjutnya dilakukan perhitungan untuk mendapatkan nilai rata-rata. Hasil rata-rata yang didapatkan, digunakan untuk mengganti piksel yang berada di tengah pada piksel asli citra seperti pada Gambar 43.

$$\begin{aligned}
 F(1,1) &= \frac{60}{25} \\
 &= 2,4 \approx 2
 \end{aligned}$$

	0	1	2	3	4
0	58	70	81	130	97
1	34	36	42	50	34
2	51	71	2	48	31
3	64	74	67	50	38
4	44	49	61	47	32

Gambar 43. Piksel Citra Akhir Gaussian Blur

Berdasarkan perhitungan rata-rata kernel 5x5 pada bagian tengah atau koordinat (2,2) diperoleh hasil 2,4 atau jika dibulatkan menjadi 2.

3. Tahap perhitungan *Gradient*. Pada proses perhitungan gradien dilakukan untuk melakukan deteksi intensitas dan arah tepi menggunakan kernel *Sobel*. Konvolusi S_x dilakukan secara horizontal sedangkan S_y secara vertikal.

$$S_x = \begin{bmatrix} -1 & 0 & 1 \\ -2 & 0 & 2 \\ -1 & 0 & 1 \end{bmatrix} \quad \text{dan} \quad S_y = \begin{bmatrix} 1 & 2 & 1 \\ 0 & 0 & 0 \\ -1 & -2 & -1 \end{bmatrix}$$

Gambar 44. Kernel Sobel

Sumber: (Wardanu, 2009)

Diambil sampel pixel citra dari berukuran 3x3 yang telah dilakukan proses sebelumnya yang ditunjukkan pada Gambar 45 berikut. Sampel piksel citra tersebut akan dilakukan konvolusi dengan kernel Sobel yang telah ditunjukkan pada Gambar 45.

	0	1	2
0	58	70	81
1	34	58	42
2	51	71	2

Gambar 45. Sampel Piksel Citra 3x3

Berikut ini merupakan perhitungan sampel pixel citra yang dilakukan konvolusi dengan kernel Sobel.

$$S_x = (-1 \times 58) + (1 \times 81) + (-2 \times 34) + (2 \times 42) + (-1 \times 51) + (1 \times 2) \\ = -10$$

$$S_y = (1 \times 58) + (-1 \times 51) + (2 \times 70) + (-2 \times 71) + (1 \times 81) + (-1 \times 2) \\ = 84$$

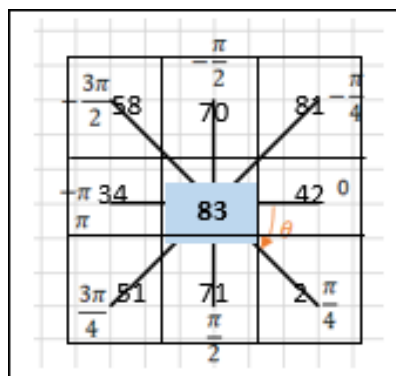
$$|S| = \sqrt{S_x^2 - S_y^2} = \sqrt{(-10)^2 - 84^2} = 83,402 \approx 83$$

Berdasarkan perhitungan yang telah dilakukan, maka nilai piksel yang gradien dapat dilihat pada Gambar 18 sebagai berikut.

	0	1	2
0	58	70	81
1	34	83	42
2	51	71	2

Gambar 46. Piksel Citra Hasil Konvolusi Sobel

- Tahap selanjutnya yaitu tahap *Non-Maximum Suppression* yang dilakukan untuk menipiskan garis dari hasil konvolusi *Sobel* untuk melakukan penghilangan nilai-nilai yang tidak maksimum. Jika piksel tersebut bukan merupakan nilai maksimal lokal pada arah tepi yang didapatkan dari konvolusi sobel maka tahap ini dilakukan dengan cara membuang potensi gradien di suatu piksel dari kandidat tepi. Pada Gambar 47 berikut ini merupakan contoh dari tahap *non-maximum suppression* pada sampel pixel dengan kernel 3x3 yang telah dilakukan tahap konvolusi *Sobel* sebelumnya.



Gambar 47. *Non-Maximum Suppression* pada Sampel Piksel Citra

Contoh dari proses *non-maximum suppression* dilakukan pada pixel yang ditandai kotak berwarna biru, yaitu pixel yang bernilai 83. Arah sudut dari

konvolusi *sobel* dibulatkan menjadi -40° sehingga *non-maximum suppression* yang dilakukan ke arah $-\frac{\pi}{4}$ seperti pada Gambar

	0	1	2
0	58	70	81
1	34	83	42
2	51	71	2

Gambar 48. Arah *Non-Maximum Supression*

Jika terdapat piksel tetangga pada arah yang sama bernilai lebih besar dari piksel yang sedang diproses, maka piksel yang diproses tersebut dilakukan perubahan menjadi 0. Sedangkan, jika piksel tetangga pada arah yang sama bernilai lebih kecil dari piksel yang sedang diproses, maka nilai piksel yang diproses tersebut dipertahankan, sehingga pixel 83 tetap dipertahankan.

5. Tahap *double threshold* bertujuan mengklasifikasi dua buah nilai, yaitu *High-threshold* (T2) dan *Low-threshold* (T1). Perhitungan T1 dan T2 dilakukan pada sampel pixel citra 3x3 yang sebelumnya telah dilakukan tahap *non-maximum suppression*, dimana pada tahap tersebut didapatkan nilai nilai piksel citra terbesar yaitu 83. Nilai *high threshold* diperoleh melalui perhitungan berikut:

$$\begin{aligned}
 T2 &= \text{nilai piksel terbesar} \times 0,09 \\
 &= 83 \times 0,09 \\
 &= 7,47 \approx 7
 \end{aligned}$$

Sedangkan nilai *low threshold* diperoleh melalui perhitungan berikut: T1 =

$$\begin{aligned}
 &T2 \times 0,05 \\
 &= 7,47 \times 0,05 \\
 &= 0,3735 \approx 0
 \end{aligned}$$

Dari perhitungan yang telah dilakukan dapat diketahui bahwa nilai *High-Threshold* yaitu 7 dan nilai *Low-Threshold* yaitu 0. Apabila nilai piksel ≥ 7

maka nilai piksel tersebut diatur kedalam nilai 255, sedangkan apabila nilai piksel ≤ 0 maka piksel tersebut diatur kedalam nilai 0. Untuk piksel yang memiliki nilai antara 1 dan 20 disebut kandidat piksel tepi maka sementara diatur kedalam nilai 128. Berikut ini merupakan hasil nilai pixel yang diperoleh dari proses *double thresholding* yang ditunjukkan pada Gambar 49.

	0	1	2
0	255	255	255
	255	255	255
1	255	255	128

Gambar 49. Piksel Citra Hasil *Double Threshold*

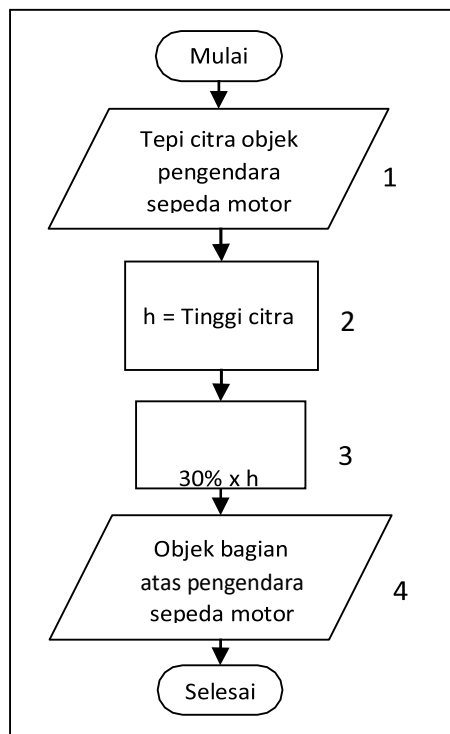
- Tahap *Edge Tracking by Hysteresis* memiliki tujuan untuk mendapatkan tepian final dengan menekan semua sisi yang tidak terhubung pada tepian yang sangat kuat. Pada tahapan sebelumnya yaitu *Double Threshold* didapatkan suatu piksel yang menjadi piksel kandidat yang bernilai 128. Piksel yang menjadi kandidat tersebut selanjutnya dilakukan pengecekan pada piksel dari 8 arah tetangganya, sehingga piksel hanya bernilai 0 atau 255. Perubahan nilai 128 menjadi nilai 255 apabila salah satu dan semua pixel pada 8 arah tetangganya bernilai 255. Maka didapatkan hasil akhir sampel piksel citra yang ditunjukkan pada Gambar 26 sebagai berikut :

	0	1	2
0	255	255	255
	255	255	255
1	255	255	255

Gambar 50. Piksel Citra Hasil *Edge Tracking by Hysteresis*

3.3.3.4. Region of Interest

Tahap *Region of Interest* atau biasa disingkat dengan ROI merupakan suatu proses untuk mendapatkan suatu area yang diamati atau area untuk lebih memfokuskan pada suatu area yang akan dilakukan tahapan berikutnya. Berdasarkan tahapan sebelumnya yaitu tahap deteksi tepi dengan algoritma Canny didapatkan hasil tepi dari citra objek pengendara sepeda motor. Citra tepi objek pengendara sepeda motor tersebut akan dilakukan proses perhitungan dengan *Region of Interest* atau area yang akan diamati yaitu bagian atas pengendara sepeda motor. Alur dari proses *Region of Interest* ditunjukkan oleh Gambar 51 sebagai berikut :



Gambar 51. Flowchart Pembuatan Region of Interest

Berdasarkan gambar *flowchart* diatas telah diketahui bagaimana proses dari ROI, berikut ini merupakan penjelasan lebih rinci dari alur kerja tersebut.

1. Masukan pada proses ROI ini merupakan objek pengendara sepeda motor yang telah dilakukan proses deteksi tepi.

2. Melakukan inialisasi h sebagai tinggi dari citra objek pengendara sepeda motor. Untuk mendapatkan area bagian atas pengendara sepeda motor tentu diperlukan suatu informasi dari citra yang menjadi masukan. Berikut ini merupakan sampel informasi dari citra pengendara sepeda motor yang ditunjukkan pada Gambar 52.

Image ID	
Dimensions	150 x 300
Width	150 pixels
Height	300 pixels

Gambar 52. Informasi Ukuran Citra

Berdasarkan Gambar 52 didapatkan informasi dari citra berupa tinggi (*height*) dan lebar (*width*) dari citra. Tinggi dari citra tersebut yaitu 300 piksel.

3. Melakukan perhitungan ROI dengan mengambil 30% dari ketinggian citra. Nilai 30% tersebut telah dilakukan pembuktian untuk menghasilkan area atas pengendara sepeda motor. Proses perhitungan dari ROI adalah sebagai berikut:

$$\begin{aligned}ROI &= 30\% \times h \\ &= 30\% \times 300 = 90\end{aligned}$$

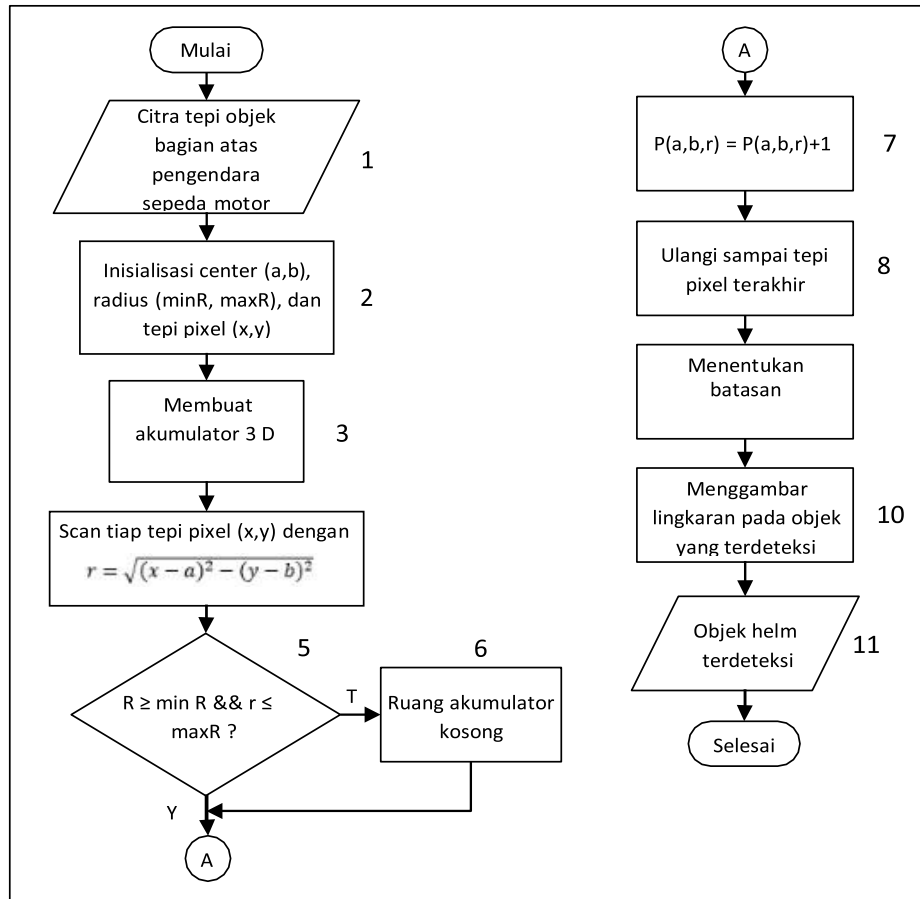
Dari hasil perhitungan tersebut dapat diketahui bahwa area bagian atas pengendara sepeda motor pada salah satu citra uji memiliki ketinggian sebesar 90 piksel.

4. Keluaran berupa tepi citra bagian atas pengendara sepeda motor.

3.3.3.5. Hough Circle Transform

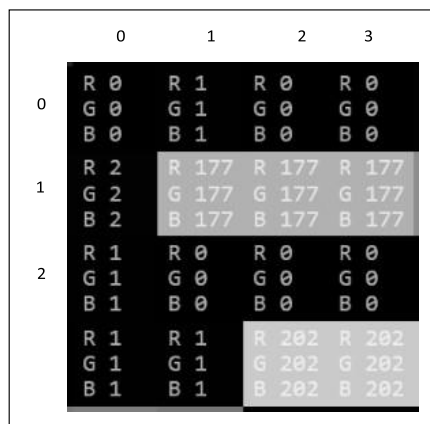
Setelah dilakukannya proses *Region of Interest* (ROI) untuk mendapatkan area atas pengendara sepeda motor. Tahapan selanjutnya yaitu dilakukan proses ekstraksi fitur dengan menggunakan algoritma *Hough Circle Transform* yang akan mendeteksi bentuk lingkaran yang merupakan bentuk dari helm pada citra objek

bagian atas pengendara sepeda motor yang berbentuk tepian citra. Alur dari metode *Hough Circle Transform* ditunjukkan ada Gambar 53 sebagai berikut :



Gambar 53. Flowchart *Hough Circle Transform*

1. Masukan berupa tepi objek citra bagian atas pengendara sepeda motor yang ditunjukkan seperti pada Gambar berikut.



Gambar 54. Sampel Pixel Tepi Citra

2. Dilakukan proses pengambilan dua buah titik koordinat piksel (x_i, y_i) secara acak seperti yang ditunjukkan pada Gambar 55 berikut.

x \ y	0	1	2	3
0	0	1	0	0
1	2	177	177	177
2	1	0	0	0
3	126	118	1	1

Gambar 55. Contoh Pengambilan Titik koordinat

Berdasarkan Gambar 55 diketahui bahwa kotak yang berwarna biru merupakan piksel tepi dari citra. Diambil contoh titik koordinat dari piksel tepi citra secara acak antara lain titik koordinat (1,1) dan (1,3). Titik koordinat tersebut akan dilakukan perhitungan untuk mendapatkan titik pusat (center a,b). Perhitungan untuk mendapat titik center adalah sebagai berikut :

$$(x_1, y_1) = (1,1)$$

$$(x_2, y_2) = (1,3)$$

$$a = \frac{(x_1 + x_2)}{2}, b = \frac{(y_1 + y_2)}{2}$$

$$a = \frac{(1 + 1)}{2} = 1$$

$$b = \frac{(1 + 3)}{2} = 2$$

$$(a, b) = (1,2)$$

Berdasarkan hasil perhitungan titik center didapatkan (a,b) yaitu titik (1,2). Selanjutnya dilakukan perhitungan untuk mendapatkan nilai radius yang merupakan jari-jari untuk membuat sebuah lingkaran.

$$r = \sqrt{(x_i - a)^2 + (y_i - b)^2}$$

$$r = \sqrt{(1 - 1)^2 + (1 - 2)^2} = 1$$

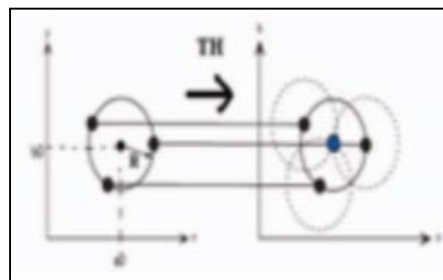
- Selanjutnya dilakukan perhitungan untuk mencari jarak dari satu lingkaran dengan lingkaran lainnya.

$$d = (x - a)^2 + (y - b)^2 - r^2$$

$$d = (1 - 1)^2 + (1 - 2)^2 - 1^2 = 0$$

Berdasarkan perhitungan yang dilakukan didapatkan jarak untuk pembuatan lingkaran dengan jarak yang bernilai 0.

- Menentukan nilai dari Rmax yaitu batas jari-jari lingkaran maksimum dan Rmin yaitu batas jari-jari lingkaran minum. Diambil contoh nilai dari Rmin yaitu 0 dan Rmax yaitu 20.
- Membuat ruang akumulator lingkaran P(a,b,r) berdasarkan nilai dari center dan radius. Dari hasil kedua perhitungan diatas, didapatkan nilai dari titik center (a,b) yaitu (1,2) r yaitu 1. Karena nilai r lebih besar dari Rmin dan r lebih kecil dari nilai Rmax ($Rmin \leq r \leq Rmax$). Maka dibuatlah sebuah gradient lingkaran berdasarkan titik tengah dan jari-jari yang didapatkan dan jarak antara lingkaran yang dibuat ini dengan yang dibuat selanjutnya berjarak 0.
- Jika Karena nilai r lebih kecil dari Rmin dan r lebih besar dari nilai Rmax atau dengan kata lain nilai r tidak masuk kedalam *range* dari Rmax dan Rmin, maka ruang akumulator lingkaran kosong atau tidak dibuat.
- Proses perhitungan titik center dan r serta penggambaran ini dilakukan sampai piksel terakhir dari citra.
- Dari semua lingkaran yang dibuat pada ruang akumulator P(a,b,r) nilai a,b,r yang memiliki nilai maksimum merupakan lingkaran yang terbaik. Maka nilai dari P(a,b,r) maksimum ini yang akan digambarkan sebagai lingkaran.



Gambar 56. Proses Penggambaran Lingkaran Sumber :
(Pathasu & Klubsuwan, 2016)

9. Menampilkan hasil objek citra yang diberi gambar lingkaran pada bagian atas pengendara sepeda motor, hal tersebut menandakan bahwa objek yang terdeteksi adalah pengendara sepeda motor yang menggunakan helm.

3.3.4. Desain Layout

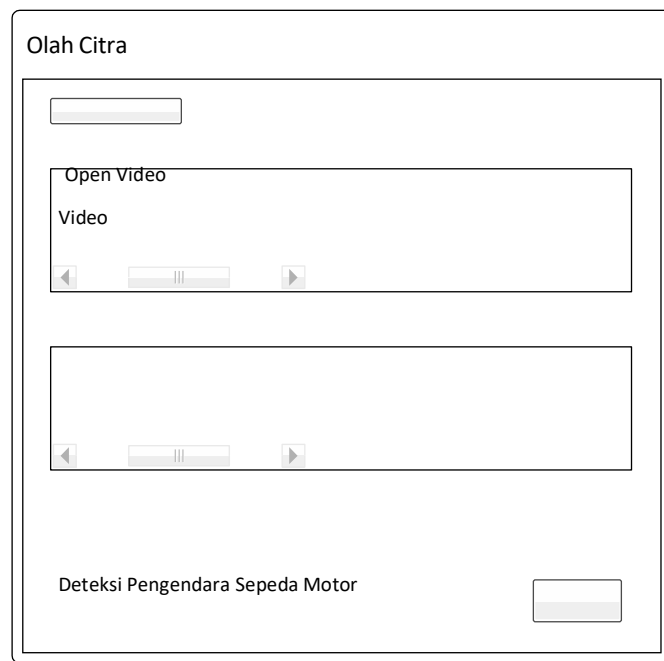
Berikut ini merupakan pembangunan tampilan program atau user interface untuk dijalankan pada sistem identifikasi penggunaan helm pada pengendara sepeda motor.

1. Layout Form Tampilan Awal

Nama Dialog : Form Tampilan Awal

Fungsi : Menampilkan halaman awal aplikasi

Bentuk : <<Gambar 57>>



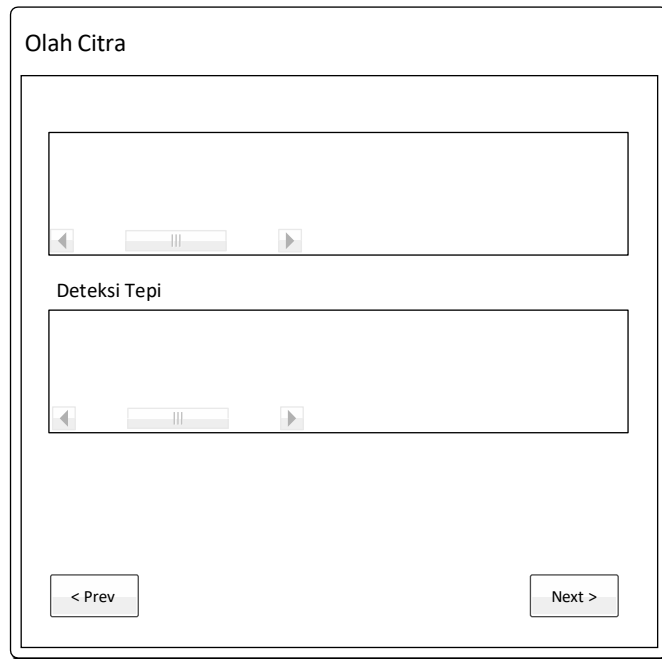
Gambar 57. *Layout Form Tampilan Awal*

2. Layout Form Tampilan Lanjutan Pertama

Nama Dialog : Form Tampilan Lanjutan Pertama

Fungsi : Menampilkan halaman lanjutan dari form tampilan awal

Bentuk : <<Gambar 12>>



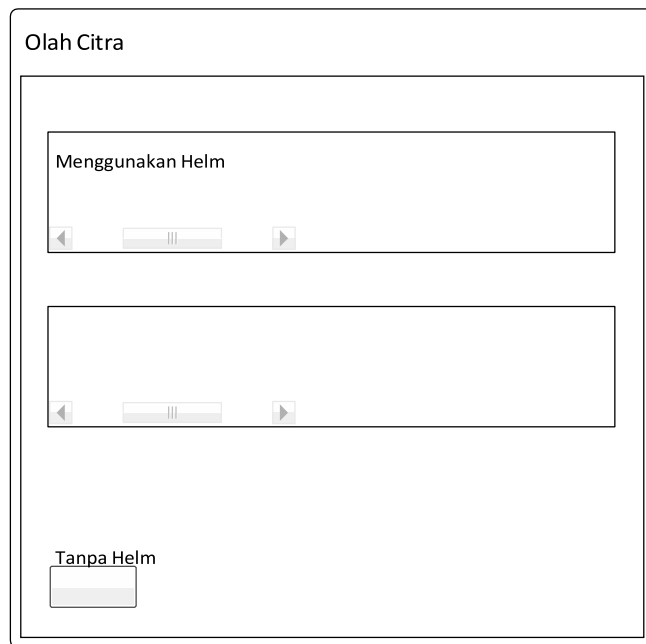
Gambar 58. *Layout Form Tampilan Lanjutan Pertama*

3. Layout Form Tampilan Lanjutan Pertama

Nama Dialog : Form Tampilan Lanjutan Pertama

Fungsi : Menampilkan halaman lanjutan dari form sebelumnya

Bentuk : <<Gambar 59>>



Gambar 59. *Layout Form Tampilan Lanjutan Kedua*

BAB IV IMPLEMENTASI DAN PENGUJIAN

4.1. Implementasi

Pada subbab ini menjelaskan implementasi dari hasil penelitian antara lain adalah perangkat yang digunakan, instalasi sistem, pengoperasian dan pengambilan data. Setelah dilakukan pembangunan sistem, kemudian dilakukan implementasi sistem dengan kata lain dilakukan pembuatan *script code* atau pemrograman pada sistem identifikasi pengendara sepeda motor tanpa helm. Pembuatan aplikasi ini menggunakan bahasa pemrograman Java, pada pembuatan aplikasi ini menggunakan metode pengembangan sistem *prototype*.

4.2. Penyempurnaan Prototype (Refining Prototype)

Pada tahap ini dilakukan Penyempurnaan *prototype* jika perancangan ada yang kurang atau tidak tepat dari hasil evaluasi pelanggan, jika terjadi ketidaksesuaian perancangan dengan tujuan awal maka perancangan akan diperbaiki dan mengulang dari tahap desain cepat. Tahap pengembangan sistem diulang sampai hasil yang mendekati atau dinyatakan selesai. Berikut adalah hasil evaluasi yang telah dilakukan.

Penggunaan *packages* tambahan akan menambah performa dan keefektifan sistem. Salah satunya yaitu OpenCV yang merupakan standard library dari pemrograman Java sehingga mendukung pembuatan dan jalannya sistem.

4.2.1 Perangkat yang digunakan

Untuk dapat membuat sistem aplikasi sistem identifikasi pengendara sepeda motor tanpa helm, maka beberapa proses dilakukan antara lain melalui tahapan pengolahan video dengan pengolahan citra digital untuk mendapatkan identifikasi pengendara sepeda motor yang setelah itu dapat dilakukan identifikasi penggunaan helm.

Berikut ini adalah spesifikasi komputer yang digunakan untuk mendukung pembangunan sistem.

Sistem Operasi : *Windows 10 Enterprise 64 Bit*

Processor : *AMD FX-7500 R7, 10 Compute Cores 4C+6G*

RAM : 16 GB

4.2.2. Pembuatan Data Latih Haar Cascade

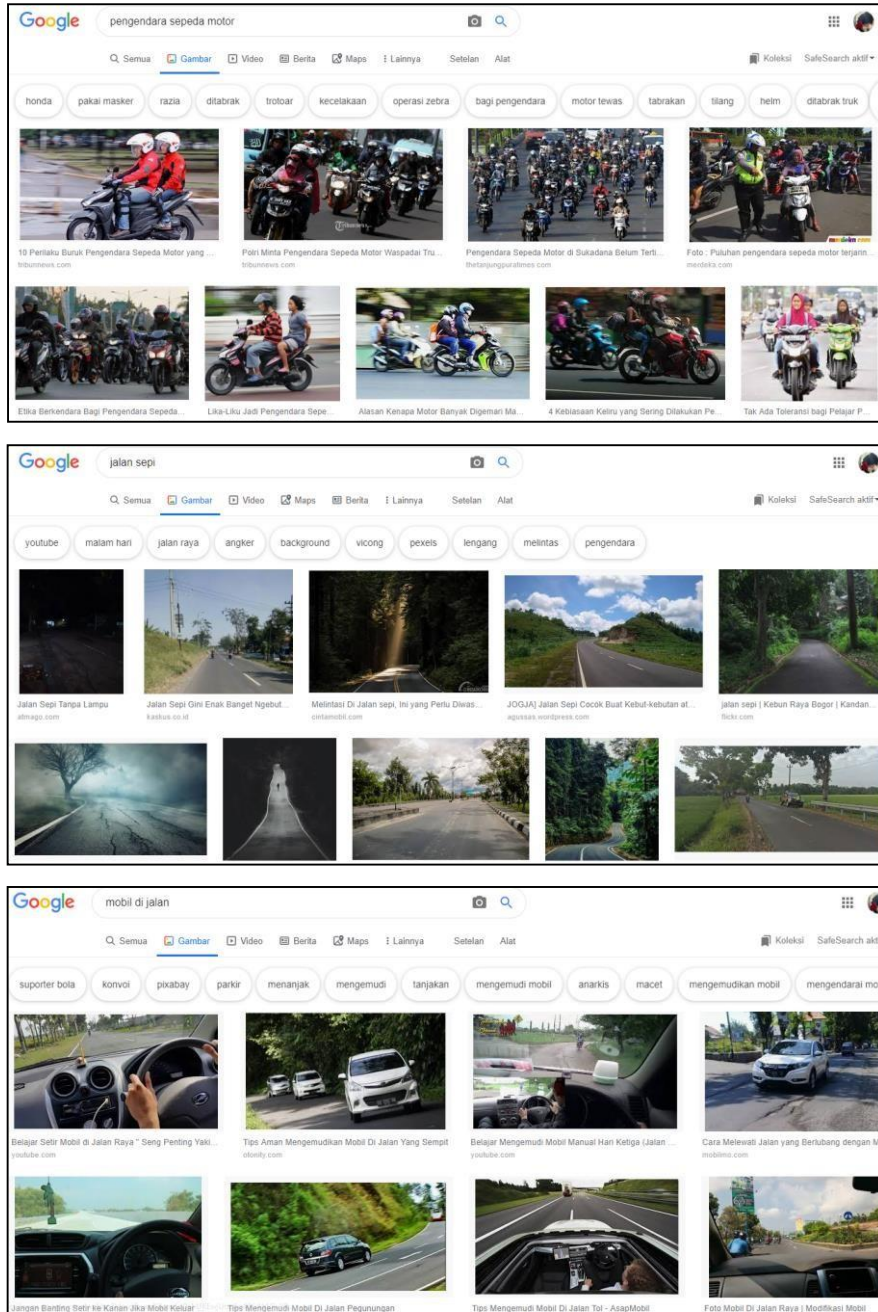
Sebelum masuk ke proses pendeteksian objek citra dengan menggunakan metode Haar Cascade, terlebih dahulu dilakukan pembuatan data latih dari mulai pengumpulan dataset dan proses training yang akan menghasilkan file .xml dimana file tersebut merupakan data latih untuk tahapan Haar Cascade.

4.2.3. Pengumpulan Dataset

Pada tahap ini dilakukan proses pengumpulan dan pembuatan dataset berupa gambar yang di dapat dari *google image* yang digunakan untuk pembuatan data positif dan data negatif. Program javascript dan python untuk mengumpulkangambar dari *google image*. Pada program javascript ditujukan untuk mengambil URL gambar yang ada di google image kemudian program python yang akan melakukan eksekusi untuk mendownload gambar tersebut. Pengambilan gambar pada google image dilakukan dengan menggunakan program javascript library jQuery untuk mendapatkan URL image yang akan dijadikan dataset. Library jQuery merupakan library javascript yang cepat, kecil, dan terdapat banyak fitur lainnya

Adapun beberapa langkah dalam mendapatkan URL image menggunakan javascript library jQuery pada google chrome :

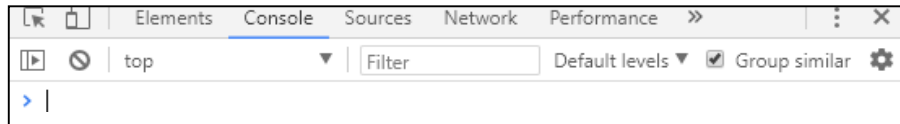
1. Memasukkan query pada google image dalam hal ini yang akan dipakai adalah istilah query “pengendara sepeda motor” untuk data positif, “jalan sepi” dan “mobil di jalan” untuk data negatif seperti berikut:



Gambar 60. Query Gambar Untuk Dataset

2. Mengumpulkan URL gambar yang akan di download menggunakan program python. Setelah melakukan search gambar sampai batas yang ditentukan dapat membuka *developer tools – console* dengan mengetikkan Ctrl+Shift+i pada keyboard.

Gambar 61. Developer tools – console



3. Memasukkan kode berikut pada console google chrome untuk mendapatkan URL gambar.

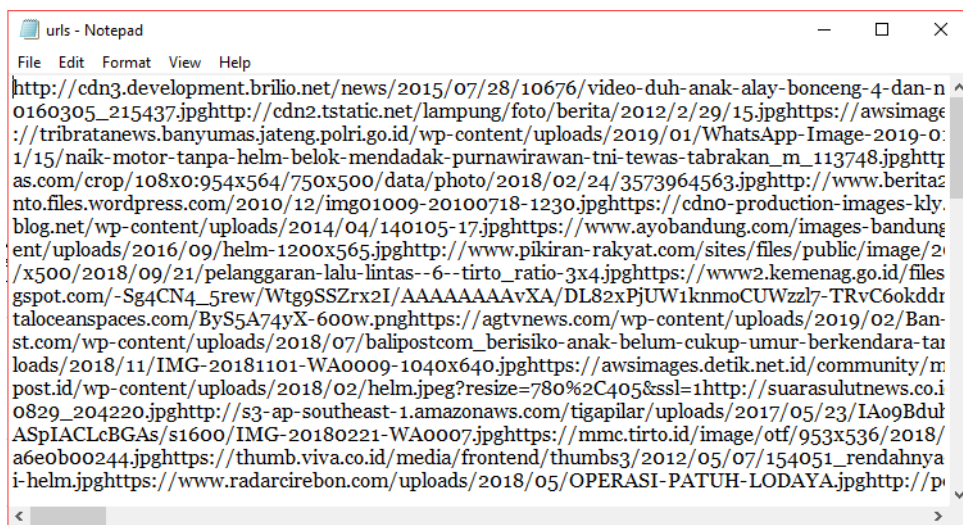
```

1 // pull down jquery into the JavaScript console
2 var script = document.createElement('script');
3 script.src = "https://ajax.googleapis.com/ajax/libs/jquery/2.2.0/jquery.min.js";
4 document.getElementsByTagName('head')[0].appendChild(script);
5
6 // grab the URLs
7 var urls = $('img, video').map(function() { return JSON.parse($(this).text()).ou; });
8
9 // write the URLs to file (one per line)
10 var textToSave = urls.toArray().join('\n');
11 var hiddenElement = document.createElement('a');
12 hiddenElement.href = 'data:attachment/text,' + encodeURIComponent(textToSave);
13 hiddenElement.target = '_blank';
14 hiddenElement.download = 'urls.txt';
15 hiddenElement.click();

```

Gambar 62. Download URL pada Console

Berikut ini merupakan hasil download file URL bernama urls.txt yang berisikan link-link dari gambar yang akan didownload.



Gambar 63. Hasil download URL

4. Sebelumnya, telah dilakukan proses hasil download file urls melalui javascript. Program python digunakan untuk mendownload gambar dari masing-masing urls. Adapun file .py yang berisikan kode untuk mendownload seluruh gambar pada urls yang tersedia dengan nama download.py adalah sebagai berikut.

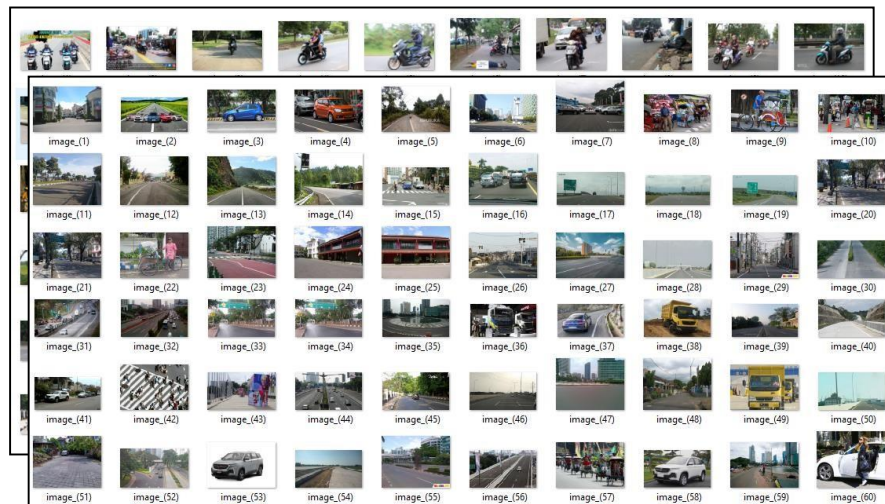
```
1  from imutils import paths
2  import argparse
3  import requests
4  import cv2
5  import os
6
7  # construct the argument parse and parse the arguments
8  ap = argparse.ArgumentParser()
9  ap.add_argument("-u", "--urls", required=True, help="path to file containing image URLs")
10 ap.add_argument("-o", "--output", required=True, help="path to output directory of images")
11 args = vars(ap.parse_args())
12
13 # grab the list of URLs from the input file, then initialize the
14 # total number of images downloaded thus far
15 rows = open(args["urls"]).read().strip().split("\n")
16 total = 0
17
18
19
20
21
22
23
24
25
26
27
28
29
30
31
32
33
34
35
36
37
38
39 # loop the URLs
40 for url in rows:
41     try:
42         # try to download the image
43         r = requests.get(url, timeout=60)
44
45         # save the image to disk
46         p = os.path.sep.join([args["output"], "{}.jpg".format(
47             str(total).zfill(8))])
48         f = open(p, "wb")
49         f.write(r.content)
50         f.close()
51
52         # update the counter
53         print("[INFO] downloaded: {}".format(p))
54         total += 1
55
56     # handle if any exceptions are thrown during the download process
57     except:
58         print("[INFO] error downloading {}...skipping".format(p))
```

Gambar 64. Script Download URL pada Python

5. Berdasarkan script diatas, pada kode perulangan download URL digunakan untuk melakukan download dari sebuah URL yang telah didownload dan selanjutnya gambar-gambar pada URL tersebut akan disimpan pada sebuah disk komputer secara bertahap. Setelah melakukan running script pada python maka akan terbentuk sebuah dataset berupa pengendara sepeda motor untuk data file positif dan dataset negatif berupa gambar background atau gambar selain objek pengendara sepeda motor yang diambil dari hasil download melalui javascript seperti proses diatas dan penambahan gambar

lainnya dengan download manual. Berikut merupakan dataset yang terbentuk yaitu citra pengendara sepeda motor untuk data file positif yang berjumlah 500 dan citra background untuk data file negatif yang berjumlah 250.

Gambar 65. Dataset File Positif

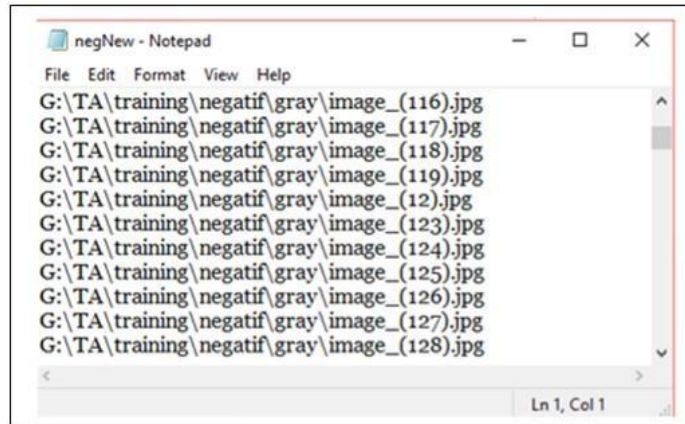


Gambar 66. Dataset File Negatif

4.2.4. Proses Pelatihan

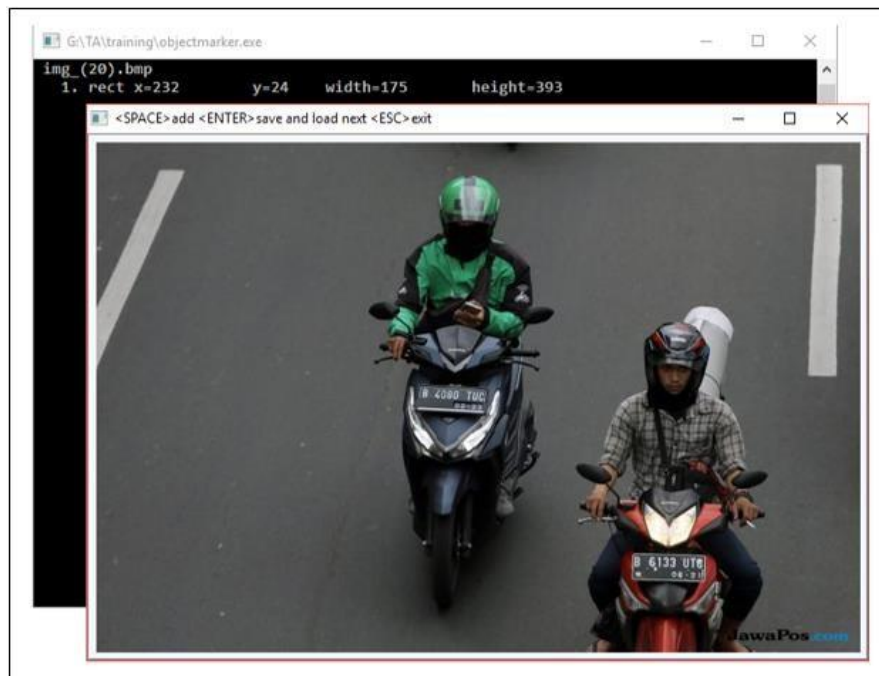
Setelah dilakukan pengumpulan dataset gambar untuk pembuatan file positif dan negatif, maka selanjutnya dilakukan proses pelatihan Haar Cascade. Tahapan-tahapan dalam proses pelatihan Haar Cascade adalah sebagai berikut :

1. Pembuatan *file* negatif dilakukan dengan melakukan *listing* untuk mendapatkan *fullpath* dari *file* negatif.



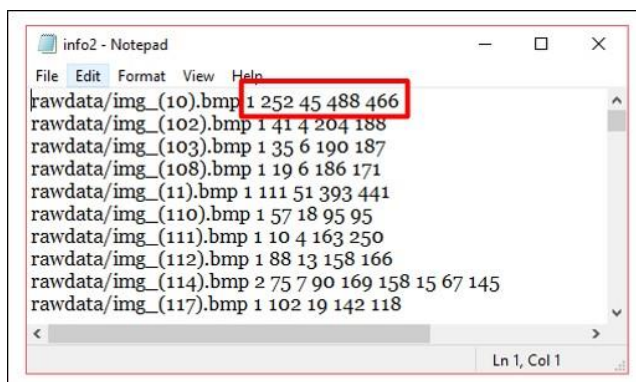
Gambar 67. Listing fullpath file negatif

2. Pembuatan file positif dilakukan dengan melakukan penandaan objek pada file positif dilakukan menggunakan aplikasi *objectmarker*. Aplikasi ini akan mengambil setiap data gambar berformat .bmp dalam folder bernama "rawdata" yang disimpan dalam direktori yang sama dengan aplikasi tersebut.



Gambar 68. Penandaan Objek Dataset Pengendara Sepeda Motor

Jika objek pada gambar sudah ditandai, selanjutnya ditekan tombol spasi pada *keyboard* untuk menambahkan data nilai dari objek tersebut secara otomatis. Adapun data nilai yang diperoleh yaitu koordinat (x,y), panjang, dan lebar dari objek. Jika ingin menandai objek pada gambar berikutnya, maka ditekan tombol *enter*. Jika seluruh gambar dalam folder sudah ditandai, maka aplikasi *objectmarker* akan keluar dengan sendirinya dan menyimpan data nilai-nilai objek dalam sebuah file teks bernama “info.txt”. Dari semua dataset pengendara sepeda motor yang ada, pembuatan data file positif menjadi 88 file. Hal tersebut dikarenakan tidak semua posisi objek pengendara sepeda motor dalam posisi yang pas untuk dijadikan file positif.



Gambar 69. Data Nilai-Nilai Objek Pengendara Sepeda Motor

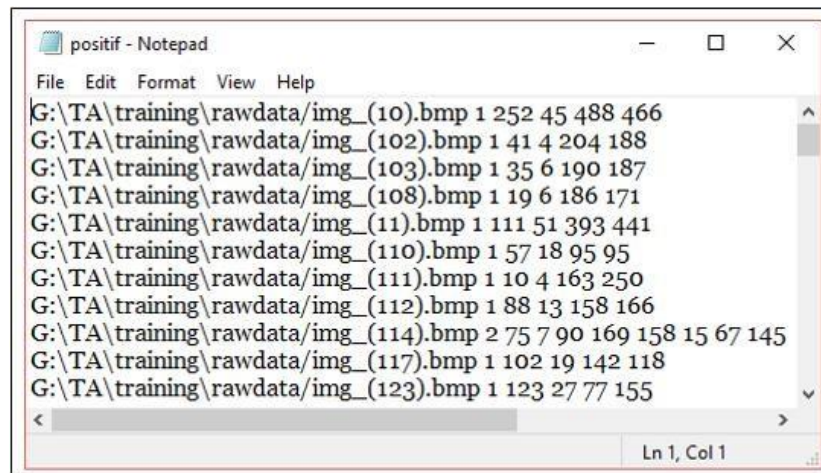
Informasi yang terdapat pada nilai objek dataset kantung mata ditunjukkan pada Tabel 3.

Tabel 3. Informasi Nilai Objek Dataset Pengendara Sepeda Motor

Angka	Informasi
1	Jumlah objek yang ditandai dalam satu foto. Maka dalam foto kantung mata dark10.bmp terdapat 2 objek yang ditandai
252	Koordinat x objek pertama. Objek pertama dark10.bmp terletak pada koordinat x = 103
45	Koordinat y objek pertama. Objek pertama dark10.bmp terletak pada koordinat y = 294. Maka, koordinat objek yaitu (103,294)

488	Menunjukkan panjang pixel, maka objek pertama dark10.bmp memiliki panjang 361 pixel
466	Menunjukkan lebar pixel, maka objek pertama dark10.bmp memiliki lebar 253 pixel

- Dilakukan *listing* untuk mendapatkan *fullpath* dari *file* positif (dengan nilai objek).



```

positif - Notepad
File Edit Format View Help
G:\TA\training\rawdata\img_(10).bmp 1 252 45 488 466
G:\TA\training\rawdata\img_(102).bmp 1 41 4 204 188
G:\TA\training\rawdata\img_(103).bmp 1 35 6 190 187
G:\TA\training\rawdata\img_(108).bmp 1 19 6 186 171
G:\TA\training\rawdata\img_(11).bmp 1 111 51 393 441
G:\TA\training\rawdata\img_(110).bmp 1 57 18 95 95
G:\TA\training\rawdata\img_(111).bmp 1 10 4 163 250
G:\TA\training\rawdata\img_(112).bmp 1 88 13 158 166
G:\TA\training\rawdata\img_(114).bmp 2 75 7 90 169 158 15 67 145
G:\TA\training\rawdata\img_(117).bmp 1 102 19 142 118
G:\TA\training\rawdata\img_(123).bmp 1 123 27 77 155
Ln 1, Col 1

```

Gambar 70. Listing Fullpath File Negatif

- File positif yang telah di-list kemudian diubah menjadi *file* vector untuk memperoleh piksel dari objek.

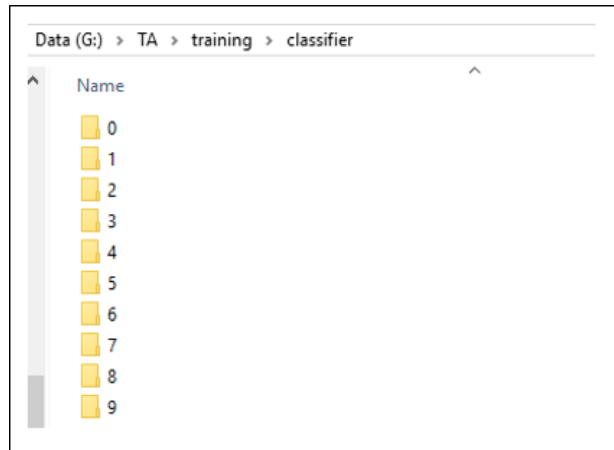
```

Info file name: positif.txt
Img file name: (NULL)
Vec file name: samples.vec
BG file name: (NULL)
Num: 88
BG color: 0
BG threshold: 80
Invert: FALSE
Max intensity deviation: 40
Max x angle: 1.1
Max y angle: 1.1
Max z angle: 0.5
Show samples: FALSE
Original image will be scaled to:
    Width: $backgroundWidth / 24
    Height: $backgroundHeight / 24
Create training samples from images collection...
Done. Created 88 samples

```

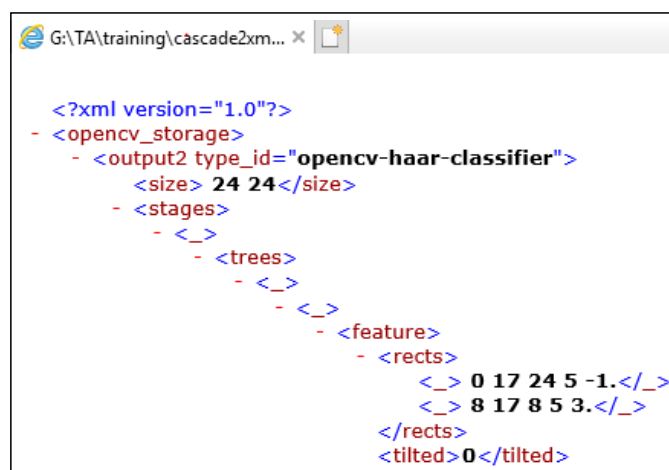
Gambar 71. Proses Pembuatan File Samples.vec

5. Dilakukan proses *haartraining* dari *file samples vector* dan *file negatif* untuk menghasilkan *file classifier* yang akan digunakan untuk deteksi objek.



Gambar 72. File Classifier dari Proses Haar Training

Proses ini menggunakan file *samples.vec* dan gambar-gambar pada listing file *negNew.txt* sebagai latar (bukan objek). Pada proses tertera bahwa panjang dan lebar area deteksi yaitu 24×24 *pixel* dan *stage* yang digunakan yaitu 10 *stage* sehingga *training* akan dilakukan 10 kali dimulaidari stage 0. Dalam proses tertera bahwa jumlah file positif yang digunakan yaitu 88 dan file negatif yang digunakan sebanyak 250. Proses *haartraining* menghasilkan classifier yang siap digunakan untuk deteksi objek dalam bentuk file xml. Adapun hasil classifier tersebut ditunjukkan pada Gambar 73.



Gambar 73. File XML Classifier

4.3. Pengujian Sistem

Pada Subbab ini dijelaskan hasil pengujian fungsionalitas dengan menggunakan metode alpha test terhadap beberapa fungsi atau fasilitas yang ada pada sistem identifikasi penggunaan helm pada pengendara sepeda motor. Berikut ini merupakan daftar pengujian yang dilakukan terlihat pada Tabel 4

Tabel 4. Daftar Pengujian Sistem

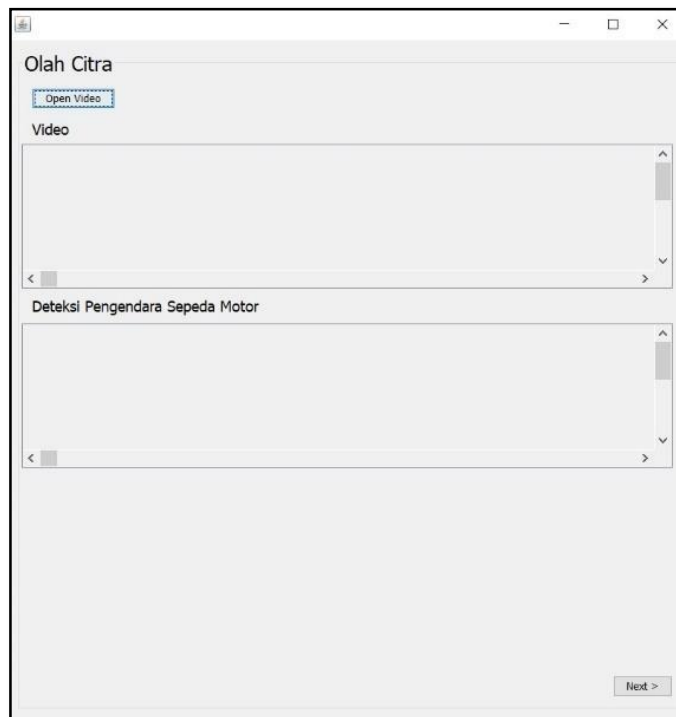
No. Uji	Skenario Pengujian	Hasil yang Diharapkan
Uji-01	Melakukan proses frame divider untuk mengekstrak video menjadi frame-frame citra	Video yang berupa masukan sistem akan diekstrak menjadi frame-frame
Uji-02	Melakukan tahapan pengolahan citra dengan menggunakan Haar Cascade	Frame-frame akan dilakukan proses Haar Cascade sehingga objek pengendara sepeda motor dapat terdeteksi
Uji-03	Melakukan tahapan pengolahan citra dengan menggunakan Cropping	Objek pengendara sepeda motor yang telah terdeteksi pada frame dapat dilakukan pemotongan citra
Uji-04	Melakukan tahapan pengolahan citra dengan menggunakan ROI	Citra pengendara sepeda motor dilakukan perhitungan untuk menentukan bagian atas pengendara sepeda motor yang kemudian dilakukan pemotongan citra
Uji-05	Melakukan tahapan pengolahan citra dengan menggunakan Canny Edge Detection	Citra bagian atas pengendara sepeda motor dilakukan proses deteksi tepi dengan Canny yang diantaranya proses tersebut antara lain Grayscale, Gaussian Blur dan Thresholding sehingga didapatkan tepian dari citra
Uji-06	Melakukan tahapan penolakan citra dengan menggunakan HCT	Citra hasil dari proses sebelumnya dilakukan perhitungan untuk pencarian lingkaran yang merupakan bentuk dari helm sehingga didapatkan objek citra berupa helm dan bukan helm

Berdasarkan Tabel 4, ditunjukkan daftar fungsionalitas sistem identifikasi penggunaan helm pada pengendara sepeda motor yang akan diuji tingkat keberhasilan fungsi tersebut dengan metode alpha-test.

4.3.1. Implementasi

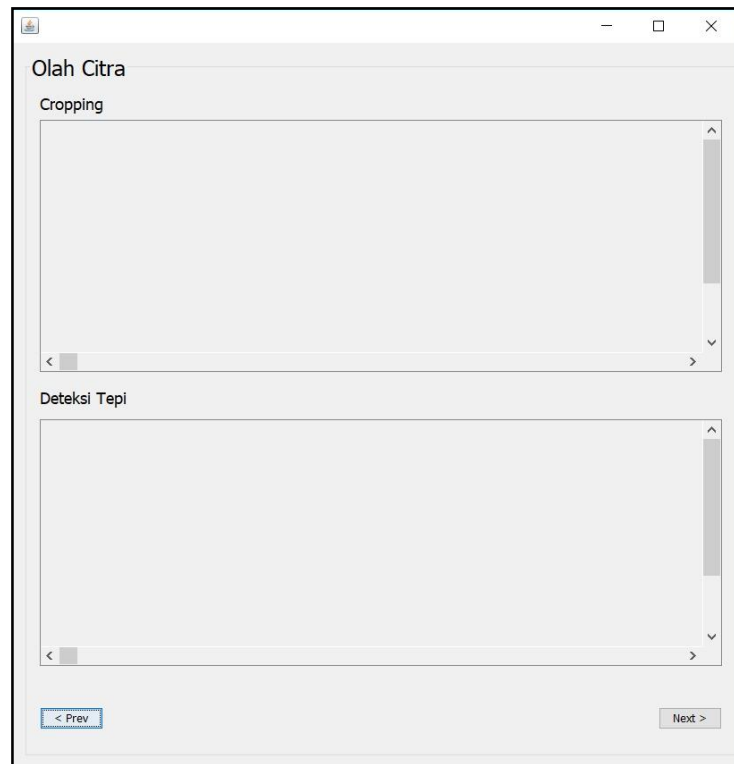
Implementasi pada sistem dilakukan dengan tujuan untuk dapat melakukan tahapan awal pada aplikasi sistem identifikasi penggunaan helm pada pengendara sepeda motor. Tahapan pada aplikasi sistem identifikasi penggunaan helm pada pengendara sepeda motor ini ditampilkan pada form-form aplikasi. Dalam sistem identifikasi ini terdapat tahapan inti dalam melakukan pengolahan citra digital sebanyak 6 tahapan yaitu tahapan *Frame Divider*, *Grayscale*, *Haar Cascade*, *Cropping*, *Canny Edge Detection*, *Region of Interest (ROI)* dan *Hough Circle Transform (HCT)*.

Berikut ini merupakan implementasi dari form form pada aplikasi yang dibuat berdasarkan desain layout yang telah dibuat sebelumnya pada Bab III Subbab 3.3.4. Pada Gambar ditunjukkan tampilan form ini dapat dilihat terdapat dua buah tombol yaitu "Open Video" yang digunakan untuk membuka file video yang menjadi masukan sistem dan tombol "Next" untuk ke tampilan form berikutnya. Selanjutnya terdapat dua buah panel untuk menampilkan hasil video yang diubah ke dalam frame citra dan hasil deteksi pengendara sepeda motor.



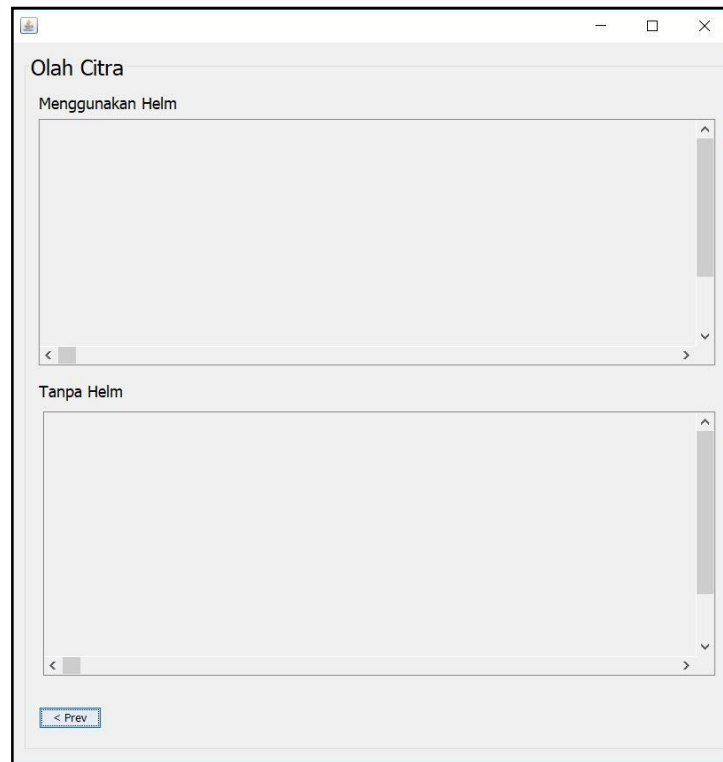
Gambar 74. Tampilan *Form* Awal Aplikasi

Tampilan form ke-2 pada aplikasi memiliki dua buah panel yang untuk menampilkan hasil dari *cropping* dan hasil deteksi tepi, serta terdapat dua buah tombol yaitu “Next” untuk pergi melihat ke form selanjutnya dan “Prev” untuk pergi melihat ke form sebelumnya. Tampilan form ke-2 dapat ditunjukkan pada Gambar75.



Gambar 75. Tampilan *Form* Ke-2 Aplikasi

Berikut ini merupakan tampilan form ke-3 dari aplikasi yang merupakan *form* terakhir. Pada *form* tersebut memiliki satu buah tombol “Prev” untuk kembalike *form* sebelumnya. Pada *form* ke-3 ini pun memiliki dua buah panel yang berguna untuk menampilkan hasil proses dari citra objek pengendara sepeda motor yang menggunakan helm dan untuk menampilkan citra objek pengendara yang tidak menggunakan helm. Tampilan *form* ke-3 pada aplikasi ditunjukkan pada Gambar 76 sebagai berikut :

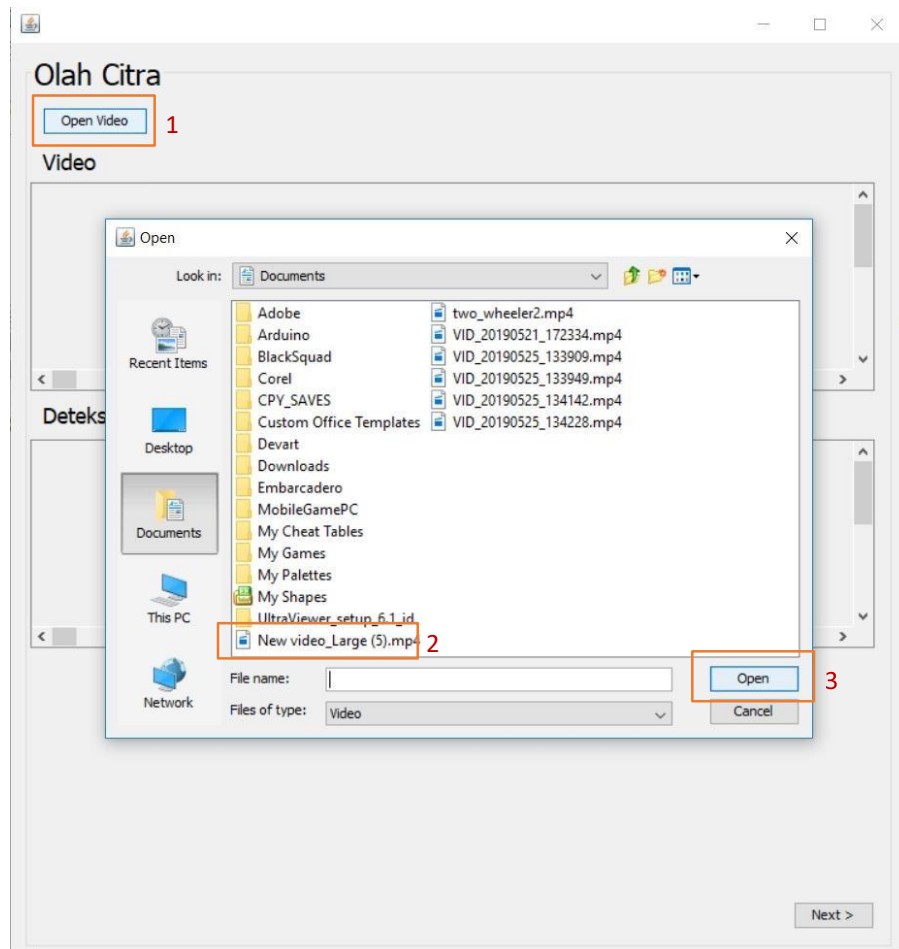


Gambar 76. Tampilan Form Ke-3 Aplikasi

Berdasarkan gambar-gambar diatas yang merupakan tampilan-tampilan form pada aplikasi ditunjukkan hasil implementasi dari aplikasi sistem identifikasi penggunaan helm pada pengendara sepeda motor sesuai dengan dari *design layout* yang telah dirancang sebelumnya. Adapun fungsi dari setiap tahapan sistem aplikasi pengolahan citra digital yang terdapat pada form awal tersebut dengan alur sebagai berikut :

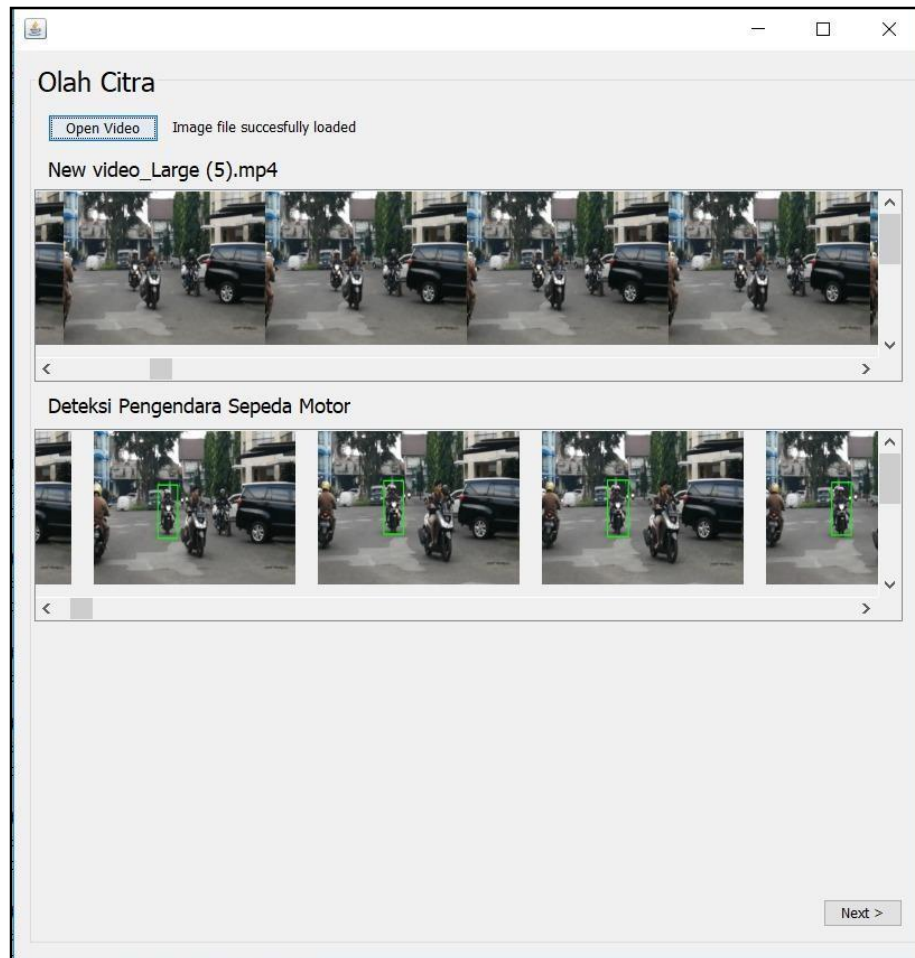
1. User dapat melakukan pemilihan data video yang akan diuji oleh sistem.

Proses user dapat menekan tombol "Open Video" dan selanjutnya sistem akan menampilkan *path* yang dimana merupakan tempat file video disimpan. Kemudian user dapat memilih file video yang akan dijadikan sebagai masukan atau data uji pada aplikasi. Proses *open file* dan *load file* video pada aplikasi ditunjukkan oleh Gambar 77 sebagai berikut.



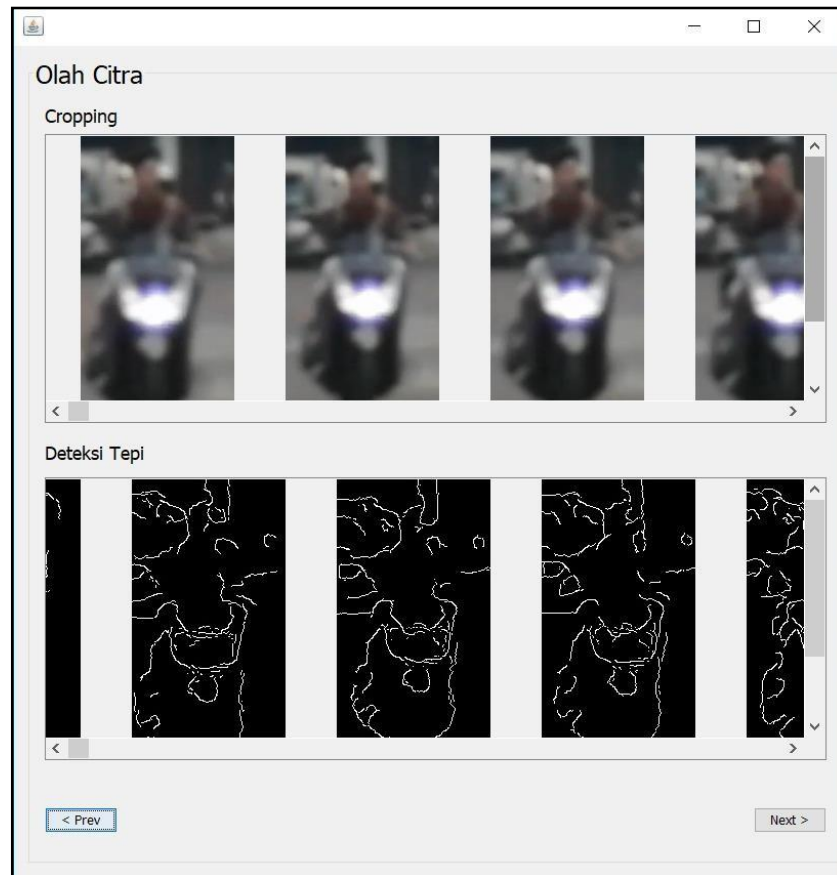
Gambar 77. Tampilan *Open* dan *Load File Video*

2. Sistem menampilkan *file name* video yang menjadi masukan pada aplikasi. Video yang menjadi data uji tersebut kemudian dilakukan proses *Frame Divider* atau melakukan ekstrak dari video menjadi frame-frame citra dan akan menampilkan hasil tersebut pada panel. *Frame-frame* citra tersebut kemudian dilakukan proses *grayscale* agar citra dari RGB dapat dikonversi menjadi citra keabuan, dimana hasil citra tersebut yang menjadi masukan dari proses selanjutnya. Proses kedua dilakukan yaitu melakukan proses deteksi objek pengendara sepeda motor dengan menggunakan Haar Cascade. Objek pengendara sepeda motor yang terdeteksi pada citra diberi tanda dengan bentuk persegi berwarna hijau yang ditampilkan pada panel deteksi pengendara sepeda motor. Berikut ini merupakan tampilan dari proses pada form pertama aplikasi ditunjukkan pada Gambar 78.



Gambar 78. Tampilan Proses *Frame Divider* dan *Haar Cascade*

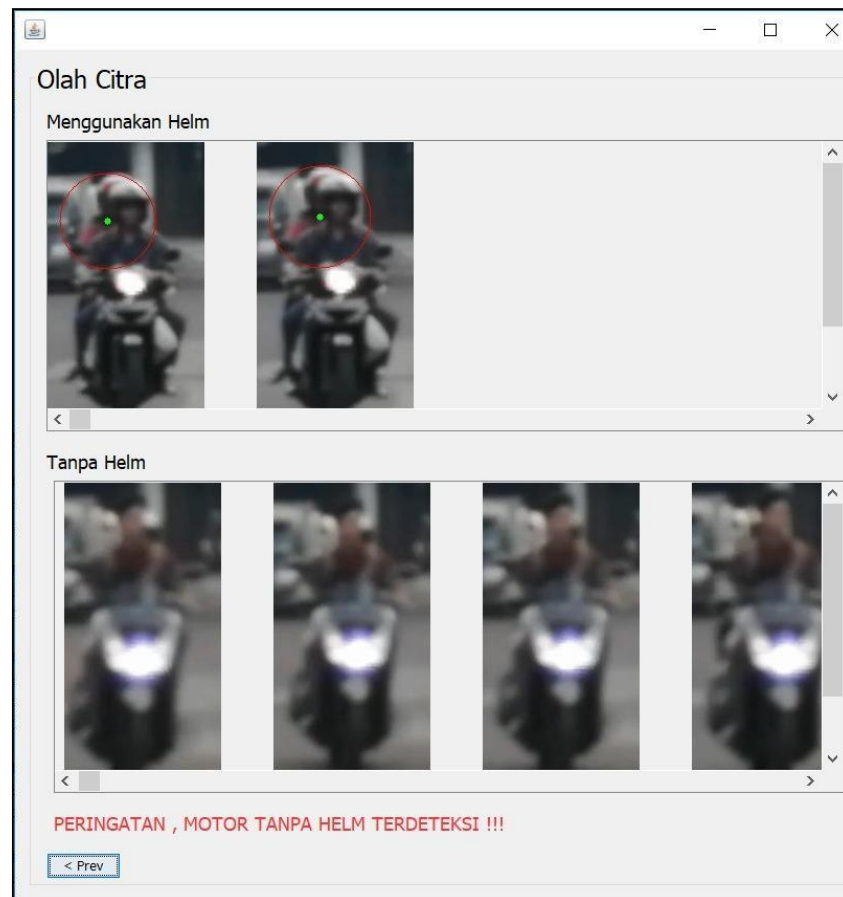
3. Berdasarkan tampilan *form* diatas terdapat tombol untuk menuju ke form selanjutnya yaitu *form* ke-2 aplikasi. Pada form ke-2 ini dilakukan dua proses yaitu proses *Cropping* untuk memotong bagian hanya objek pengendara sepeda motor pada citra dan akan menampilkan hasil tersebut pada panel *Cropping*. Proses selanjutnya yaitu dilakukan proses *Canny Edge Detection* untuk mendapatkan tepian dari objek citra dan akan menampilkan hasil proses tersebut pada panel deteksi tepi. Berikut ini merupakan tampilan dari proses pada form pertama aplikasi ditunjukkan pada Gambar 79.



Gambar 79. Tampilan Proses *Cropping* dan *Canny*

4. Berdasarkan tampilan *form* diatas terdapat dua buah tombol untuk melihat ke form sebelumnya dan ke form selanjutnya. Pada *form* ke-3 atau terakhir ini dilakukan proses ROI untuk memfokuskan area hanya bagian atas pengendara sepeda motor yang diamati, dimana hasil dari proses ini akan dijadikan masukan pada proses selanjutnya yaitu *Hough Circle Transform* (HCT) untuk mendeteksi penggunaan helm. Pada panel pertama ditampilkan objek pengendara sepeda motor yang terdeteksi menggunakan helm dan ditandai dengan titik center lingkaran berwarna hijau dan lingkaran berwarna merah. Dengan terdeteksinya pengendara sepeda motor yang menggunakan helm, maka dapat diketahui mana saja pengendara yang tidak menggunakan helm dan akan menampilkannya pada panel kedua yang kemudian akan muncul peringatan karena terdapat pengendara sepeda

motor yang tidak mengenakan helm. Berikut ini merupakan tampilan dari proses pada form ke-3 aplikasi ditunjukkan pada Gambar 80.



Gambar 80. Tampilan Proses Deteksi Penggunaan Helm

4.3.2. Pengujian Alpha Frame Divider

Proses pengujian alpha untuk fungsionalitas Frame Divider akan dijelaskan pada Tabel 2.

Tabel 5. Pengujian Alpha Frame Divider

IDENTIFIKASI	
Nomor Uji	Uji-01
Nama Butir Uji	Frame Divider
Tujuan	Melakukan ekstraksi video menjadi frame-frame citra
Deskripsi	Sistem akan melakukan ekstrak video yang berupa masukan menjadi frame-frame

Kondisi Awal	Masukan berupa video dalam format .mp4		
PENGUJIAN			
Skenario Uji			
1. Sistem menampilkan tampilan gui halaman awal yang terdapat tombol openvideo 2. Sistem menampilkan tampilan dialog box yang berisi path untuk pemilih data yang akan diuji 3. Sistem melakukan proses frame divider 4. Sistem menyimpan frame-frame citra ke path dan menampilkannya pada panel			
Kriteria Evaluasi Uji			
Sistem melakukan proses Frame Divider dan menampilkan pada panel			
Kasus dan Hasil Uji			
Masukan	Harapan	Pengamatan	Kesimpulan
Video	1. Sistem mengambil video dari path 2. Sietem melakukan ekstraksi video menjadi frame 3. Sistem menampilkan seluruh frame hasil ekstraksi pada panel	1. Sistem mengambil videodari path 2. Sistem melakukan ekstraksi video menjadi frame 3. Sistem menampilkan seluruh frame hasil ekstraksi pada panel	[X] Berhasil
Source Code			

```

// TODO add your handling code here:
int returnValue = openFileDialog.ShowDialog(this);

if (returnValue == JFileChooser.APPROVE_OPTION) {
    try {
        originalBI = ImageIO.read(openFileChooser.getSelectedFile());
        lb_namafile.setText(openFileChooser.getSelectedFile().getName());
        lbl_load.setText("Image file successfully loaded");
        FrameDevider fd = new FrameDevider();
        fd.setPath(openFileChooser.getSelectedFile().getPath());
        fd.setMain(this);
        fd.start();
    } catch (IOException ioe) {
        lbl_load.setText("Failed to load file");
    }
}
else {
    lbl_load.setText("No file choosen");
}

```

Output



4.3.3. Pengujian Alpha Haar Cascade

Proses pengujian alpha untuk fungsionalitas Haar Cascade akan dijelaskan pada Tabel 3.

Tabel 6. Pengujian Alpha Haar Cascade

IDENTIFIKASI	
Nomor Uji	Uji-02
Nama Butir Uji	Haar Cascade
Tujuan	Melakukan proses Haar Cascade pada frame
Deskripsi	Sistem melakukan proses deteksi objek pengendara sepeda motor pada citra
Kondisi Awal	Masukan berupa citra <i>grayscale</i> pengendara sepeda motor di jalan
PENGUJIAN	
Skenario Uji	
1. Sistem membaca path tempat frame-frame citra disimpan	

<p>2. Sistem melakukan konversi citra RGB menjadi citra <i>grayscale</i></p> <p>3. Sistem melakukan proses Haar Cascade</p> <p>4. Sistem menggambar rectangle pada objek pengendara sepeda motor yang terdeteksi</p> <p>5. Sistem menyimpan citra hasil deteksi objek pengendara sepeda motor ke path dan menampilkannya pada panel</p>			
Kriteria Evaluasi Uji			
Sistem melakukan proses Haar Cascade dan menampilkan citra hasil pada panel			
Kasus dan Hasil Uji			
Masukan	Harapan	Pengamatan	Kesimpulan
Citra <i>grayscale</i> pengendara sepeda motor	<p>1. Sistem melakukan proses Haar Cascade</p> <p>2. Sistem menampilkan citra hasil deteksi pada panel</p>	<p>1. Sistem melakukan proses Haar Cascade</p> <p>2. Sistem menampilkan citra hasil deteksi pada panel</p>	[X] Berhasil
Source Code			
<pre> if(x == 50) { Mat frame = new Mat(); if (capture.read(frame)){ System.out.println("get frame"); } else { System.out.println("get frame done"); Capture = false; HaarCascade hc = new HaarCascade(); if (!hc.isAlive()){ hc.setMain(main); hc.setPath("hasil/"); hc.setWritePath("OutputHaarCascade/"); hc.setJumFile(y-1); hc.start(); } } Imgcodecs.imwrite("hasil/DetectedObject"+y+".jpg", frame); ImageIcon image = new ImageIcon("hasil/DetectedObject"+y+".jpg"); Image imagel = image.getImage(); Image newImage = imagel.getScaledInstance(180, 137, java.awt.Image.SCALE_SMOOTH); image = new ImageIcon(newImage); main.updateUI(image, position); } </pre>			
Output			



4.3.4. Pengujian Alpha Cropping

Proses pengujian alpha untuk fungsionalitas cropping akan dijelaskan pada Tabel 4.

Tabel 7. Pengujian Alpha Cropping

IDENTIFIKASI			
Nomor Uji	Uji-03		
Nama Butir Uji	Cropping		
Tujuan	Melakukan proses Cropping pada citra hasil deteksi objek		
Deskripsi	Sistem melakukan proses pemotongan citra hasil deteksi objek pengendara sepeda motor		
Kondisi Awal	Masukan berupa citra hasil deteksi objek pengendara sepeda motor		
PENGUJIAN			
Skenario Uji			
1. Sistem membaca path tempat citra hasil Haar Cascade disimpan 2. Sistem melakukan proses Cropping pada citra 3. Sistem menyimpan citra Cropping ke path dan menampilkannya pada panel			
Kriteria Evaluasi Uji			
Sistem melakukan proses Cropping dan menampilkan citra hasil pada panel			
Kasus dan Hasil Uji			
Masukan	Harapan	Pengamatan	Kesimpulan
Citra hasil deteksi objek pengendara sepeda motor	1. Sistem melakukan proses Cropping 2. Sistem menampilkan citra hasil pemotongan pada panel	1. Sistem melakukan proses Cropping 2. Sistem menampilkan citra hasil pemotongan pada panel	[X] Berhasil
Source Code			



4.3.5. Pengujian *Alpha Canny Edge Detection*

Proses pengujian alpha untuk fungsionalitas Canny Edge Detection akan dijelaskan pada Tabel 6.

Tabel 8. Pengujian Alpha Canny Edge Detection

IDENTIFIKASI	
Nomor Uji	Uji-05
Nama Butir Uji	Canny Edge Detection
Tujuan	Melakukan proses Canny Edge Detection yang dilakukan beberapa tahap
Deskripsi	Sistem melakukan proses Canny Edge Detection diawali dengan proses Gaussian Blur dan Thresholding
Kondisi Awal	Masukan berupa citra objek pengendara sepeda motor
PENGUJIAN	
Skenario Uji	

<ol style="list-style-type: none"> 1. Sistem membaca path tempat citra objek bagian atas pengendara sepeda motor disimpan 2. Sistem melakukan proses Gaussian Blur 3. Sistem melakukan proses Thresholding 4. Sistem menyimpan citra hasil deteksi tepi ke path dan menampilkannya padapanel 			
Kriteria Evaluasi Uji			
Sistem dapat melakukan proses Canny Edge Detection dan menampilkan citra hasil pada panel			
Kasus dan Hasil Uji			
Masukan	Harapan	Pengamatan	Kesimpulan
Citra objek pengendara sepeda motor	<ol style="list-style-type: none"> 1. Sistem dapat melakukan proses Canny Edge Detection 2. Sistem dapat menampilkan citra hasil pada panel 	<ol style="list-style-type: none"> 1. Sistem dapat melakukan proses Canny Edge Detection 2. Sistem dapat menampilkan citra hasil pada panel 	[X] Berhasil
Source Code			
<pre>Mat edges = new Mat(); int lowThreshold = 40; int ratio = 2; Imgproc.Canny(gray, edges, lowThreshold, lowThreshold * ratio); Imgcodecs.imwrite("OutputDeteksiTepi/DetekTepi"+urutan+".jpg", edges);</pre>			
Output			

4.3.6. Pengujian Alpha Hough Circle Transform

Proses pengujian alpha untuk fungsionalitas Hough Circle Transform akan dijelaskan pada Tabel 7.

Tabel 9. Pengujian Alpha Hough Circle Transform

IDENTIFIKASI			
Nomor Uji	Uji-06		
Nama Butir Uji	Hough Circle Transform		
Tujuan	Melakukan proses Hough Circle Transform pada citra		
Deskripsi	Melakukan proses deteksi lingkaran yang berupa bentuk dari helm		
Kondisi Awal	Masukan berupa citra hasil dari <i>Region of Interest (ROI)</i> yaitu tepi citra objek bagian atas pengendara sepeda motor pengendara sepeda motor		
PENGUJIAN			
Skenario Uji			
<ol style="list-style-type: none"> 1. Sistem membaca path tempat citra hasil deteksi tepi disimpan 2. Sistem melakukan proses Hough Circle Transform 3. Sistem menggambar titik center dan lingkaran pada objek yang terdeteksi 4. Sistem menyimpan citra hasil objek hasil deteksi ke path dan menampilkannya pada panel 			
Kriteria Evaluasi Uji			
Sistem dapat melakukan proses Hough Transform dan menampilkan citra hasil deteksi pada panel			
Kasus dan Hasil Uji			
Masukan	Harapan	Pengamatan	Kesimpulan
Tepi citra objek bagian atas pengendara sepeda motor pengendara sepeda motor	<ol style="list-style-type: none"> 1. Sistem dapat melakukan proses Hough Circle Transform 2. Sistem dapat menampilkan citra hasil deteksi pada panel 	<ol style="list-style-type: none"> 1. Sistem dapat melakukan proses Hough Circle Transform 2. Sistem dapat menampilkan citra hasil deteksi pada panel 	[X] Berhasil
Source Code			

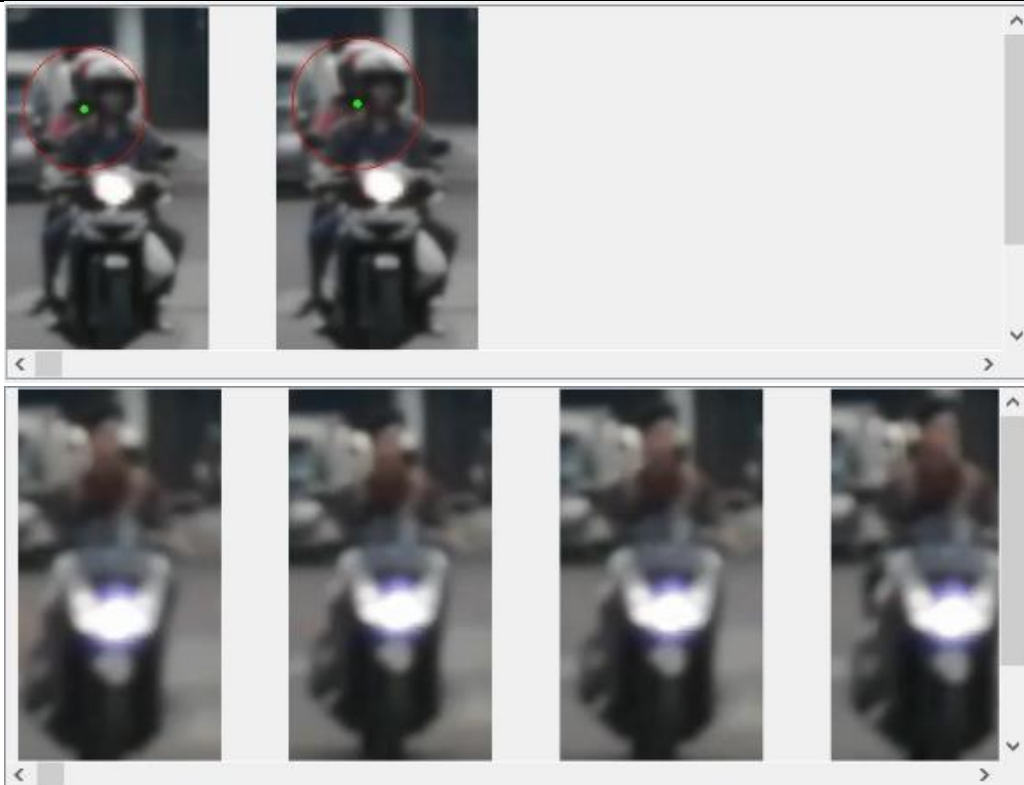
```

for( int i = 0; i < circles.rows(); i++ )
{
    double[] data = circles.get(i, 0);
    for(int j = 0 ; j < data.length ; j++){
        x = data[0];
        y = data[1];
        r = (int) data[2];
    }
    Point center = new Point(x,y);
    // circle center
    Imgproc.circle( img, center, 3, new Scalar(0,255,0), -1);
    // circle outline
    Imgproc.circle( img, center, r, new Scalar(0,0,255), 1);

    Imgcodecs.imwrite("OutputCircle/WearHelmet"+urutan+".jpg", img);
    ImageIcon imgHough = new ImageIcon("OutputCircle/WearHelmet"+urutan+".jpg");
    //ImageIcon imgCrop2 = new ImageIcon("OutputUpperObject/ObjekUpper"+y+".jpg");
    Image iCrop3 = imgHough.getImage();
    Image newICrop3 = iCrop3.getScaledInstance(180, 137, java.awt.Image.SCALE_SMOOTH);
    imgHough= new ImageIcon(newICrop3);
}

```

Output



PERINGATAN , MOTOR TANPA HELM TERDETEKSI !!!

4.4. Pengujian Akurasi Sistem

Pengujian yang dilakukan adalah dengan menghitung performansi aplikasi berdasarkan beberapa parameter dan tingkat akurasi sistem yang dirancang. Pada bagian ini akan dijelaskan tentang skenario pengujian yang dilakukan. Uji coba dilakukan untuk mengenali penggunaan helm melalui input video. Akurasi dari setiap pengujian yang dilakukan pada sistem identifikasi penggunaan helm pada pengendara sepeda motor ini dihitung menggunakan persamaan sebagai berikut :

$$Akurasi = \frac{Total\ Benar}{Total\ Uji} \times 100\% \dots\dots\dots(7)$$

Keterangan :

Total Benar : Total dari data yang benar Total

Uji : Total dari gambar yang diujikan

4.4.1. Skenario Pengujian 1

Pada skenario ini dilakukan pengujian untuk mengetahui tingkat akurasi dari sistem berdasarkan pengaruh waktu pengambilan data pengujian dilakukan yaitu pada waktu pagi, siang dan sore, serta diberikan dua kondisi pada helm yaitu untuk helm *full helmet* dan *half helmet* yang keduanya merupakan helm ber SNI (Sandar Nasional Indonesia). Pengujian yang dilakukan untuk mengetahui pada waktu kapan pengujian sistem ini dapat maksimal menemukan objek helm pada pengendara sepeda motor.

Tabel 10. Pengujian Akurasi Pengaruh Waktu

Kondisi	Pengujian	Hasil yang Diharapkan	Waktu		
			Pagi	Siang	Sore
Full Helmet	1	√	√	X	√
	2	√	√	√	X
	3	√	√	√	X
	4	√	X	X	X
	5	√	√	√	√
Akurasi			$\frac{4}{5} \times 100\%$ = 80%	$\frac{3}{5} \times 100\%$ = 60%	$\frac{2}{5} \times 100\%$ = 40%

Half Helmet	1	√	√	X	√
	2	√	X	√	X
	3	√	√	√	√
	4	√	√	√	√
	5	√	√	X	X
Akurasi			$\frac{4}{5} \times 100\% = 80\%$	$\frac{3}{5} \times 100\% = 60\%$	$\frac{3}{5} \times 100\% = 60\%$

Keterangan :

√ = Terdeteksi

X = Tidak terdeteksi

Berdasarkan data hasil pengujian yang ditunjukkan pada tabel, dapat diketahuinilai keberhasilan dari terdeteksinya helm SNI dengan bentuk *full helmet* pada kondisi pagi, siang dan sore adalah 80%, 60% dan 40%. Apabila dilihat dari presentase keberhasilan tidak terdeteksinya helm SNI bentuk *full helmet*, maka didapatkan presentase kegagalannya masing-masing sebesar 20%, 40% dan 60%. Hal ini dapat disebabkan oleh setiap kondisi waktu memiliki pencahayaan yang berbeda dan hal tersebut mempengaruhi kelima data yang akan diuji.

Sedangkan nilai keberhasilan dari terdeteksinya helm SNI dengan bentuk *half helmet* pada kondisi pagi, siang dan sore adalah 80%, 60% dan 60%. Apabila dilihat dari presentase keberhasilan tidak terdeteksinya helm SNI bentuk *full helmet*, maka didapatkan presentase kegagalannya masing-masing sebesar 20%, 40% dan 40%. Sama halnya seperti penjelasan sebelumnya, hal ini dapat disebabkan oleh setiap kondisi waktu memiliki pencahayaan yang berbeda dan hal tersebut mempengaruhi kelima data yang akan diuji.

Jadi, dapat diambil kesimpulan bahwa persentase keseluruhan pengujian untuk kondisi pagi hari adalah $\frac{4}{5} \times 100\% = 80\%$.

Jadi, dapat diambil kesimpulan bahwa persentase keseluruhan pengujian untuk kondisi siang hari adalah $\frac{3}{5} \times 100\% = 60\%$.

Jadi, dapat diambil kesimpulan bahwa persentase keseluruhan pengujian untuk kondisi malam hari adalah $\frac{1}{5} \times 100\% = 20\%$.

4.4.2. Skenario Pengujian 2

Pada skenario ini dilakukan pengujian untuk mengetahui tingkat akurasi dari sistem berdasarkan pengaruh sudut pengambilan data pengujian dilakukan yaitu pada sudut 0°, 45° dan 90°, serta diberikan dua kondisi pada pengendarasepeda motor yaitu untuk tunggal dan berboncengan. Pengujian yang dilakukan untuk mengetahui pada sudut berapa pengujian sistem ini dapat maksimal menemukan objek helm pada pengendara sepeda motor.

Tabel 11. Pengujian Akurasi Pengaruh Sudut

Kondisi	Pengujian	Hasil yang Diharapkan	Sudut		
			0°	45°	90°
Tunggal	1	√	√	X	X
	2	√	X	√	X
	3	√	√	X	X
	4	√	√	√	X
	5	√	–	X	–
Akurasi			$\frac{4}{5} \times 100\%$ = 80%	$\frac{2}{5} \times 100\%$ = 40%	$\frac{0}{5} \times 100\%$ = 0%
Berboncengan	1	√	X	X	X
	2	√	√	X	X
	3	√	√	√	X
	4	√	X	X	X
	5	√	√	X	X
Akurasi			$\frac{3}{5} \times 100\%$ = 60%	$\frac{1}{5} \times 100\%$ = 20%	$\frac{0}{5} \times 100\%$ = 0%

Keterangan :

√ = Terdeteksi

X = Tidak terdeteksi

Berdasarkan data hasil pengujian yang ditunjukkan pada tabel, dapat diketahuinilai keberhasilan dari terdeteksinya helm pada pengendara sepeda motor yang tunggal berdasarkan sudut pengambilan data adalah 80%, 40% dan 0%. Apabila dilihat dari presentase keberhasilan tidak terdeteksinya helm SNI bentuk *full helmet*, maka didapatkan presentase kegagalannya masing-masing sebesar 20%, 60% dan 100%. Hal ini dapat disebabkan pada tahap deteksi pengendara sepeda motor dengan *Haar Cascade*. Objek pengendara sepeda motor tidak dapat dikenali

maka sistem tidak dapat melanjutkan tahap deteksi helm pada pengendara sepeda motor. Hal ini pun dapat disebabkan karena kurangnya data latih yang dibuat untuk tahap *Haar Cascade* terutama pada sudut 90° atau pengambilan data dari samping objek. Selain itu, dapat juga dikarenakan pada sudut tertentu akan mempengaruhi pendeteksian helm itu sendiri karena bentuk helm yang tidak memiliki bentuk lingkaran yang diinginkan jadi sistem tidak dapat mendeteksinya sebagai objek helm.

Sedngkan nilai keberhasilan dari terdeteksinya helm pada pengendara sepeda motor yang berboncengan berdasarkan sudut pengambilan data adalah 60%,20% dan 0%. Apabila dilihat dari presentase keberhasilan tidak terdeteksinya helm SNI bentuk *full helmet*, maka didapatkan presentase kegagalannya masing-masing sebesar 40%, 80% dan 100%. Sama halnya seperti penjelasan sebelumnya dapat disebabkan pada tahap deteksi pengendara sepeda motor dengan *Haar Cascade*. Objek pengendara sepeda motor tidak dapat dikenali maka sistem tidak dapat melanjutkan tahap deteksi helm pada pengendara sepeda motor. Hal ini pun dapat disebabkan karena kurangnya data latih yang dibuat untuk tahap *Haar Cascade* terutama pada sudut 90° atau pengambilan data dari samping objek. Selain itu, dapat jugadikarenakan pada sudut tertentu akan mempengaruhi pendeteksian helm itu sendiri karenabentuk helm yang tidak memiliki bentuk lingkaran yang diinginkan jadi sistem tidak dapatmendeteksinya sebagai objek helm

Jadi, dapat diambil kesimpulan bahwa persentase keseluruhan pengujian untuksudut 0° adalah $\frac{7}{10} \times 100\% = 70\%$. —

Jadi, dapat diambil kesimpulan bahwa persentase keseluruhan pengujian untuksudut 45° adalah $\frac{3}{10} \times 100\% = 30\%$. —

Jadi, dapat diambil kesimpulan bahwa persentase keseluruhan pengujian untuksudut 90° adalah $\frac{0}{10} \times 100\% = 0\%$. —

4.4.3. Skenario Pengujian 3

Pada skenario ini dilakukan pengujian untuk mengetahui tingkat akurasi dari sistem dengan kondisi yang diberikan yaitu helm yang bukan SNI dan objek bukan helm. Pengujian yang dilakukan untuk mengetahui apa dengan diberikannya

kondisi tersebut sistem ini dapat maksimal menemukan objek helm bukan SNI atau objek bukan helm pada pengendara sepeda motor.

Tabel 12. Pengujian Akurasi Bukan Helm SNI dan Kepala

Kondisi	Pengujian	Hasil yang Diharapkan	Hasil	Akurasi
Helm Bukan SNI	1	X	X	$\frac{3}{5} \times 100\% = 60\%$
	2	X	X	
	3	X	√	
	4	X	√	
	5	X	X	
Kepala	1	X	X	$\frac{4}{5} \times 80\% = 80\%$
	2	X	X	
	3	X	√	
	4	X	X	
	5	X	X	

Keterangan :

√ = Terdeteksi

X = Tidak terdeteksi

Berdasarkan data hasil pengujian yang ditunjukkan pada tabel, dapat diketahui nilai keberhasilan dari tidak terdeteksinya helm yang bukan SNI adalah 60%. Apabila dilihat dari presentase keberhasilan tidak terdeteksinya helm bukan SNI sebesar 60%, maka didapatkan presentase kegagalannya sebesar 40%. Hal ini dapat disebabkan oleh dua dari lima citra helm data uji yang merupakan bukan helm SNI, memiliki dasar bentuk lingkaran.

Sedangkan data hasil pengujian yang ditunjukkan pada tabel, dapat diketahui nilai keberhasilan dari tidak terdeteksinya bukan helm atau kepala adalah sebagai berikut 100%. Apabila dilihat dari presentase keberhasilan tidak terdeteksinya helm (kepala) yaitu sebesar 100%, maka tidak didapatkan presentase kegagalannya. Hal ini dikarenakan kepala yang tidak berbentuk sebagai lingkaran atau tidak memiliki unsur bentuk lingkaran.

BAB V

PENUTUP

5.1 Kesimpulan

Berdasarkan hasil pengujian sistem identifikasi penggunaan helm pada pengendara sepeda motor, diperoleh kesimpulan sebagai berikut :

1. Berdasarkan penelitian dan pengujian yang telah dilakukan, dapat diambil kesimpulan bahwa pengujian alpha pada aplikasi dengan tahapan-tahapan yaitu *Frame Divider*, *Grayscalling*, *Haar Cascade Classifier*, *Cropping*, *Canny Edge Detection*, *Region of Interest* dan *Hough Circle Transform* berhasil diterapkan dan dijalankan oleh sistem.
2. Dari hasil pengujian akurasi pada kondisi waktu pagi hari, siang hari, sore hari didapatkan persentase keseluruhan tingkat nilai akurasi sebesar 80%, 60% dan 20% . Berdasarkan persentase tersebut, aplikasi lebih optimal mendeteksi pada waktu pagi hari.
3. Dari hasil pengujian akurasi sistem pada sudut sudut 0°, sudut 45° dan sudut sudut 90° didapatkan persentase keseluruhan tingkat nilai akurasi sebesar 70%, 30% dan 0% . Berdasarkan persentase tersebut, aplikasi lebih optimal mendeteksi pada sudut 0° atau dari depan.
4. Dari hasil pengujian akurasi sistem untuk mendeteksi bukan helm SNI mendapatkan persentase sebesar 80% dan bukan helm (kepala)

DAFTAR PUSTAKA

Andrew, Buliali, J. L., & Wijaya, A. Y. (2017). Deteksi Kecepatan Kendaraan Berjalan di Jalan Menggunakan OpenCV . *Jurnal Teknik ITS*.

Auliannisa, R. D., Suratman S.T., M. F., & Rizal ST., M. (2017). Deteksi Katarak Menggunakan Metode Transformasi Hough Berbasis Android . *e- Proceeding of Engineering*, 3310.

Christina, M. (2017, November 3). *Tak Pakai Helm, Pelajar di Merangin Dihukum Baca Pancasila*. Retrieved from iNews.id: <https://www.inews.id/daerah/regional/1348/tak-pakai-helm-pelajar-di-merangin-dihukum-baca-pancasila>

Herlambang, A. S., Nurhayati, O. D., & Martono, K. T. (2016). Sistem Pendeteksi Kualitas Daging Dengan Ekualisasi Histogram Dan Thresholding Berbasis Android. *Jurnal Teknologi dan Sistem Komputer*.

Jandrisno, I. (2017). *Pemanfaatan Background Substraction Untuk Mendeteksi Kepadatan Lalu Lintas Berbasis Raspberry Pi*. Padang: Politeknik Negeri Padang.

Khotimah, C., & Juniati, D. (2017). Pengenalan Iris Mata Menggunakan Ekstraksi Fitur Dimensi Fraktal Box Counting. *MATHunesa*.

Lazaro, A., Buliali, J. L., & Amaliah, B. (2016). Deteksi Jenis Kendaraan di Jalan Menggunakan OpenCV. *JURNAL TEKNIK ITS Vol. 6 No. 2*, 2337-3520 .

Lestari, Q. A., Gerhana, Y. A., & Wahana, A. (2017). Implementasi Metode Circle Hough Transform pada Aplikasi Pendamping Belajar Huruf Braille. *ISSN*, 222-227 .

Li, K., & Zhao, X. (2017). Deteksi Penggunaan Helm Pengaman Berbasis Pengolahan Citra Dan Machine Learning. *IEEE*.

Mufrod. (2018, Mei 16). *5 Ribu Pengendara Motor Tewas Tak Gunakan Helm, Masih Mau Nekat?* Retrieved from Okezone.com: <https://news.okezone.com/read/2018/05/15/15/1898745/5-ribu-pengendara-motor-tewas-tak-gunakan-helm-masih-mau-nekat>

Mustafid, A., & 'Uyun, S. (2017). Segmentasi Citra Sapi Berbasis Deteksi Tepi Menggunakan Algoritma Canny Edge Detection. *Jurnal Buana Informatika*.

Naufal, M. A. (2017). *Implementasi Metode Klasifikasi K-Nearest Neighbour (K-NN) Untuk Pengenalan Pola Batik Motif Lampung*. Bandar Lampung: Universitas Lampung.

Palit, A. D. (2017). Mengenali Rambu Lalu Lintas Menggunakan Metode HOG dan KNN. *Jurnal Ilmiah Teknologi Informatika Terapan (JITTER)*.

Pammungkas, E. M., Sumbodo, B. A., & Candradewi, I. (2017). Sistem Pendeteksi dan Pelacakan Bola dengan Metode Hough Circle Transform, Blob Detection, dan Camshift Menggunakan AR.Drone . *IJEIS*, 1-12.

Pathasu, D., & Klubsuwan, K. (2016). Deteksi Penggunaan Helm Setengah dan Penuh di Thailand Menggunakan Haar Like Feature dan Circle Hough Transform pada Pengolahan Citra. *IEEE International Conference on Computer and Information Technology*.

Samir, M. I., Zuraiyah, M.Kom, T. A., & Aryani, M.Cs, A. S. (2017). Penerapan Algoritma Background Substraction Untuk Tracking dan Klasifikasi Kendaraan .

Sangeetha, D., & Deepa, P. (2016). Implementasi FPGA dari Algoritma Robust Canny Edge Detection yang Hemat Biaya. *Springer*.

Sarikan, S. S., Ozbayoglu, A. M., & Zilci, O. (2017). Otomatisasi Klasifikasi Kendaraan Dengan Pengolahan Citra Dan Computational Intelligent. *Procedia Computer Science*, 515-522.

Septadina, I. S. (2015). Identifikasi Individu dan Jenis Kelamin Berdasarkan Pola Sidik Bibir.

Setiawan, P. R., Setyawan, F. A., Alam, S., & Sulistiyanti, S. R. (2018). Rancang Bangun Model Deteksi Pelanggaran Zebra Cross Pada Traffic Light Menggunakan Metode Adaptive Background Substraction.

Silva , R. R., Aires, K. R., & Veras, R. d. (2017). Deteksi Helm pada Pengendara Sepeda Motor. *Spinger*.

Undang-Undang Lalu Lintas Angkutan Jalan Tahun 2009, No. 22 Pasal 106 Ayat 8.